



OFICINA ESPAÑOLA DE PATENTES Y MARCAS

ESPAÑA



(1) Número de publicación: 2 663 069

51 Int. Cl.:

C12Q 1/68 (2008.01)

(12)

TRADUCCIÓN DE PATENTE EUROPEA

T3

(86) Fecha de presentación y número de la solicitud internacional: 09.05.2012 PCT/EP2012/058502

(87) Fecha y número de publicación internacional: 15.11.2012 WO12152811

(96) Fecha de presentación y número de la solicitud europea: 09.05.2012 E 12720167 (1)

(97) Fecha y número de publicación de la concesión europea: 28.02.2018 EP 2707501

(54) Título: Marcadores moleculares en cáncer de próstata

(30) Prioridad:

12.05.2011 WO PCT/EP2011/057716

Fecha de publicación y mención en BOPI de la traducción de la patente: 11.04.2018

(73) Titular/es:

MDXHEALTH RESEARCH B.V. (100.0%) Transistorweg 5 Mailbox 5E 6534 AT Nijmegen, NL

(72) Inventor/es:

SMIT, FRANCISCUS PETRUS

(74) Agente/Representante:

ELZABURU, S.L.P

DESCRIPCIÓN

Marcadores moleculares en cáncer de próstata

La presente invención se refiere a métodos para el diagnóstico de cáncer de próstata (PrCa).

En la población masculina occidental, el cáncer de próstata se ha convertido en un problema importante de salud pública. En muchos países desarrollados no es sólo el cáncer más frecuentemente diagnosticado sino que también es la segunda causa principal de muertes relacionadas con el cáncer en varones. Debido a que la incidencia del cáncer de próstata aumenta con la edad, el número de casos recién diagnosticados sigue aumentando a medida que aumenta la esperanza de vida de la población general. En los Estados Unidos, aproximadamente 218.000 hombres y en Europa aproximadamente 382.000 hombres son recién diagnosticados con cáncer de próstata cada año.

Estudios epidemiológicos demuestran que el cáncer de próstata es una enfermedad indolora y que mueren más hombres con cáncer de próstata que de él. Sin embargo, una fracción significativa de los tumores se comporta agresivamente y como resultado aproximadamente 32.000 hombres americanos y aproximadamente 89.000 hombres europeos mueren por esta enfermedad anualmente.

- La alta tasa de mortalidad es consecuencia del hecho de que no existen opciones terapéuticas curativas para el cáncer de próstata metastásico. La ablación de andrógenos es el tratamiento de elección en hombres con metástasis. Inicialmente, el 70 a 80% de los pacientes con enfermedad avanzada muestran respuesta al tratamiento, pero con el tiempo la mayoría de los tumores se vuelven independientes de los andrógenos. Como resultado la mayoría de los pacientes desarrollará enfermedad progresiva.
- Dado que no existen opciones terapéuticas eficaces para el cáncer de próstata avanzado, la detección precoz de este tumor es fundamental y puede aumentar la tasa de éxito curativo. Aunque el uso rutinario de pruebas del antígeno prostático específico (PSA) de suero sin duda ha aumentado la detección de cáncer de próstata, uno de sus principales inconvenientes ha sido la falta de especificidad. El PSA del suero es un marcador excelente para enfermedades de la próstata e incluso modestas elevaciones reflejan casi siempre una enfermedad o perturbación de la próstata como la hiperplasia prostática benigna (BPH) y la prostatitis. Desde la aparición de frecuentes pruebas de PSA hace más de 20 años, la especificidad del PSA para el cáncer ha disminuido debido a la selección de un gran número de hombres que tienen elevados de PSA debido a mecanismos no cancerosos. Esto da lugar a una tasa de biopsia muy negativa.
- Por lo tanto, se necesitan urgentemente pruebas moleculares (no invasivas), que pueden identificar con precisión aquellos hombres que están en la fase inicial, el cáncer de próstata clínicamente localizado y que se beneficiarían de una supervivencia prolongada y de calidad de vida desde la intervención radical temprana. Los biomarcadores moleculares identificados en los tejidos pueden servir como blanco para nuevas pruebas moleculares basado en fluidos corporales.
- Un biomarcador adecuado preferentemente cumple los siguientes criterios: 1) debe ser reproducible (intra- e inter- institucional) y 2) debe tener un impacto en la gestión clínica.

Además, con fines de diagnóstico, es importante que los biomarcadores se prueban en cuanto a la especificidad en los tejidos y la posible discriminación entre el cáncer de próstata, próstata normal y HPB. Además, cabe esperar que ensayos de biomarcadores (múltiples) mejoren la especificidad para la detección del cáncer.

Teniendo en cuenta lo anterior, hay una necesidad urgente de biomarcadores moleculares de pronósticos para predecir el comportamiento biológico del cáncer y resultados.

Para la identificación de nuevos marcadores experimentales para el cáncer de próstata, es necesario estudiar patrones de expresión en tejidos de próstata malignos como no malignos, preferiblemente en relación con otros datos médicos.

- Desarrollos recientes en el campo de las técnicas moleculares han proporcionado nuevas herramientas que permitieron la evaluación tanto de alteraciones genómicas como de alteraciones proteómicas en estas muestras de una manera integral y rápida. Estas herramientas han llevado al descubrimiento de muchos nuevos biomarcadores prometedores para el cáncer de próstata. Estos biomarcadores pueden ser instrumentales en el desarrollo de nuevas pruebas que tienen una alta especificidad en el diagnóstico y pronóstico del cáncer de próstata.
- Por ejemplo, la identificación de diferentes anomalías cromosómicas como cambios en el número de cromosomas, translocaciones, supresiones, reconfiguraciones y duplicaciones en las células puede estudiarse usando análisis de hibridación fluorescente *in situ* (FISH). La hibridación genómica comparativa (CGH) es capaz de identificar todo el genoma para grandes cambios en el número de copias de la secuencia de ADN o supresiones más de 10 millones de pares de bases. Análisis de expresión diferencial, análisis en serie de expresión génica (SAGE), chips de oligonucleótidos y chips de ADNc caracterizan perfiles de expresión génica. Estas técnicas se utilizan a menudo combinado con chips de tejido (TMA) para la identificación de genes que desempeñan una función importante en

procesos biológicos específicos.

5

10

25

30

35

50

55

Dado que las alteraciones genéticas a menudo conducen a proteínas mutadas o alteradas, las vías de señalización de una célula pueden ser afectadas. Eventualmente, esto puede llevar a una ventaja del crecimiento o la supervivencia de una célula de cáncer. La proteómica estudia la identificación de proteínas alteradas en cuanto a estructura, cantidad y modificaciones tras la traducción. Proteínas relacionadas con la enfermedad pueden secuenciarse directamente e identificarse en secciones de tejido completo intacto usando desorción-ionización mediante láser asistida por matriz acoplada a un espectrómetro de masas en tiempo de vuelo (MALDI-TOF). Además, Desorción-ionización mediante láser asistida por matriz acoplada a un espectrómetro de masas (MS) en tiempo de vuelo (SELDI)-TOF puede proporcionar un perfil rápido de expresión proteica de células de tejidos y fluidos corporales como el suero o la orina.

En los últimos años, estas herramientas moleculares han llevado a la identificación de cientos de genes que se cree que son relevantes en el desarrollo de cáncer de próstata. No sólo estos resultados han llevado a una percepción en la iniciación y evolución del cáncer de próstata, sino que también han demostrado que el cáncer de próstata es una enfermedad heterogénea.

Algunos tumores de próstata pueden ocurrir en la próstata de un solo paciente debido a la naturaleza multifocal de la enfermedad. Cada uno de estos tumores puede mostrar diferencias notables en la expresión génica y el comportamiento que se asocian con diferentes pronósticos. Por lo tanto, para predecir el resultado de la enfermedad es más probable que un conjunto de diferentes marcadores sea clínicamente importante.

Los biomarcadores pueden clasificarse en cuatro casos específicos de cáncer de próstata diferentes: alteraciones genómicas, procesos biológicos específicos de cáncer de próstata, modificaciones epigenéticas y genes expresados únicamente en cáncer de próstata.

Uno de los factores de riesgo epidemiológico más fuertes para el cáncer de próstata es una historia familiar positiva. Un estudio de 44.788 pares de gemelos en Dinamarca, Suecia y Finlandia ha demostrado que el 42% de los casos de cáncer de próstata fueron atribuibles a la herencia. Consecuentemente se ha observado mayor riesgo de la enfermedad en hermanos de pacientes afectados en comparación con los hijos de los mismos pacientes. Esto ha llevado a la hipótesis de que hay un componente genético ligado a X o recesivo en el riesgo de cáncer de próstata.

Exploraciones en el genoma completo en familias afectadas implicadas al menos en siete locus con sensibilidad al cáncer de próstata, HPC1 (1q24), CAPB (1 p 36), PCAP (1q42), ELAC2 (17p11), HPC20 (20q13), 8 p22-23 y HPCX (Xq27-28). Recientemente, se han asignado a estos locus tres genes experimentales de cáncer de próstata hereditario, ribonucleasa L dependiente de HPC1/2'-5'-oligoadenilato (RNASEL) en el cromosoma 1q24-25, gen del fagocitador 1de macrófagos (MSR1) situado en el cromosoma 8p22-23 y HPC2/ELAC2 en el cromosoma 17p11.

Se ha estimado que genes con sensibilidad al cáncer de próstata probablemente representan sólo el 10% de los casos de cáncer de próstata hereditario. Los cánceres de próstata familiares son los más probablemente relacionados con los factores ambientales compartidos o con variantes genéticas o polimorfismos más comunes. Dado que dichas variantes pueden ocurrir con mucha frecuencia en la población afectada, su impacto sobre el riesgo de cáncer de próstata puede ser sustancial.

Recientemente, se han estudiado polimorfismos en los genes que codifican el receptor del andrógeno (AR), 5α-reductasa tipo II (SRD5A2), CYP17, CYP3A, receptor de vitamina D (VDR), PSA, GST-T1, GST-M1, GST-P1, factor de crecimiento insulínico (IGF-I) y proteína de unión a IGF 3 (IGFBP3).

Estos estudios fueron realizados para comprobar si estos genes pueden predecir la presencia de cáncer de próstata en los pacientes indicados para las biopsias de próstata debido a concentraciones de PSA > 3 ng/ml. No se encontraron asociaciones entre genotipos de AR, SRD5A2, CYP17, CYP3A4, VDR, GST-M1, GST-P1 e IGFBP3 y riesgo de cáncer de próstata. Sólo los polimorfismos GST-T1 y IGF-I se encontraron que estaban moderadamente relacionados con el riesgo de cáncer de próstata.

A diferencia del gen de poliposis adenomatosa coli (APC) en cáncer de colon familiar, ninguno de los genes y locus con sensibilidad al cáncer de próstata mencionados es por sí mismo responsable de la mayor parte de los cánceres de próstata.

Estudios epidemiológicos apoyan la idea de que más cánceres de próstata pueden ser atribuidos a factores como la raza, la forma de vida y la alimentación. El papel de las mutaciones génicas en conocidos oncogenes y genes supresores de tumores es probablemente muy pequeño en el cáncer primario de próstata. Por ejemplo, la frecuencia de las mutaciones de p53 en el cáncer de próstata primario está publicado que es baja, pero se han observado en casi el 50% de los cánceres de próstata avanzados.

La detección en hombres de la presencia de mutaciones o polimorfismos en el gen específico del cáncer es lenta y costosa. Por otra parte, es muy poco eficaz en la detección de cánceres primarios de próstata en la población masculina general. Por lo tanto, no puede aplicarse como una prueba para la detección el cáncer de próstata.

El ADN mitocondrial está presente en aproximadamente 1.000 a 10.000 copias por célula. Debido a estas cantidades, mutaciones de ADN mitocondrial se han utilizado como blanco para el análisis de ADN del plasma y suero de pacientes con cáncer de próstata. Recientemente, se detectaron mutaciones de ADN mitocondrial en tres de cada tres pacientes con cáncer de próstata tenían las mismas mutaciones de ADN mitocondrial en su tumor primario. Diferentes muestras de tumor urológico deben estudiarse y mayores grupos de pacientes son necesarios para definir la sensibilidad general del diagnóstico de este método.

Las alteraciones críticas en la expresión génica pueden conducir a la evolución del cáncer de próstata. Alteraciones de microsatélites, que son secuencias de ADN repetitivas polimórficas, aparecen a menudo como pérdida de heterocigosidad (PDH) o como inestabilidad de microsatélites. En el cáncer de próstata se conocen alteraciones definidas de microsatélites. Hasta ahora, la utilidad clínica es insignificante. Los chips del genoma completo y de SNP se consideran herramientas poderosas de descubrimiento.

10

15

20

30

35

40

45

50

55

Las alteraciones en el ADN, sin cambiar el orden de las bases en la secuencia, conducen a menudo a cambios en la expresión génica. Estas modificaciones epigenéticas incluyen cambios tales como metilación del ADN y la acetilación/desacetilación de histonas. Muchos activadores de genes contienen regiones ricas en GC también conocidas como islas de CpG. La metilación anormal de islas de CpG da como resultado la transcripción disminuida del gen en el ARNm.

Recientemente, se ha sugerido que el estado de metilación de ADN puede ser influenciado en primeros años de vida por exposiciones ambientales, tales como factores nutricionales o el estrés, y que esto lleva a un mayor riesgo de cáncer en adultos. Se han observado cambios en los patrones de metilación del ADN en muchos tumores humanos. Para la detección de la hipermetilación del activador se utiliza una técnica llamada PCR específica de metilación (MSP). En contraste con los análisis de microsatélites o PDH, esta técnica requiere una relación de tumor a normal de sólo 0,1-0,001%. Esto significa que utilizando esta técnica, pueden detectarse alelos hipermetilados en el ADN del tumor en presencia de 10⁴ -10⁵ cantidades en exceso de alelos normales.

Por lo tanto, la metilación del ADN puede servir como un marcador útil en la detección del cáncer. Recientemente, ha habido muchos informes sobre los genes hipermetilados en cáncer de próstata humano. Dos de estos genes son RASSF1A y GSTP1.

La hipermetilación de RASSF1A (isoforma A de la proteína de la familia con dominio de asociación ras) es un fenómeno común en el cáncer de mama, cáncer de riñón, cáncer de hígado, cáncer de pulmón y cáncer de próstata. El crecimiento de las células cancerosas humanas puede reducirse cuando se expresa nuevamente *RASSF1A*. Esto apoya el papel de *RASSF1A* como gen supresor del tumor. Inicialmente no se detectó hipermetilación de RASSF1A en el tejido prostático normal. Recientemente, la metilación del gen *RASSF1A* se observó en neoplasias intraepiteliales prostáticas pre-malignas y en epitelios prostáticos benignos. La hipermetilación de *RASSF1A* se ha observado en el 60-74% de los tumores de próstata y en el 18,5% de las muestras de HPB. Además, la frecuencia de metilación está claramente relacionada con la alta puntación de Gleason y la fase. Estos resultados sugieren que la hipermetilación de *RASSF1A* puede distinguir los tumores más agresivos de los indoloros.

La alteración epigenética más descrita en el cáncer de próstata es la hipermetilación del activador de la Glutatión Stransferasa P1 (GSTP1). GSTP1 pertenece al sistema de protección celular contra los efectos tóxicos y como tal esta enzima está implicada en la desintoxicación de muchos xenobióticos.

La hipermetilación de GSTP1 se ha descrito en aproximadamente el 6% de las lesiones de atrofia proliferativa inflamatoria (PIA) y en el 70% de las lesiones PIN. Se ha demostrado que algunas lesiones de PIA se combinan directamente con PIN y las lesiones de carcinoma precoz, aunque son necesarios estudios adicionales para confirmar estos resultados. Se ha detectado hipermetilación de GSTP1 en más del 90% de los tumores de próstata, mientras que no se ha observado hipermetilación en la HBP y los tejidos de próstata normales.

La hipermetilación del gen GSTP1 se ha detectado en el 50% de los eyaculados de pacientes de cáncer de próstata pero no en hombres con HBP. Debido al hecho de que los eyaculados no son siempre fácilmente obtenidos de pacientes de cáncer de próstata, la hipermetilación del GSTP1 se determinó en los sedimentos urinarios obtenidos de pacientes con cáncer de próstata después de masaje prostático. El cáncer podría detectarse en el 77% de estos sedimentos.

Por otra parte, la hipermetilación del GSTP1 se ha encontrado en los sedimentos urinarios después de masaje prostático en 68% de los pacientes con enfermedad precoz confinada, el 78% de los pacientes con enfermedad localmente avanzada, el 29% de los pacientes con PIN y 2% de los pacientes con HBP. Estos resultados dieron lugar a una sensibilidad del 73% y una especificidad del 98%. El valor predictivo negativo de esta prueba fue del 80%, lo que demuestra que este análisis tiene gran potencial para reducir el número de biopsias innecesarias.

Recientemente, se confirmaron estos resultados y se observó una mayor frecuencia de metilación de GSTP1 en la orina de hombres con enfermedad en fase 3 frente a en fase 2.

Debido a que la hipermetilación de GSTP1 tiene una gran especificidad para el cáncer de próstata, la presencia de hipermetilación de GSTP1 en sedimentos urinarios de pacientes con biopsias negativas (33%) y pacientes con

atipias o PIN de alto grado (67%) sugiere que estos los pacientes pueden tener cáncer de próstata oculto.

5

10

15

20

25

30

40

45

50

55

Recientemente, se probó un ensayo multiplexado que consta de 3 marcadores de metilación, *GSTP1*, *RARB*, *APC* y una referencia endógena en muestras de orina de pacientes con concentraciones séricas de PSA ≥2,5 µg/l. Se observó una buena correlación de *GSTP1* con el número de núcleos positivos a cáncer de próstata en la biopsia. Además, las muestras que contenían metilación para *GSTP1* o *RARB* se correlacionaron con volúmenes tumorales mayores. Los genes metilados tienen potencial para proporcionar una nueva generación de biomarcadores del cáncer.

Los estudios con microchips han sido muy útiles e informativos para identificar genes que están constantemente regulados por incremento o regulados por disminución en el cáncer de próstata en comparación con el tejido prostático benigno. Estos genes pueden proporcionar biomarcadores específicos para el cáncer de próstata y dar más información en la etiología de la enfermedad.

Para el diagnóstico molecular del cáncer de próstata, los genes que están muy regulados por incremento en el cáncer de próstata en comparación con la expresión baja o normal en el tejido prostático normal son de especial interés. Dichos genes podrían permitir la detección de una célula tumoral en un enorme fondo de células normales, y por lo tanto podrían aplicarse como marcadores de diagnóstico en la detección del cáncer de próstata.

El análisis diferencial de expresión génica se ha utilizado con éxito para identificar biomarcadores específicos de cáncer de próstata al comparar tejidos de próstata malignos con no malignos. Recientemente, se utilizó un nuevo método bioestadístico llamado análisis de perfil atípico del cáncer (COPA) para identificar genes que se expresan diferencialmente en un subconjunto de cánceres de próstata. COPA identificó potentes perfiles atípicos para el oncogén E26 del virus de la eritroblastosis v-ets (*ERG*) y gen 1 variante ets (*ETV1*) en el 57% de los casos de cáncer de próstata. Esto estaba en concordancia con los resultados de un estudio donde la sobreexpresión de *ERG* asociada al cáncer de próstata se encontró en el 72% de los casos de cáncer de próstata. En más del 90% de los casos que sobreexpresaron *ERG* o *ETV1* se encontró una fusión de la región 5' no traducida del gen de serina proteasa transmembrana específico de la próstata y regulado por andrógenos (*TMPRSS2*) con estos miembros de la familia ETS. Recientemente, se ha descrito otra fusión entre *TMPRSS2* y un miembro de la familia *ETS*, la fusión *TMPRSS2-ETV4*, aunque esta fusión se encuentra esporádicamente en cánceres de próstata.

Además, se encontró una fusión de *TMPRSS2* con *ETV5*. Se demostró que la sobreexpresión de *ETV5 in vitro* induce un programa de transcripción invasivo. Estas fusiones pueden explicar la aberrante sobreexpresión dependiente de andrógenos de los miembros de la familia ETS en subconjuntos de cáncer de próstata porque *TMPRSS2* está regulado por andrógenos. El descubrimiento de la fusión del gen *TMPRSS2-ERG* y el hecho de que *ERG* es el proto-oncogén sobreexpresado más frecuentemente descrito en las células epiteliales prostáticas malignas sugiere su papel en la tumorigénesis de próstata. Se han descrito fusiones de la región 5' no traducida del gen *TMPRSS2* con los factores de transcripción de ETS *ERG*, *ETV1* y *ETV4* en el cáncer de próstata.

Recientemente, se demostró que la detección no invasiva de transcritos de fusión TMPRSS2-ERG es factible en sedimentos urinarios obtenidos después del ERD usando un ensayo de investigación basado en RT-PCR. Debido a la alta especificidad de la prueba (93%), la combinación de transcritos de fusión TMPRSS2-ERG con el gen 3 del cáncer de próstata (*PCA3*) mejoró la sensibilidad del 62% (*PCA3* solo) al 73% (combinado) sin afectar la especificidad para detectar el cáncer de próstata.

Se ha encontrado que el gen que codifica la α-metilacil-CoA racemasa (AMACR) en el cromosoma 5p13 está constantemente regulado por incremento en el cáncer de próstata. Esta enzima desempeña una función crítica en la oxidación peroxisomal beta de moléculas de ácidos grasos con cadena ramificada obtenidas a partir de productos lácteos y carne de vacuno. Curiosamente, el consumo de lácteos y carne de vacuno se ha asociado a un mayor riesgo de cáncer de próstata.

En el tejido de cáncer de próstata clínico, se ha encontrado una sobreexpresión de 9 veces del AMACR ARNm en comparación con el tejido de próstata normal. Estudios inmunohistoquímicos (IHC) y análisis de transferencia Western han confirmado la regulación por incremento de AMACR en las proteínas. Además, se ha demostrado que el 88% de los casos de cáncer de próstata y tanto las metástasis no tratadas como los cánceres de próstata resistentes a hormonas fueron muy positivos a AMACR. La expresión de AMACR no se ha detectado en glándulas atróficas, hiperplasia de células basales y epitelio urotelial o metaplasia. Los estudios de IHC también demostraron que la expresión de AMACR en biopsias con aguja tenía una sensibilidad del 97% y una especificidad del 100% para la detección de cáncer de próstata.

Combinado con una tinción para p63, un marcador de células basales que no está en el cáncer de próstata, AMACR facilitó en gran medida la identificación de células de próstata malignas. Su alta expresión y la especificidad de las células cancerígenas implican que AMACR también puede ser un candidato para el desarrollo de sondas moleculares que pueden facilitar la identificación del cáncer de próstata utilizando modalidades de diagnóstico por la imagen no invasivas.

Se han hecho muchos esfuerzos para desarrollar un ensayo basado en fluidos corporales para AMACR. Un pequeño estudio indicó que un análisis de PCR en tiempo real cuantitativo basado en *AMACR* en muestras de orina

obtenidas después del masaje prostático tiene el potencial de excluir a los pacientes con enfermedad clínicamente insignificante cuando la expresión del *AMACR* ARNm se normaliza para el PSA. El análisis de transferencia Western en muestras de orina obtenidas después del masaje prostático tuvo una sensibilidad del 100%, una especificidad del 58%, un valor predictivo positivo (VPP) del 72% y un valor predictivo negativo (VPN) del 88% para el cáncer de próstata. Estos ensayos que usan *AMACR* ARNm para la detección de cáncer de próstata en muestras de orina son prometedores.

5

10

15

20

25

30

35

40

45

50

55

Usando análisis de chip de ADNc, se ha demostrado que la hepsina, una serina proteasa transmembrana de tipo II, es uno de los genes sobreexpresados de manera más diferenciada en el cáncer de próstata en comparación con el tejido de próstata normal y el tejido de BPH. Usando un análisis de PCR cuantitativo en tiempo real, se ha demostrado que la hepsina está sobreexpresada en el 90% de los tejidos de cáncer de próstata. En el 59% de los cánceres de próstata, esta sobreexpresión fue de 10 veces mayor.

También ha habido una correlación significativa entre la regulación por incremento de hepsina y el grado tumoral. Se necesitarán más estudios para determinar la especificidad hística de la hepsina y el valor diagnóstico de esta serina proteasa como nuevo marcador sérico. Dado que la hepsina está regulada por incremento en tumores avanzados y más agresivos, sugiere un papel como marcador de tejido pronóstico para determinar la agresividad de un tumor.

La telomerasa, una ribonucleoproteína, participa en la síntesis y reparación de los telómeros que cubren y protegen los extremos de los cromosomas eucarióticos. Los telómeros humanos consisten en repeticiones en tándem de la secuencia TTAGGG así como varias proteínas de unión diferentes. Durante la división celular, los telómeros no se pueden replicar por completo y serán más cortos. La telomerasa puede alargar los telómeros y así evitar el acortamiento de estas estructuras. La división celular en ausencia de actividad de telomerasa conducirá al acortamiento de los telómeros. Como resultado, la vida útil de las células se vuelve limitada y esto conducirá al envejecimiento y la muerte celular.

En las células tumorales, incluidas las células de cáncer de próstata, los telómeros son significativamente más cortos que en las células normales. En las células cancerosas con telómeros cortos, se requiere la actividad de la telomerasa para escapar del envejecimiento y permitir el crecimiento inmortal. Se ha encontrado una alta actividad de la telomerasa en el 90% de los cánceres de próstata y se ha demostrado que está ausente en el tejido prostático normal.

En un pequeño estudio sobre 36 muestras de telomerasa la actividad se ha utilizado para detectar células de cáncer de próstata en orina evacuada o lavado uretral después de un masaje prostático. Esta prueba tenía una sensibilidad del 58% y una especificidad del 100%. El valor predictivo negativo de la prueba fue del 55%.

Aunque ha sido un estudio pequeño y preliminar, el bajo valor predictivo negativo indica que la actividad de la telomerasa medida en muestras de orina no es muy prometedora para reducir el número de biopsias innecesarias.

La cuantificación de la subunidad catalítica de la telomerasa, hTERT, mostró una sobreexpresión media de hTERT ARNm de 6 veces en los tejidos de cáncer de próstata en comparación con los tejidos de próstata normales. Se encontró una relación significativa entre la expresión de hTERT y la fase tumoral, pero no con puntuación de Gleason. La cuantificación de hTERT usando PCR en tiempo real demostró que hTERT podría distinguir los tejidos de cáncer de próstata de los tejidos de próstata no malignos. Sin embargo, hTERT ARNm se expresa en leucocitos, que están regularmente presentes en los fluidos corporales, como la sangre y la orina. Esto puede producir falsos positivos. Como tal, la medición cuantitativa de hTERT en fluidos corporales no es muy prometedora como herramienta de diagnóstico para el cáncer de próstata.

El antígeno de membrana específico de próstata (PSMA) es una glucoproteína transmembrana que se expresa en la superficie de las células epiteliales de próstata. La expresión de PSMA parece estar restringida a la próstata. Se ha demostrado que el PSMA aumenta en el tejido del cáncer de próstata en comparación con los tejidos de próstata benignos. No se ha encontrado una superposición en la expresión de PSMA entre BPH y el cáncer de próstata, lo que indica que PSMA es un marcador de diagnóstico muy prometedor.

Recientemente, se ha demostrado que la expresión alta de PSMA en los casos de cáncer de próstata se correlaciona con el grado tumoral, la fase patológica, la aneuploidía y la recaída bioquímica. Además, la expresión incrementada de *PSMA ARNm* en cánceres de próstata primarios y metástasis se correlacionaba con la sobreexpresión de la proteína PSMA. Su utilidad clínica como marcador de diagnóstico o pronóstico para el cáncer de próstata se ha visto obstaculizada por la falta de un inmunoanálisis sensible para esta proteína. Sin embargo, una combinación de chips ProteinChip® (Ciphergen Biosystems) y SELDI-TOF MS ha llevado a la introducción de un inmunoanálisis de biochips de proteínas para el análisis cuantitativo de PSMA en suero. Se demostró que los niveles séricos promedio de PSMA en pacientes con cáncer de próstata era significativamente mayor en comparación con los de hombres con BPH y referencias sanas. Estos hallazgos implican un papel para la PSMA sérica para distinguir a los hombres con BPH de los pacientes con cáncer de próstata. Sin embargo, se necesitan más estudios para evaluar su valor diagnóstico.

Una combinación de chips ProteinChip® y SELDI-TOF MS ha llevado a la introducción de un inmunoanálisis con biochip de proteínas para la cuantificación de PSMA en el suero. Se demostró que las concentraciones promedio de

ES 2 663 069 T3

PSMA en el suero para pacientes con cáncer de próstata eran significativamente más altas en comparación con las de los hombres con BPH y referencias sanas. Estos resultados implican un papel para la PSMA sérica para distinguir a los hombres con BPH de los pacientes con cáncer de próstata. Sin embargo, se necesitan más estudios para evaluar su valor diagnóstico.

Los estudios de RT-PCR han demostrado que PSMA en combinación con su variante de empalme PSM' podría usarse como un marcador de pronóstico para el cáncer de próstata. En la próstata normal, la expresión de PSM' es mayor que la expresión de PSMA. En los tejidos de cáncer de próstata, la expresión de PSMA es más dominante. Por lo tanto, la relación de PSMA a PSM' es muy indicativa de la evolución de la enfermedad. Diseñar un análisis cuantitativo de PCR que discrimine entre las dos formas de PSMA podría generar otra aplicación para PSMA en el diagnóstico y pronóstico del cáncer de próstata.

Debido a su expresión específica en las células epiteliales de próstata y su aumento en el cáncer de próstata, PSMA se ha convertido en el objetivo de los tratamientos. Las estrategias propuestas van desde toxinas específicas y radionúclidos a agentes inmunoterapéuticos. Productos de primera generación han entrado en pruebas clínicas.

Delta-catenina (p120/CAS), una proteína asociada a la unión adhesiva, ha demostrado ser muy discriminativa entre BPH y el cáncer de próstata. Los estudios de hibridación *in situ* mostraron la expresión más alta de transcritos de δ-catenina en el adenocarcinoma de próstata y una expresión baja o nula en el tejido de BPH. La sobreexpresión media de δ-catenina en el cáncer de próstata en comparación con BPH es 15,7 veces.

Tanto la PCR cuantitativa como el análisis de hibridación *in situ* no pudieron encontrar una correlación entre la expresión de δ-catenina y las puntuaciones de Gleason.

- 20 El aumento de la expresión de δ-catenina en el cáncer de próstata humano da como resultado alteraciones del ciclo celular y genes de supervivencia, favoreciendo así la progresión tumoral. Se detectó δ-catenina en prostasomas de orina humanos evacuados sin células. La inmunorreactividad de δ-catenina aumentó significativamente en la orina de pacientes con cáncer de próstata. Se necesitan más estudios para evaluar su utilidad potencial en el diagnóstico del cáncer de próstata.
- PCA3, anteriormente conocido como DD3, ha sido identificado usando análisis de expresión diferencial. Se encontró que PCA3 estaba muy sobreexpresada en tumores de próstata en comparación con el tejido de próstata normal del mismo paciente usando análisis de transferencia Northern. Además, se encontró que PCA3 se sobreexpresaba fuertemente en más del 95% de las muestras de cáncer de próstata primario y en la metástasis del cáncer de próstata. Además, la expresión de PCA3 está restringida al tejido prostático, es decir, no se ha encontrado expresión en otros tejidos humanos normales.

El gen que codifica PCA3 se encuentra en el cromosoma 9q21.2. El PCA3 ARNm contiene una alta densidad de codones de terminación. Por lo tanto, falta un marco de lectura abierto que lo que da como resultado un ARN no codificante. Recientemente, se ha desarrollado un análisis cuantitativo RT-PCR resuelto en el tiempo (que utiliza un patrón interno y una curva de calibración externa). El poder de cuantificación preciso de este análisis mostró un aumento medio de 66 veces de PCA3 en el tejido de cáncer de próstata en comparación con el tejido de próstata normal. Por otra parte, se encontró un aumento medio de 11 veces en los tejidos de próstata que contienen menos del 10% de las células de cáncer de próstata. Esto indicó que PCA3 era capaz de detectar un pequeño número de células tumorales en un gran fondo de células normales.

35

50

55

Esta hipótesis ha sido probada usando el análisis cuantitativo RT-PCR en muestras de orina evacuadas. Estas muestras de orina se obtuvieron después del examen rectal digital (ERD) de un grupo de 108 hombres a quienes se les había indicado biopsias de próstata en base a un valor de PSA sérico total de más de 3 ng/ml. Esta prueba tenía 67% de sensibilidad y 83% de especificidad usando biopsias prostáticas como patrón oro de la presencia de un tumor. Además, esta prueba tenía un valor predictivo negativo del 90%, lo que indica que la determinación cuantitativa de transcritos de PCA3 en sedimentos urinarios obtenidos después de un extenso masaje de próstata tiene un gran potencial en la reducción del número de biopsias invasivas guiadas por TRUS en esta población de hombres.

La especificidad hística y la alta sobreexpresión en tumores de próstata indican que PCA3 es el gen más específico para el cáncer de próstata descrito hasta ahora. Gen-probe Inc. tiene la licencia mundial exclusiva para la tecnología PCA3. Los estudios multicéntricos que usan el análisis de PCA3 validado pueden proporcionar la primera base para el diagnóstico molecular en la práctica urológica clínica.

La expresión modulada de las proteínas HSP-27 citoplasmáticas y los miembros de la familia de la isoenzima PKC se han correlacionado con la evolución del cáncer de próstata.

La modulación de la expresión ha identificado claramente aquellos cánceres que son agresivos y, por lo tanto, aquellos que pueden requerir tratamiento urgente, independientemente de su morfología. Aunque no se emplean ampliamente, los anticuerpos contra estas proteínas están autentificados, están disponibles en el mercado y son sencillos en su aplicación e interpretación, especialmente junto con otros reactivos como preparados doblemente teñidos.

ES 2 663 069 T3

La importancia de este grupo de marcadores es que distinguen con precisión los cánceres de próstata de fenotipo agresivo. Modulados en su expresión por cánceres invasivos, en comparación con los tejidos prostáticos no neoplásicos, los tumores malignos que expresan HSP27 o PKCβ a alto nivel presentan invariablemente un resultado clínico pobre. El mecanismo de esta asociación garantiza dilucidación y validación.

5 Los factores de transcripción E2F, incluido el E2F3 situado en el cromosoma 6p22, modulan directamente la expresión de EZH2. La sobreexpresión del gen EZH2 ha sido importante en el desarrollo del cáncer de próstata humano.

Varambally y colegas identificaron EZH2 como un gen sobreexpresado en cáncer de próstata metastásico resistente a hormonas y demostraron que los pacientes con cánceres de próstata clínicamente localizados que expresan EZH2 tienen una evolución peor que los que no expresan la proteína.

Usando chips de tejido, la expresión de altos niveles de E2F3 nuclear ocurre en una gran proporción de cánceres de próstata humanos, pero es un caso raro en el epitelio prostático no neoplásico. Estos datos, junto con otra información publicada, sugirieron que el eje de referencia pRB-E2F3-EZH2 puede tener un papel crucial en la modulación de la agresividad de los cánceres de próstata humanos individuales.

El principal desafío para diagnósticos moleculares es la identificación del cáncer de próstata clínicamente insignificante, es decir, separar los cánceres biológicamente agresivos de los tumores indoloros. Además, los marcadores que predicen y controlan la respuesta al tratamiento se necesitan urgentemente.

En los establecimientos clínicos actuales el sobrediagnóstico y el sobretratamiento se vuelve cada vez más manifiestos, lo que subraya la necesidad de biomarcadores que pueden ayudar en la identificación precisa de los pacientes que no necesitan tratamiento y que lo necesitan.

El uso de la inmunohistoquímica de AMACR se usa ahora en la identificación de procesos malignos en la próstata, lo que ayuda al diagnóstico del cáncer de próstata. Lamentablemente, la introducción de marcadores moleculares en el tejido como herramienta de pronóstico no ha sido validada para ninguno de los marcadores expuestos.

Las experiencias en las últimas dos décadas han revelado la complejidad práctica y logística en la traducción de marcadores moleculares en uso clínico. Varios esfuerzos prospectivos, teniendo en cuenta estos problemas, están actualmente en curso para establecer la utilidad clínica de una serie de marcadores. Claramente, las biorreservas de tejido de muestras bien documentadas, incluidos los datos de seguimiento clínico, desempeñan un papel fundamental en el proceso de validación.

Nuevas pruebas de fluidos corporales basadas en la hipermetilación de GSTP1 y el gen PCA3, que está muy sobreexpresado en el cáncer de próstata, permitieron la detección del cáncer de próstata en fluidos corporales obtenidos de manera no invasiva, como la orina o los eyaculados.

La aplicación de nuevas tecnologías ha demostrado que una gran cantidad de genes han aumentado en el cáncer de próstata. Por ejemplo, el documento WO 2009/042742 describe un método para diagnosticar *in vitro* cáncer de próstata en un ser humano determinando la expresión de DLX1, estableciendo su aumento o disminución y posteriormente diagnosticando el cáncer de próstata.

Aunque los marcadores descritos anteriormente, al menos parcialmente, abordan la necesidad en la técnica de marcadores tumorales, y especialmente marcadores tumorales de próstata, existe una necesidad continua de marcadores tumorales (prostáticos) fiables, y especialmente marcadores indicativos del curso de la enfermedad.

Es un objeto de la presente invención, entre otros, alcanzar al menos parcialmente, si no completamente, el objeto 40 anterior.

Según la presente invención, el objeto anterior, entre otros, se cumple mediante marcadores tumorales y métodos como se describe en las reivindicaciones adjuntas.

Específicamente, el objeto anterior, entre otros, se cumple mediante un método para el diagnóstico *in vitro* de cáncer de próstata en un ser humano que comprende:

determinar la expresión de DLX1; y

10

20

30

35

45

50

- establecer el aumento o disminución de la expresión de DLX1 en comparación con la expresión de DLX1 en una muestra de un individuo sin cáncer de próstata;

proporcionando de ese modo dicho diagnóstico de cáncer de próstata.

Según la presente invención, el diagnóstico del cáncer de próstata preferiblemente comprende el diagnóstico, el pronóstico y/o la predicción de la supervivencia de la enfermedad.

Según la presente invención, el análisis de expresión comprende establecer una expresión aumentada o disminuida

de un gen en comparación con la expresión del gen en un tejido de cáncer no prostático, es decir, en condiciones sin enfermedad.

Según una realización preferida, el presente método se realiza en muestras urinarias, preferiblemente de sedimentos urinarios.

5 Según una realización preferida del presente método, determinar la expresión comprende determinar la expresión de ARNm de dichos gen o más genes.

10

15

35

40

El análisis de expresión basado en ARNm es generalmente conocido en la técnica y se practica rutinariamente en laboratorios de diagnóstico en todo el mundo. Por ejemplo, las técnicas adecuadas para el análisis de ARNm son técnicas basadas en la hibridación y amplificación de transferencia Northern tales como PCR, y especialmente PCR en tiempo real, y NASBA.

Según una realización particularmente preferida, el análisis de expresión comprende un análisis de chips de ADN de alto rendimiento que no solo permite el análisis simultáneo de múltiples muestras sino también un procesamiento de análisis automático.

El presente método proporciona diagnóstico de cáncer de próstata en un ser humano seleccionado del grupo consistente en diagnosticar PrCa de alto grado (HG), PrCa Met y CPRC.

LG indica PrCa de bajo grado (puntuación de Gleason igual o menor a 6) y representa pacientes con buen pronóstico. HG indica PrCa de alto grado (puntuación de Gleason de 7 o más) y representa pacientes con mal pronóstico. CPRC indica cáncer de próstata resistente a la castración y representa a pacientes con enfermedad agresiva localizada. Por último, PrCa Met representa pacientes con mal pronóstico.

20 Según una realización particularmente preferida del presente método, la presente invención proporciona el diagnóstico de CPRC.

Teniendo en cuenta el valor de diagnóstico de los genes presentes como biomarcadores de cáncer de próstata, la presente invención también se refiere al uso de DLX1 para el diagnóstico *in vitro* del presente cáncer de próstata.

En la presente descripción, se hace referencia a genes adecuados como biomarcadores para cáncer de próstata al

referirse a sus nombres arbitrariamente asignados. Aunque el experta en la técnica es capaz de identificar fácilmente y usar los genes presentes como biomarcadores basándose en estos nombres, las figuras adjuntas proporcionan tanto la secuencia de ADNc como las secuencias de proteínas de estos genes en la base de datos pública como también las referencias que describen estos genes. Basándose en los datos proporcionados en las figuras, el experto en la técnica, sin excesiva experimentación y usando medios normales de biología molecular, será capaz de determinar la expresión de los biomarcadores indicados en una muestra proporcionando de este modo el presente método de diagnóstico.

La presente invención se aclarará más en los siguientes ejemplos. En los ejemplos, se hace referencia a las figuras, en las que:

- Figuras 1-13: muestran las secuencias de ARNm y aminoácidos del gen ACSM1 (NM_052956, NP_443188); del gen ALDH3B2 (NM_000695, NP_000686); del gen CGREF1 (NM_006569, NP_006560); del gen COMP (NM_000095, NP_000086); del gen C19orf48 (NM_199249, NP_954857); del gen DLX1 (NM_178120, NP_835221); del gen GLYATL1 (NM_080661, NP_542392); del gen MS4A8B (NM_031457, NP_113645); del gen NKAIN1 (NM_024522, NP_078798); del gen PFFIA2 (NM_003625, NP_003616); del gen PTPRT (NM_133170, NP_573400); del gen TDRD1 (NM_198795, NP_942090) y del gen UGT2B15 (NM 001076, NP 001067).
- Figuras 14-26: muestra diagramas de caja basados en los datos de validación de TLDA en los grupos de próstata normal (NPr), BPH, cáncer de próstata de bajo grado (LG PrCa), HG, cáncer de próstata de alto grado (HG PrCa), CPRC, metástasis de cáncer de próstata (PrCa Met), vejiga normal, linfocitos de sangre periférica (PBL) y sedimentos urinarios.
- 45 Figuras 27-33: muestran las secuencias de ADNc y aminoácidos del gen HOXC6 (NM_004503.3, NP_004494.1); del gen SFRP2 (NM_003013.2, NP_003004.1); del gen HOXD10 (NM_002148.3, NP_002139.2); del gen RORB (NM_006914.3, NP_008845.2); del gen RRM2 (NM_001034.2, NP_001025.1); del gen TGM4 (NM_003241.3, NP_003232.2); y del gen SNAI2 (NM_003068.3, NP_003059.1, respectivamente:
- Figuras 34-40: muestran los datos del TLDA en diagrama de caja basados en el análisis de expresión del grupo LG (bajo grado), HG (alto grado), CPRC (resistente a la castración) y PrCa Met (metástasis del cáncer de próstata) del gen HOXC6 (NM_004503.3); del gen SFRP2 (NM_003013.2); del gen HOXD10 (NM_002148.3); del gen RORB (NM_006914.3,); del gen RRM2 (NM_001034.2); del gen TGM4 (NM_003241.3); y del gen SNAI2 (NM 003068.3), respectivamente. NP indica sin cáncer de próstata,

es decir, niveles de expresión normales o estándar.

Ejemplo 1

10

25

30

35

40

50

Para identificar marcadores de cáncer de próstata agresivo, se utilizó el perfil de expresión génica (chips Affymetrix exon 1.0) de muestras de pacientes con cáncer de próstata en las siguientes categorías:

- 5 Se usaron muestras de próstata en las siguientes categorías:
 - Próstata normal (NPr), n = 8.
 - Hiperplasia Prostática Benigna (HPB), n = 12.
 - Cáncer de próstata de bajo grado (LG PrCa): muestras de tejido de tumores primarios con una puntuación de Gleason ≤6 obtenidas después de prostatectomía radical. Este grupo representa pacientes con un buen pronóstico, n = 25.
 - Cáncer de próstata de alto grado (HG PrCa): muestras de tejido de tumores primarios con una puntuación de Gleason ≥7 obtenidas después de una prostatectomía radical. Este grupo representa pacientes con mal pronóstico, n = 24.
- Cáncer de próstata resistente a la castración (CPRC): las muestras de tejido se obtienen de pacientes que están bajo tratamiento endocrino progresivo y que se someten a una resección transuretral de la próstata (RTUP), n = 23
 - Metástasis de cáncer de próstata (Met PrCa): las muestras de tejido se obtienen de linfomas positivos después de LND o después de la autopsia. Este grupo representa pacientes con mal pronóstico, n = 7.

Además, para diagnosticar cáncer de próstata clínicamente significativo (pacientes con mal pronóstico), se determinaron los perfiles de expresión de las categorías pT2 (tumor confinado a la próstata, n = 10) y pT3 (cáncer de próstata localmente avanzado, n = 9).

El análisis de expresión se realiza según protocolos normalizados.

En pocas palabras, el tejido de pacientes con cáncer de próstata (pertenecientes a una de las últimas cuatro categorías mencionadas anteriormente) se obtuvo después de la prostatectomía radical o RTUP. La próstata normal se obtuvo de regiones sin cáncer de estas muestras o de la autopsia. El tejido de BPH se obtuvo de RTUP o prostatectomía abierta transvesical (Hryntschak). Los tejidos se congelaron rápidamente y las secciones de criostato se tiñeron H.E. para su clasificación por un patólogo

Se disecaron las áreas con tumor y sin tumor y se extrajo todo el ARN con TRIzol (Invitrogen, Carlsbad, CA, EE. UU.) siguiendo las instrucciones del fabricante. Se purificó todo el ARN con el miniequipo Qiagen RNeasy (Qiagen, Valencia, CA, EE. UU.). La integridad del ARN se comprobó por electroforesis usando Agilent 2100 Bioanalyzer.

A partir del ARN total purificado, se utilizó 1 µg para el GeneChip Whole Transcript (WT) Sense Target Labeling Assay (Affymetrix, Santa Clara, CA, EE. UU.). Según el protocolo de este ensayo, la mayoría del ARN ribosómico se eliminó utilizando un RiboMinus Human/ Mouse Transcriptoma Isolation Kit (Invitrogen, Carlsbad, CA, EE. UU.). Utilizando un hexámero aleatorio que incorpora un activador T7, se sintetizó ADNc bicatenario. Luego se generó ARNc a partir de la plantilla de ADNc bicatenario mediante una reacción de transcripción *in vitro* y se purificó utilizando el módulo de limpieza de muestras Affymetrix. El ADNc monocatenario se regeneró mediante una transcripción inversa cebada aleatoriamente usando una mezcla de dNTP que contenía dUTP. El ARN se hidrolizó con ribonucleasa H y el ADNc se purificó. El ADNc se fragmentó a continuación por incubación con una mezcla de endonucleasas de restricción UDG (uracil ADN glucosilasa) y APE1 (endonucleasa 1 apurínica/apirimidínica) y, por último, se marcó en el extremo mediante una reacción de transferasa terminal que incorpora un didesoxinucleótido biotinilado.

Se añadieron 5,5 µg del ADNc biotinilado y fragmentado a una mezcla de hibridación, se cargaron en un chip ST de Exón 1.0 humano y se hibridaron durante 16 horas a 45°C y 60 rpm.

Utilizando el chip de exón de Affymetrix, se miden indirectamente los genes por el análisis de exones cuyas mediciones se pueden combinar en mediciones de grupos de transcripción. Hay más de 300.000 grupos de transcripción en el chip, de los cuales 90.000 contienen más de un exón. De estos 90.000, hay más de 17.000 genes de alta confianza (CORE) que se utilizan en el análisis predeterminado. En total, hay más de 5,5 millones de elementos por chip.

Después de la hibridación, el chip se lavó y se tiñó según el protocolo de Affymetrix. El chip teñido se escaneó a 532 nm utilizando un Affymetrix GeneChip Scanner 3000, generando archivos CEL para cada chip.

Los valores de expresión en el exón procedían de las intensidades de hibridación en la sonda de archivo CEL

utilizando el algoritmo RMA basado en modelo tal como se realizó en el programa informático Affymetrix Expression Console™. RMA (Robust Multiarray Average) realiza la normalización, la corrección de fondo y el resumen de datos.

Los genes expresados diferencialmente entre las condiciones se calculan utilizando Anova (ANalysis Of Variance), prueba de la T para más de dos grupos.

- La identificación del objetivo está sesgada ya que se analizaron grupos de riesgo clínicamente bien definidos. Los marcadores se clasifican según su función en la biología del cáncer. Para la identificación de marcadores se compararon diferentes grupos: NPr con LG- y HG PrCa, PrCa Met con LG- y HG PrCa, CPRC con LG- y HG PrCa. Por último, las muestras se clasificaron según el estadio clínico y se comparó PrCa confinado en un órgano (pT2) con PrCa no confinado en un órgano (pT3).
- 10 En base al análisis de expresión obtenido, se identificaron biomarcadores basados en 99 muestras de próstata; las diferencias en los niveles de expresión entre los diferentes grupos se proporcionan en la Tabla 1 a, b, c y d.

Tabla 1a: Diferencias de nivel de expresión entre PrCa de bajo grado (LG) y de alto grado (HG) frente a próstata normal (NPr) de 25 dianas según el análisis de 99 muestras muy comentadas

Símbolo del gen	Nombre del gen	Asignación del gen	Cambio de veces	LG + HG frente a NPr	Fila
CRISP3	proteína 3 secretora rica en cisteína	NM_006061	17,05	aumento	1
GLYATL1	seudoglicina-N-aciltransferasa 1	NM_080661	10,24	aumento	2
AMACR	alfa-metilacil-CoA racemasa	NM_014324	9,59	aumento	4
TARP	proteína alternativa del marco de lectura TCR gamma	NM_001003799	9,42	aumento	5
ACSM1	miembro 1 de la familia de cadena media acil-CoA sintetasa	NM_052956	8,43	aumento	7
TDRD1	dominio tudor que contiene 1	NM_198795	7,70	aumento	8
TMEM45B	proteína transmembrana 45B	NM_138788	7,05	aumento	9
FOLH1	folato hidrolasa (antígeno de membrana específico de la próstata) 1	NM_004476	6,47	aumento	10
C19orf48	marco de lectura abierto 48 del cromosoma 19	NM_199249	5,91	aumento	12
ALDH3B2	familia de aldehído deshidrogenasa 3, miembro B2	NM_000695	5,66	aumento	13
NETO2	neurofilina (NRP) y seudotolloid (TLL) 2	NM_018092	5,63	aumento	14
MS4A8B	miembro 8B de la subfamilia A de 4 dominios que cubren la membrana	NM_031457	5,00	aumento	18
TLCD1	dominio TLC que contiene 1	NM_138463	4,73	aumento	21
FASN	ácido graso sintasa	NM_004104	4,69	aumento	22
GRPR	receptor del péptido liberador de gastrina	NM_005314	4,51	aumento	24
HPN	hepsina	NM_182983	4,44	aumento	25
PTPRT	proteína tirosina fosfatasa, tipo receptor, T	NM_133170	4,21	aumento	29
TOP2A	topoisomerasa (ADN) II alfa 170 kDa	NM_001067	3,79	aumento	37
FAM111B	miembro B de la familia con similitud de secuencia 111	NM_198947	3,77	aumento	39
NKAIN1	ATPasa interactuante 1 transportadora de NA ⁺ /K ⁺	NM_024522	3,76	aumento	40
DLX1	homeosecuencia 1 menos distante	NM_178120	3,54	aumento	52
TPX2	TPX2, homólogo, asociado a microtúbulos	NM_012112	3,47	aumento	54
CGREF1	regulador de crecimiento celular con dominio mano EF	NM_006569	3,22	aumento	66
DPT	Dermatopontina	NM_001937	-6,31	disminución	2
ASPA	aspartoacilasa (enfermedad de Canavan)	NM_000049	-5,17	disminución	7

Tabla 1b: Diferencias de nivel de expresión entre metástasis de cáncer de próstata (Met PrCa) frenta a PrCa de bajo grado (LG) y de alto grado (HG) de 11 dianas basadas en el análisis de 99 muestras muy comentadas

Símbolo del gen	Nombre del gen	Asignación del gen	Cambio de veces	PrCa Met frente a LG + H	Fila
PPFIA2	proteína α2 que interactúa con receptor tipo f de proteína tirosina fosfatasa	NM_003625	4,59	aumento	3
CDC20	homólogo 20 del ciclo de división celular (S. cerevisiae)	NM_001255	4,27	aumento	4
FAM110B	miembro B de la familia con similitud de secuencia 110	NM_147189	3,70	aumento	6
TARP	proteína alternativa del marco de lectura TCR gamma	NM_001003799	3,26	aumento	12
ANLN	anillin, proteína de unión a actina	NM_018685	3,17	aumento	13
KIF20A	miembro 20A de la familia de cinesina	NM_005733	3,16	aumento	14
TPX2	TPX2, homólogo, asociado a microtúbulos	NM_012112	3,15	aumento	15
CDC2	ciclo 2 de división celular, G1 a S y G2 a M	NM_001130829	2,88	aumento	23
PGM5	fosfoglucomutasa 5	NM_021965	-15,71	disminución	10
MSMB	microseminoproteína, beta-	NM_002443	-12,23	disminución	15
HSPB8	proteína 8 del choque térmico de 22 kDa	NM_014365	-12,10	disminución	16

Tabla 1c: Diferencias de nivel de expresión entre CPRC frente a PrCa de bajo grado (LG) y alto grado (HG) de 21 dianas basadas en el análisis de 99 muestras muy comentadas

Símbolo del gen	Nombre del gen	Asignación del gen	Cambio de veces	CPRC frente a LG + HG	Fila
AR	Receptor de andrógenos	NM_000044	4,66	aumento	1
UGT2B15	polipéptido B15 de la familia de UDP glucuronosiltranferasa 2	NM_001076	4,20	aumento	2
CDC20	homólogo 20 del ciclo de división celular (S. cerevisiae)	NM_001255	3,86	aumento	4
TOP2A	topoisomerasa (ADN) II alfa 170 kDa	NM_001067	3,54	aumento	5
MKI67	antígeno identificado por anticuerpo monoclonal Ki-67	NM_002417	3,47	aumento	6
TPX2	TPX2, homólogo, asociado a microtúbulos	NM_012112	3,40	aumento	7
AKR1C1	Miembro C1 de la familia aldo-ceto reductasa 1	NM_001353	3,35	aumento	8
CDC2	ciclo 2 de división celular, G1 a S y G2 a M	NM_001130829	3,21	aumento	10
ANLN	anillin, proteína de unión a actina	NM_018685	3,08	aumento	11
KIF4A	miembro 4A de la familia de cinesina	NM_012310	3,02	aumento	12
PTTG1	Transformante 1 del tumor de pituitaria	NM_004219	2,95	aumento	13
KIF20A	miembro 20A de la familia de cinesina	NM_005733	2,90	aumento	14
AKR1C3	Miembro C3 de la familia aldo-ceto reductasa 1	NM_003739	2,88	aumento	15
FAM111B	miembro B de la familia con similitud de secuencia 111	NM_198947	2,81	aumento	16
CKS2	subunidad 2 reguladora de proteína cinasa CDC28	NM_001827	2,79	aumento	19
UGT2B17	polipéptido B17, de la familia UDP glucuronosiltransferasa 2	NM_	2,77	aumento	20
BUB1	incipiente no inhibido por homólogo 1 de bencimidazoles	NM_004336	2,75	aumento	21
MSMB	microseminoproteína, beta-	NM_002443	-6,99	disminución	6

NR4A1	miembro 1, grupo A, subfamilia 4 del receptor nuclear	NM_002135	-6,57	disminución	7
MT1M	metalotioneína 1M	NM_176870	-6,08	disminución	10
DUSP1	fosfatasa 1 de doble especificidad	NM_004417	-5,59	disminución	12

Tabla 1d: Diferencias de nivel de expresión entre PrCa(pT2) confinada en el órgano frente a (pT3)PrCa no confinada en el órgano de 21dianas basadas en el análisis de 99 muestras muy comentadas

Símbolo del gen	Nombre del gen	Asignación del gen	Cambio de veces	pT3 frente a pT2	Fila
TTN	Titina	NM_133378	4,88	aumento	2
SSL	Sarcolipina	NM_003063	3,62	aumento	3
PPFIA2	proteína α2 que interactúa con receptor tipo f de proteína tirosina fosfatasa	NM_003625	3,47	aumento	4
COMP	proteína de matriz oligomérica del cartílago	NM_000095	2,74	aumento	6
ABI3BP	miembro 3 de la familia ABI	NM_015429	2,71	aumento	7
NEB	Nebulina	NM_004543	2,58	aumento	8
MT1M	metalotioneína 1M	NM_176870	-6,03	disminución	1
MT1G	metalotioneína 1G	NM_005950	-3,61	disminución	2

5 Como puede verse claramente en la tabla 1, un aumento o disminución de la expresión de los genes mostrados se asoció con el cáncer de próstata, CPRC, metástasis de próstata o fase tumoral.

Teniendo en cuenta los resultados anteriores obtenidos en 99 muestras tumorales, los datos de expresión demuestran claramente que estos genes son adecuados como biomarcadores para el diagnóstico del cáncer de próstata.

10 Ejemplo 2

15

Utilizando el perfil de expresión génica (chip 1.0 ST de exón humano GeneChip®, Affymetrix) en 99 muestras de próstata, se encontró que varios genes se expresan diferencialmente en próstata normal en comparación con cáncer de próstata y/o cáncer de próstata resistente a la castración (CPRC) o se expresan diferencialmente entre el cáncer de próstata de bajo grado y de alto grado en comparación con CPRC y/o la metástasis del cáncer de próstata. Junto con varios otros en los genes expresados diferencialmente chip 1.0 ST de exón humano GeneChip®, los niveles de expresión de estos genes se validaron usando los chips TaqMan® de baja densidad (TLDA, Applied Biosystems). En la Tabla 2, se muestra una descripción general de los genes validados.

Tabla 2: Ensayos de expresión génica utilizados para el análisis de TLDA

Símbolo del gen	Descripción	ID del gen	Tamaño del amplicón (pb)
ABI3BP	proteína de unión familia ABI, miembro 3 (NESH)	NM_015429	84
ACSM1	miembro 1 de la familia de cadena media acil-CoA sintetasa	NM_052956	74
ALDH3B2	familia de aldehído deshidrogenasa 3, miembro B2	NM_000695	126
AMACR	alfa-metilacil-CoA racemasa	NM_014324	97
ANLN	anillina, proteína de unión a actina	NM_018685	71
ASPA	aspartoacilasa (enfermedad de Canavan)	NM_000049	63
BUB1	incipiente no inhibido por homólogo 1 de bencimidazoles	NM_004336	61
C19orf48	marco de lectura abierto 48 del cromosoma 19	NM_199249	59

ES 2 663 069 T3

CDC2	ciclo 2 de división celular, G1 a S y G2 a M	NM_033379	109
CDC20	Homólogo del ciclo 20 de división celular (S. cerevisiae)	NM_001255	108
CGREF1	regulador de crecimiento celular con dominio mano EF	NM_006569	58
CKS2	subunidad 2 reguladora de proteína cinasa CDC28	NM_001827	73
COMP	proteína de matriz oligomérica del cartílago	NM_000095	101
CRISP3	proteína 3 secretora rica en cisteína	NM_006061	111
DLX1	homeosecuencia 1 menos distal	NM_178120	95
DPT	Dermatopontina	NM_001937	67
DUSP1	fosfatasa 1 de doble especificidad	NM_004417	63
ERG	homólogo de oncogén del virus E26 de la eritroblastosis v-ets	NM_004449	104
FAM110B	miembro B de la familia con similitud de secuencia 110	NM_147189	74
FAM111B	miembro B de la familia con similitud de secuencia 111	NM_198947	68
FASN	sintasa de ácido graso	NM_004104	62
FOLH1	folato hidrolasa (antígeno de membrana específico de la próstata) 1	NM_004476	110
GLYATL-1	seudoglicina-N-aciltransferasa 1	NM_080661	83
GRPR	receptor del péptido liberador de gastrina	NM_005314	68
HPRT1	Hipoxantina fosforribosiltransferasa 1	NM_000194	72
HSPB8	proteína 8 del choque térmico de 22 kDa	NM_014365	66
KIF20A	miembro 20A de la familia de cinesina	NM_005733	71
KIF4A	miembro 4A de la familia de cinesina	NM_012310	88
MKI67	antígeno identificado por anticuerpo monoclonal Ki-67	NM_002417	66
MS4A8B	miembro 8B de la subfamilia A de 4 dominios que cubren la membrana	NM_031457	62
MSMB	microseminoproteína, beta-	NM_138634	149
MT1M	metalotioneína 1M	NM_176870	144
NETO2	neurofilina (NRP) y seudotolloid (TLL) 2	NM_018092	66
NKAIN1	ATPasa interactuante 1 transportadora de NA ⁺ /K ⁺	NM_024522	96
NR4A1	miembro 1, grupo A, subfamilia 4 del receptor nuclear	NM_002135	79
PCA3	antígeno 3 del cáncer de próstata	AF103907	52
PGM5	fosfoglucomutasa 5	NM_021965	121
PPFIA2	proteína tirosina fosfatasa, tipo receptor, polipéptido f	NM_003625	66
PTPRT	proteína tirosina fosfatasa, receptor tipo T	NM_133170	62
PTTG1	transformante 1 del tumor de pituitaria	NM_004219	86
TDRD1	dominio tudor que contiene 1	NM_198795	67
TLCD1	dominio TLC que contiene 1	NM_138463	63
TMEM45B	proteína transmembrana 45B	NM_138788	70
TOP2A	topoisomerasa (ADN) II alfa 170 kDa	NM_001067	125
TPX2	TPX2, homólogo, asociado a microtúbulos	NM_012112	89

TIN	Titina	NM_133378	85
UGT2B15	polipéptido B15 de la familia de UDP glucuronosiltranferasa 2	NM_001076	148

Se usaron muestras de próstata en las siguientes categorías:

- Próstata normal (NPr) (n = 6)

10

- Hiperplasia Prostática Benigna (HPB) (n = 6)
- 5 Cáncer de próstata de bajo grado (LG PrCa) (n = 14): muestras de tejido de tumores primarios con una puntuación de Gleason ≤ 6 obtenidas después de prostatectomía radical. Este grupo representa pacientes con un buen pronóstico.
 - Cáncer de próstata de alto grado (HG PrCa) (n = 14): muestras de tejido de tumores primarios con una puntuación de Gleason ≥ 7 obtenido después de la prostatectomía radical. Este grupo representa pacientes con mal pronóstico.
 - Cáncer de próstata resistente a la castración (CPRC) (n = 14): las muestras de tejido se obtienen de pacientes que son progresivos bajo terapia endocrina y que se sometieron a una resección transuretral de la próstata (RTUP).
- Metástasis del cáncer de próstata (Met PrCa) (n = 8): las muestras de tejido se obtienen de linfomas positivos después de la LND o después de la autopsia. Este grupo representa a pacientes con mal pronóstico.

Todas las muestras de tejido se congelaron rápidamente y las secciones de criostato se tiñeron con hematoxilina y eosina (H.E.). Estas secciones teñidas con H.E. fueron clasificadas por un patólogo.

Se disecaron áreas de tumor y sin tumor. El ARN se extrajo de secciones en serie de 10 µm de espesor que se recogieron de cada muestra de tejido en varios niveles. El tejido se evaluó mediante tinción con HE de secciones en cada nivel y se verificó al microscopio. El ARN total se extrajo con TRIzol® (Invitrogen, Carlsbad, CA., EE. UU.) según las instrucciones del fabricante.

La cantidad y calidad de ARN se evaluaron en un espectrofotómetro NanoDrop 1000 (NanoDrop Technologies, Wilmington, DE., EE. UU.) y en un bioanalizador Agilent 2100 (Agilent Technologies Inc., Santa Clara, CA., EE. UU.).

- 25 Se transcribieron de forma inversa 2 μg de ARN completo tratado con desoxirribonucleasa usando transcriptasa inversa SuperScriptTM II (Invitrogen) en una reacción de 37, 5 μI según el protocolo del fabricante. Las reacciones se incubaron durante 10 minutos a 25°C, 60 minutos a 42°C y 15 minutos a 70°C. Al ADNc, se añadieron 62, 5 μI de milliQ.
- Para la validación, no solo se usaron muestras de tejido de próstata. Para investigar si los marcadores seleccionados podrían detectarse con éxito en fluidos corporales, también se incluyeron muestras normales de tejido de vejiga, de linfocitos de sangre periférica (PBL) y muestras de sedimento urinario en la etapa de validación del marcador. La señal de fondo de los marcadores en la vejiga normal y los sedimentos urinarios de pacientes sin cáncer de próstata debe ser baja.
- Estas muestras de sedimento urinario se recogieron en tres hospitales una vez que todos los participantes firmaron un formulario de consentimiento aprobado por la junta de revisión institucional. Las primeras muestras de orina evacuada se recogieron después del examen rectal digital (ERD) de hombres para los que se prevé cáncer de próstata. Después de la recogida de muestras de orina, el urólogo realizó biopsias de próstata según un protocolo normalizado. Se evaluaron las biopsias de próstata y, en caso de que hubiera cáncer de próstata, se determinó la puntuación de Gleason.
- En primer lugar se recogió la orina evacuada después del ERD (20-30 ml) en un tubo codificado que contenía 2 ml de EDTA 0,5M, pH 8,0. Todas las muestras se enfriaron inmediatamente a 4°C y se enviaron en lotes con paquetes congelados al laboratorio de NovioGendix. Las muestras se procesaron en las 48 h posteriores a la adquisición de las muestras para garantizar una buena calidad de muestra. Tras la centrifugación a 4°C y 1.800 x g durante 10 minutos, se obtuvieron sedimentos urinarios. Estos sedimentos urinarios se lavaron dos veces con solución de cloruro de sodio tamponada enfriada con hielo (a 4°C y 1.800 x g durante 10 minutos), se congelaron instantáneamente en nitrógeno líquido y se almacenaron a -70°C.

Se extrajo todo el ARN de estos sedimentos urinarios, utilizando el reactivo de aislamiento TriPure (Roche Diagnostics, Almere, Países Bajos) según el protocolo de los fabricantes.

Se añadieron dos pasos adicionales. En primer lugar se añadieron 2 µl de glucógeno (15 mg/ml) como vehículo

(Ambion, Austin (TX), EE.UU.) antes de la precipitación con isopropanol. En segundo lugar, se realizó una segunda etapa de precipitación con acetato de sodio 3 M pH 5,2 y 100% de etanol para descartar restos de reactivo de aislamiento TriPure.

El ARN se disolvió en agua sin ribonucleasa y se incubó durante 10 minutos a 55-60°C. El ARN se trató con desoxirribonucleasa utilizando DNasal de calidad amplificación (Invitrogen™, Breda, Holanda) según el protocolo del fabricante. De nuevo se añadió glucógeno como vehículo y el ARN se precipitó con acetato de sodio 3 M pH 5,2 y etanol al 100% durante 2 horas a -20°C.

Después de eliminar los últimos restos de etanol, el sedimento de ARN se disolvió en 16,5 µl de agua exenta de ribonucleasa. La concentración de ARN se determinó mediante medición de D.O. (Nanodrop) y se usó 1 µg de ARN completo para la amplificación de ARN utilizando el kit de expresión Ambion®WT (Ambion, Austin (TX), EE. UU.) según el protocolo del fabricante.

Para determinar los niveles de expresiones génicas, el ADNc generado a partir del ARN extraído tanto de las muestras de tejido como de los sedimentos urinarios se utilizó como plantilla en los chips de baja densidad TagMan® (TLDA; Applied Biosystems).

En la Tabla 2 se proporciona una lista de los ensayos utilizados en este estudio. De cada uno de los ADNc, se añaden 5 μl a 50 μl de Taqman® Universal Probe Maxter Mix (Applied Biosystems) y 50 μl de milliQ. Se cargaron 100 μl de cada muestra en 1 depósito de muestra de una TaqMan® Array (tarjeta de micro-fluido de 384 pocillos) (Applied Biosystems). La TaqMan® Array se centrifugó dos veces durante 1 minuto a 280 g y se selló para evitar la contaminación de pozo a pozo. Las tarjetas se colocaron en el bloque de muestra de tarjeta de micro-fluido de un sistema 7900 HT Fast Real-Time PCR System (Applied Biosystems). Las condiciones del ciclo térmico fueron: 2 minutos a 50°C, 10 minutos a 94,5°C, seguido de 40 ciclos durante 30 segundos a 97°C y 1 minuto a 59,7°C.

Los datos brutos se registraron con el programa informático Sequence detection System (SDS) de los instrumentos. Las Micro Fluidic Cards se analizaron con documentos RQ y el RQ Manager Software para el análisis automático de datos. Los valores del umbral del ciclo delta (Ct) se determinaron como la diferencia entre el Ct de cada gen de prueba y el Ct de hipoxantina fosforribosiltransferasa 1 (HPRT) (gen de referencia endógeno).

Además, los valores de expresión génica se calcularon en base al método del ciclo de umbral comparativo (Ct), en el que una muestra de ARN de próstata normal se designó como un calibrador al que se compararon las demás muestras.

Para la validación de los genes expresados de forma diferencial encontrados mediante chip 1.0 ST de exón humano GeneChip®, se usaron 60 muestras de tejido de próstata en los chips de baja densidad TaqMan® (TLDA). Para investigar si los marcadores podrían usarse en fluidos corporales, también se incluyeron 2 muestras de tejido vesical normal, 2 muestras de linfocitos de sangre periférica y 16 sedimentos urinarios (de los cuales 9 tenían PrCa en sus biopsias y 7 no).

En los TLDA, se determinaron los niveles de expresión para los 47 genes de interés. Las muestras de cáncer de próstata se ordenaron a partir de próstata normal, BPH, puntuaciones bajas de Gleason, puntuaciones altas de Gleason, CPRC y por último metástasis de cáncer de próstata. Tanto el chip 1.0 ST de exón humano GeneChip® como los datos TLDA se analizaron usando diagramas de dispersión y de caja.

Después del análisis de los diagramas de caja y de dispersión, se obtuvo una lista de genes indicativos de cáncer de próstata y su pronóstico (Tabla 3, Figuras 14 t/m 26).

40 Tabla 3: Lista de genes identificados

10

25

35

Símbolo del gen	Descripción del gen	Aumento/disminución en grupo	Fila	ID del gen
ACSM1	miembro 1 de la familia de cadena media acil-CoA sintetasa	Aumento en LG/HG frente a NPr	7	NM_052956
ALDH3B2	familia de aldehído deshidrogenasa 3, miembro B2	Aumento en LG/HG frente a NPr	13	NM_000695
CGREF1	regulador de crecimiento celular con dominio mano EF	Aumento en LG/HG frente a NP	66	NM_006569
COMP	Proteína de matriz oligomérica del cartílago	Aumento en pT3 frente a pT2	6	NM_000095
C19orf48	marco de lectura abierto 48 del cromosoma 19	Aumento en LG/HG frente a NPr	12	NM_199249
DLX1	homeosecuencia 1 menos distal	Aumento en LG/HG frente a NPr	52	NM_178120
GLYATL1	seudoglicina-N-aciltransferasa 1	Aumento en LG/HG frente a NPr	1	NM_080661

MS4A8B	miembro 8B de la subfamilia A de 4 dominios que cubren la membrana	Aumento en LG/HG frente a NPr	18	NM_031457
NKAIN1	ATPasa interactuante 1 transportadora de NA+/K+	Aumento en LG/HG frente a NPr	40	NM_024522
PPFIA2	proteína tirosina fosfatasa, tipo receptor, polipéptido f (PTPRF)	Aumento en Meta frente a LG/HG	3	NM_003625
		Aumento en pT3 frente a pT2	4	
PTPRT	proteína tirosina fosfatasa, receptor tipo T	Aumento en LG/HG frente a NPr	29	NM_133170
TDRD1	dominio tudor que contiene 1	Aumento en LG/HG frente a NPr	8	NM_198795
UGT2B15	polipéptido B15 de la familia de UDP glucuronosiltranferasa 2	Aumento en CPRC frente a LG/HG	2	NM_001076

ACSM1 (Figura 14): Los presentes datos del chip ST del exón 1.0 humano GeneChip® demostraron que ACSM1 aumentó en los grupos LG PrCa, HG PrCa, CPRC y PrCa Met en comparación con NPr y BPH. Los experimentos de validación utilizando chips de baja densidad TaqMan® confirmaron este aumento positivo en PrCa. Por lo tanto, ACSM1 tiene potencial de diagnóstico.

5

25

30

La expresión de ACSM1 en vejiga normal y PBL es muy baja. Además, la expresión de ACSM1 en sedimentos urinarios obtenidos de pacientes con PrCa es mayor en comparación con su expresión en sedimentos urinarios obtenidos de pacientes sin PrCa. Por lo tanto, ACSM1 tiene potencial de diagnóstico como marcador urinario para el cáncer de próstata.

- ALDH3B2 (Figura 15): Los presentes datos del chip ST del exón 1.0 humano GeneChip® demostraron que ALDH3B2 aumentó en los grupos LG PrCa, HG PrCa, CPRC y PrCa Met en comparación con NPr y BPH. Los experimentos de validación utilizando chips de baja densidad TaqMan® confirmaron el aumento en estos grupos con excepción de PrCa Met. Por lo tanto, ALDH3B2 tiene potencial de diagnóstico.
- La expresión de ALDH3B2 en vejiga normal y PBL es muy baja. Además, la expresión de ALDH3B2 en sedimentos urinarios obtenidos de pacientes con PrCa es mayor en comparación con su expresión en sedimentos urinarios obtenidos de pacientes sin PrCa. Por lo tanto, ALDH3B2 tiene potencial de diagnóstico como marcador urinario para el cáncer de próstata.
- CGREF1 (Figura 16): los presentes datos del chip 1.0 ST de exón humano GeneChip® demostraron que CGREF1 aumentó en los grupos LG PrCa, HG PrCa, CPRC y PrCa Met en comparación con NPr y BPH. Los experimentos de validación utilizando chips de baja densidad TaqMan® confirmaron este aumento. Por lo tanto, CGREF1 tiene potencial de diagnóstico.

La expresión de CGREF1 en vejiga normal y PBL es muy baja. Además, la expresión de CGREF1 en sedimentos urinarios obtenidos de pacientes con PrCa es mayor (casi dos grupos independientes) en comparación con su expresión en sedimentos urinarios obtenidos de pacientes sin PrCa. Por lo tanto, CGREF1 tiene potencial de diagnóstico como marcador urinario para el cáncer de próstata.

COMP (Figura 17): Los datos del presente chip 1.0 ST de exón humano GeneChip® demostraron que COMP aumentó (hasta 3,5 veces) en los grupos LG PrCa, HG PrCa, CPRC y PrCa Met en comparación con NPr y BPH. Los experimentos de validación usando chips de baja densidad TaqMan® confirmaron esto y mostraron un aumento incluso mayor en tejido de PrCa frente a tejido de NPr (hasta 32,5 veces). Por lo tanto, concluimos que COMP tiene potencial de diagnóstico.

La expresión de COMP en vejiga normal y PBL es muy baja a niveles indetectables. Además, la expresión de COMP en los sedimentos urinarios obtenidos de pacientes con PrCa es mayor en comparación con su expresión en sedimentos urinarios obtenidos de pacientes sin PrCa. Por lo tanto, COMP tiene potencial de diagnóstico como marcador urinario para cáncer de próstata.

- La expresión de COMP en PrCa localmente avanzado (pT3) es mayor que en PrCa confinada en un órgano (pT2). Por lo tanto, COMP se puede utilizar como marcador de pronóstico para el cáncer de próstata (datos de GeneChip®).
- C19orf48 (Figura 18): Los presentes datos del chip 1.0 ST de exón humano GeneChip® demostraron que C19orf48 aumentó en los grupos LG PrCa, HG PrCa, CPRC y PrCa Met en comparación con NPr y BPH. Los experimentos de validación utilizando chips de baja densidad TaqMan® confirmaron este aumento. Por lo tanto, C19orf48 tiene potencial de diagnóstico.

La expresión de C19orf48 en la vejiga normal y PBL es muy baja. La expresión media de C19orf48 en sedimentos urinarios obtenidos de pacientes con PrCa no es mayor en comparación con su expresión en sedimentos urinarios obtenidos de pacientes sin PrCa. Sin embargo, en dos de cada nueve sedimentos urinarios obtenidos de pacientes con PrCa, la expresión es sumamente más alta (estrellas en el gráfico de caja) y en estos dos pacientes no se detectaría por la mayoría de los otros biomarcadores. Por lo tanto, C19orf48 tiene potencial de diagnóstico complementario como marcador urinario para cáncer de próstata.

5

15

35

40

50

55

DLX1 (Figura 19): Los presentes datos del chip 1.0 ST de exón humano GeneChip® demostraron que DLX1 aumentó (hasta 5,6 veces) en los grupos LG PrCa, HG PrCa, CPRC y PrCa Met en comparación con NPr y BPH.

Los experimentos de validación utilizando chips de baja densidad TaqMan® confirmaron esto y demostraron un aumento incluso mayor en tejido de PrCa frente a tejido de NPr (hasta 183,4 veces). Por lo tanto, DLX1 tiene potencial de diagnóstico.

La expresión de DLX1 en vejiga normal y PBL es indetectable a muy baja. Además, la expresión de DLX1 en sedimentos urinarios obtenidos de pacientes con PrCa es mucho mayor en comparación con su expresión en sedimentos urinarios obtenidos de pacientes sin PrCa. Por lo tanto, DLX1 tiene potencial de diagnóstico como marcador urinario para el cáncer de próstata.

GLYATL1 (Figura 20): Los presentes datos del chip 1.0 ST de exón humano GeneChip® demostraron que GLYATL aumentó en los grupos LG PrCa, HG PrCa, CPRC y PrCa Met en comparación con NPr y BPH. Los experimentos de validación utilizando chips de baja densidad TaqMan® confirmaron esto. Por lo tanto, GLYATL tiene potencial de diagnóstico.

- La expresión de GLYATL1 en vejiga normal y PBL es indetectable a muy baja. Además, la expresión de GLYATL1 en sedimentos urinarios obtenidos de pacientes con PrCa es mayor en comparación con su expresión en sedimentos urinarios obtenidos de pacientes sin PrCa. Por lo tanto, GLYATL1 tiene potencial de diagnóstico como marcador urinario para el cáncer de próstata.
- MS4A8B (Figura 21): Los presentes datos del chip 1.0 ST de exón humano GeneChip® demostraron que MS4A8B aumentó en LG PrCa, HG PrCa, CPRC y PrCa Met (hasta 8,3 veces) en comparación con NPr y BPH. Los experimentos de validación usando chips de baja densidad TaqMan® confirmaron esto y demostraron un aumento incluso mayor en tejido de PrCa frente a tejido de NPr (hasta 119,8 veces). Por lo tanto, MS4A8B tiene potencial de diagnóstico.
- La expresión de MS4A8B en vejiga normal y PBL es indetectable. Además, la expresión de MS4A8B en sedimentos urinarios obtenidos de pacientes con PrCa es mayor en comparación con su expresión en sedimentos urinarios obtenidos de pacientes sin PrCa. Por lo tanto, MS4A8B tiene potencial de diagnóstico como marcador urinario para el cáncer de próstata.
 - NKAIN1 (figura 22): Los presentes datos del chip 1.0 ST de exón humano GeneChip® demostraron que NKAIN1 aumentó en LG PrCa, HG PrCa, CPRC y PrCa Met (hasta 4,6 veces) en comparación con NPr y BPH. Los experimentos de validación usando chips de baja densidad TaqMan® confirmaron esto y mostraron un aumento incluso mayor en tejido de PrCa frente a tejido NPr (hasta 61,4 veces). Por lo tanto, NKAIN1 tiene potencial de diagnóstico.
 - La expresión de NKAIN1 en vejiga normal y PBL es indetectable. Además, la expresión de NKAIN1 en sedimentos urinarios obtenidos de pacientes con PrCa es mayor (casi dos grupos independientes en el gráfico de caja) en comparación con su expresión en sedimentos urinarios obtenidos de pacientes sin PrCa. Por lo tanto, NKAIN1 tiene potencial de diagnóstico como marcador urinario para el cáncer de próstata.
 - PPFIA2 (Figura 23): Los presentes datos del chip 1.0 ST de exón humano GeneChip® demostraron que PPFIA2 aumentó en LG PrCa, HG PrCa, CPRC y PrCa Met en comparación con NPr y BPH. Este aumento fue mayor en PrCa Met.
- Los experimentos de validación utilizando chips de baja densidad TaqMan® confirmaron el aumento en estos grupos. Por lo tanto, PPFIA2 tiene potencial de diagnóstico
 - La expresión de PPFIA2 en vejiga normal y PBL es baja a indetectable. Además, la expresión de PPFIA2 en sedimentos urinarios obtenidos de pacientes con PrCa es mucho más alta (casi dos grupos independientes en el gráfico de caja) en comparación con su expresión en sedimentos urinarios obtenidos de pacientes sin PrCa. Por lo tanto, PPFIA2 tiene potencial de diagnóstico como marcador urinario para el cáncer de próstata.
 - PTPRT (Figura 24): Los presentes datos del chip 1.0 ST de exón humano GeneChip® demostraron que PTPRT aumentó (hasta 11,1 veces) en los grupos LG PrCa, HG PrCa, CPRC y PrCa Met en comparación con NPr y BPH. Los experimentos de validación utilizando chips de baja densidad TaqMan® confirmaron esto y mostraron un aumento incluso mayor en tejido de PrCa frente a tejido de NPr (hasta 55,1 veces). Por lo tanto, PTPRT tiene potencial de diagnóstico.

La expresión de PTPRT en vejiga normal y PBL es muy baja a indetectable. Además, la expresión de PTPRT en sedimentos urinarios obtenidos de pacientes con PrCa es mucho más alta (casi dos grupos independientes en el gráfico de caja) en comparación con su expresión en sedimentos urinarios obtenidos de pacientes sin PrCa. Por lo tanto, PTPRT tiene potencial de diagnóstico como marcador urinario para el cáncer de próstata.

- TDRD1 (Figura 25): Los presentes datos del chip 1.0 ST de exón humano GeneChip® demostraron que TDRD1 se aumentó (hasta 12,6 veces) en los grupos LG PrCa, HG PrCa, CPRC y PrCa Met en comparación con NPr y BPH. Los experimentos de validación utilizando chips de baja densidad TaqMan® confirmaron esto y mostraron un aumento incluso mayor en tejido de PrCa frente a tejido de NPr (hasta 184,1 veces), especialmente en el grupo de LG PrCa. Por lo tanto, TDRD1 tiene potencial de diagnóstico.
- La expresión de TDRD1 en la vejiga normal es muy baja. Además, la expresión de TDRD1 en sedimentos urinarios obtenidos de pacientes con PrCa es mucho más alta (dos grupos independientes en el gráfico de caja) en comparación con su expresión en sedimentos urinarios obtenidos de pacientes sin PrCa. Por lo tanto, TDRD1 tiene potencial de diagnóstico como marcador urinario para el cáncer de próstata.
- UGT2B15 (Figura 26): Los presentes datos del chip 1.0 ST de exón humano GeneChip® demostraron que UGT2B15 aumentó (hasta 5,2 veces) en los grupos LG PrCa, HG PrCa, CPRC y PrCa Met en comparación con NPr y BPH. Los experimentos de validación usando chips de baja densidad TaqMan® confirmaron esto y mostraron un aumento incluso mayor en tejido de PrCa frente a tejido de NPr (hasta 224,4 veces). La expresión de UGT2B15 en la vejiga normal es muy baja. Además, la expresión de UGT2B15 en sedimentos obtenidos de pacientes con PrCa es mayor en comparación con su expresión en sedimentos urinarios obtenidos de pacientes sin PrCa. Por lo tanto, UGT2B15 tiene potencial de diagnóstico como marcador urinario para el cáncer de próstata.

Dado que UGT2B15 aumenta mucho en pacientes con CPRC, es un marcador adecuado para controlar a los pacientes sometidos a terapia hormonal para su cáncer de próstata localmente avanzado. Por lo tanto, UGT2B15 también tiene valor pronóstico.

Ejemplo 2

40

45

50

- Para identificar marcadores de cáncer de próstata agresivo, se utilizó el perfil de expresión génica (chip 1.0 ST de exón humano GeneChip®, Affymetrix) de muestras de pacientes con cáncer de próstata en las siguientes categorías:
 - LG: PrCa de bajo grado (puntuación de Gleason igual o inferior a 6). Este grupo representa pacientes con buen pronóstico;
- HG: PrCa de alto grado (puntuación de Gleason de 7 o más). Este grupo representa pacientes con mal pronóstico; tipo de muestra, ARNm de tumor primario;
 - PrCa Met. Este grupo representa pacientes con mal pronóstico; tipo de muestra; ARNm de metástasis de PrCa;
- CPRC: cáncer de próstata resistente a la castración; ARNm de material de tumor primario de pacientes que son progresivos bajo terapia endocrina. Este grupo representa pacientes con enfermedad localizada agresiva.

El análisis de expresión se realiza según protocolos habituales. Brevemente, en pacientes con cáncer de próstata (que pertenecen a una de las cuatro categorías mencionadas anteriormente) se obtuvo tejido tras una prostatectomía radical o RTUP. Los tejidos se congelaron rápidamente y las secciones de criostato se tiñeron con H.E. para su clasificación por un patólogo.

Se disecaron las áreas tumorales y se extrajo el ARN completo con TRIzol (Invitrogen, Carlsbad, CA., EE. UU.) siguiendo las instrucciones del fabricante. El ARN completo se purificó con el mini kit RNeasy de Qiagen (Qiagen, Valencia, CA., EE.UU.). La totalidad del ARN se comprobó por electroforesis usando el Agilent 2100 Bioanalyzer.

Del ARN total purificado, se usó 1 µg para el GeneChip WholeTranscript (WT) Sense Target Labeling Assay (Affymetrix, Santa Clara, CA., EE. UU.). Según el protocolo de este ensayo, la mayoría del ARN ribosómico se eliminó usando un RiboMinus Human/Mouse Transcriptome Isolation Kit (Invitrogen, Carlsbad, CA., EE. UU.). Utilizando un hexámero aleatorio que incorpora un activador T7, se sintetizó ADNc bicatenario. A continuación, se generó ARNc a partir de la plantilla de ADNc bicatenario mediante una reacción de transcripción *in vitro* y se purificó usando el módulo de limpieza de muestras Affymetrix. El ADNc monocatenario se regeneró a través de una transcripción inversa cebada aleatoriamente usando una mezcla de dNTP que contenía dUTP. El ARN se hidrolizó con ribonucleasa H y el ADNc se purificó. El ADNc se fragmentó a continuación mediante incubación con una mezcla de endonucleasas de restricción UDG (uracil ADN glucosilasa) y APE1 (endonucleasa 1 apurinica/apirimidínica) y, por último, se marcó en el extremo mediante una reacción de transferasa terminal que incorpora un didesoxinucleótido biotinilado.

Se añadieron 5,5 μg del ADNc biotinilado fragmentado a una mezcla de hibridación, se cargaron en un GeneChip ST del exón 1.0 humano y se hibridaron durante 16 horas a 45°C y 60 rpm.

Usando el chip 1.0 ST de exón humano GeneChip® (Affymetrix), los genes se miden indirectamente mediante el análisis de exones cuyas mediciones se pueden combinar en mediciones de grupos de transcripción. Hay más de 300.000 grupos de transcripción en el chip, de los cuales 90.000 contienen más de un exón. De estos 90.000, hay más de 17.000 genes de alta confianza (CORE) que se usan en el análisis predeterminado. En total, hay más de 5,5 millones de funciones por chip.

Después de la hibridación, el chip se lavó y se tiñó según el protocolo de Affymetrix. El chip teñido se escaneó a 532 nm utilizando un Affymetrix GeneChip Scanner 3000, generando archivos CEL para cada chip.

- Los valores de expresión en el exón procedían de las intensidades de hibridación en la sonda de archivo CEL utilizando el algoritmo RMA basado en modelo tal como se ejecutó en el programa informático Affymetrix Expression Console™. RMA (Robust Multiarray Average) realiza la normalización, la corrección de fondo y el resumen de datos. Los genes expresados de forma diferencial entre las condiciones se calculan utilizando Anova (ANalysis Of Variance), una prueba de la T para más de dos grupos.
- La identificación de la diana es parcial ya que se analizaron grupos de riesgo clínicamente bien definidos. Los marcadores se clasifican según su función en la biología del cáncer. Para la identificación de marcadores, el grupo PrCa Met se compara con 'HG' y 'LG'.

En base al análisis de expresión obtenido, se identificaron biomarcadores basados en 30 tumores; los perfiles de expresión de los biomarcadores se proporcionan en la tabla 4.

20 Tabla 4: Características de la expresión de 7 dianas que caracterizan el fenotipo metastásico agresivo del cáncer de próstata basado en el análisis de 30 muestras muy conocidas

Nombre del gen	Asignación del gen	Expresión en PrCa Met	Met-LG	Fila	Met-HG	Fila	Met-CPRC
PTPR	NM_003625	Aumento	15,89	4	8,28	4	11,63
EPHA6	NM_001080448	Aumento	15,35	5	9,25	2	8,00
Placofilina 1	NM_000299	Aumento	5,28	28	4,92	8	5,46
HOXC6	NM_004503	Aumento	5,35	27	3,34	43	3,51
HOXD3	NM_006898	Aumento	1,97	620	2,16	238	1,40
sFPR2	NM_003013	Disminución	-6,06	102	-13,93	15	-3,53
HOXD10	NM_002148	Disminución	-3,71	276	-3,89	238	-5,28

Ejemplo 3

25

5

El protocolo del ejemplo 1 se repitió en un grupo de 70 muestras. Los resultados obtenidos se presentan en la tabla 5.

Tabla 5: Características de expresión de 7 dianas validadas en el grupo de 70 tumores

Nombre del gen	Asignación del gen	Expresión en PrCa Met	Met-LG	Fila	Met-HG	Fila	Met-CPRC	Fila
PTPR	NM_003625	Aumento	6,92	1	2,97	11	3,66	2
EPHA6	NM_001080448	Aumento	4,35	4	3,97	3	3,18	3
Placofilina 1	NM_000299	Aumento	3,18	12	4,00	2	4,11	5
HOXC6	NM_004503	Aumento	1,77	271	1,75	208	1,44	6
HOXD3	NM_006898	Aumento	1,62	502	1,66	292	1,24	7
sFPR2	NM_003013	Disminución	-6,28	46	-10,20	10	-5,86	1
HOXD10	NM_002148	Disminución	-2,48	364	-2,55	327	-2,46	4

Como puede verse claramente en las tablas 4 y 5, un aumento de la expresión de PTPR, EPHA6, Placofilina 1, HOXC6 (Figura 27) y HOXD3 se asoció al cáncer de próstata. Además, como puede verse claramente en las tablas 4 y 5, una disminución de la expresión de sFRP2 (Figura 28) y HOXD10 (Figura 29) se asoció al cáncer de próstata.

Teniendo en cuenta los resultados anteriores obtenidos en 70 muestras tumorales, los datos de expresión demuestran claramente la idoneidad de estos genes como marcador biológico o molecular para el diagnóstico de cáncer de próstata.

Ejemplo 4

5

10

Usando el perfil de expresión génica (chip 1.0 ST de exón humano GeneChip®, Affymetrix) en 70 cánceres de próstata, se descubrió que varios genes se expresaban de forma diferencial en cáncer de próstata de bajo grado y alto en comparación con la metástasis de cáncer de próstata y cáncer de próstata resistente a la castración (CPRC). Junto con varios otros en los genes expresados de forma diferencial chip 1.0 ST de exón humano GeneChip®, los niveles de expresión de estos genes se validaron usando los chips TaqMan® de baja densidad (TLDA, Applied Biosystems). En la tabla 6 se muestra una visión general de los genes validados.

Tabla 6: Ensayos de expresión génica utilizados para el análisis TLDA

Símbolo	Descripción del gen	Número de ingreso	Tamaño del amplicón
AMACR	alfa-metilacil-CoA racemasa	NM_014324	97-141
B2M	beta-2-microglobulina	NM_004048	64-81
CYP4F8	citocromo P450, familia 4, subfamilia F	NM_007253	107
CDH1	E-Cadherina	NM_004360	61-80
EPHA6	receptor A6 de efrina	NM_001080448	95
ERG	homólogo del oncogén del virus E26 de eritroblastosis v-ets	NM_004449	60-63
ETV1	variante 1 de ets	NM_004956	74-75
ETV4	variante 4 de ets	NM_001986	95
ETV5	variante 5 de ets	NM_004454	70
FASN	ácido graso sintasa	NM_004104	144
FOXD1	forkhead box D1	NM_004472	59
HOXC6	homeosecuencia C6	NM_004503	87
HOXD3	homeosecuencia D3	NM_006898	70
HOXD10	homeosecuencia D10	NM_002148	61
HPRT	hipoxantina fosforribosiltransferasa 1	NM_000194	72-100
HSD17B6	homólogo 6 de hidroxiesteroide (17-beta) deshidrogenasa	NM_003725	84
CDH2	N-cadherina (neuronal)	NM_001792	78-96
CDH11	OB-cadherina (osteoblasto)	NM_001797	63-96
PCA3	gen 3 del cáncer de próstata	AF103907	80-103
PKP1	Placofilina 1	NM_000299	71-86
KLK3	antígeno específico de la próstata	NM_001030047	64-83
PTPR	proteína tirosina fosfatasa. Tipo receptor, polipéptido f	NM_003625	66
RET	proto-oncogén ret	NM_020975	90-97

RORB	receptor B sin interés comercial relacionado con RAR	NM_006914	66
RRM2	ribonucleótido reductasa M2	NM_001034	79
SFRP2	proteína 2 relacionada con la rizada segregada	NM_003013	129
SGP28	proteína granular específica (28 kDa)/proteína 3 secretora rica en cisteína CRISP3	NM_006061	111
SNAI2	homólogo 2 de caracol SNAI2	NM_003068	79-86
SNAI1	homólogo 1 de caracol SNAI1	NM_005985	66
SPINK1	inhibidor de serina peptidasa, Kazal tipo 1	NM_003122	85
TGM4	transglutaminasa 4 (próstata)	NM_003241	87-97
TMPRSS2	serina proteasa 2 de transmembrana	NM_005656	112
TWIST	homólogo 1 de twist	NM_000474	115

Se usaron muestras de cáncer de próstata en las siguientes categorías:

5

20

25

30

- Cáncer de próstata de bajo grado (LG): muestras de tejido de tumores primarios con una puntuación de Gleason ≤ 6 obtenidas después de una prostatectomía radical. Este grupo representa pacientes con un buen pronóstico.
- Cáncer de próstata de alto grado (HG): muestras de tejido de tumores primarios con una puntuación de Gleason ≥7 obtenida después de una prostatectomía radical. Este grupo representa pacientes con mal pronóstico.
- Metástasis del cáncer de próstata: las muestras de tejido se obtienen a partir de linfonodos positivos después de LND o después de autopsia. Este grupo representa a pacientes con mal pronóstico
 - Cáncer de próstata resistente a la castración (CPRC): las muestras de tejido se obtienen de pacientes que son progresivos bajo terapia endocrina y que se sometieron a una resección transuretral de la próstata (RTUP).
- Todas las muestras de tejido se congelaron rápidamente y las secciones de criostato se tiñeron con hematoxilina y eosina (H.E.). Estas secciones teñidas con H.E. fueron clasificadas por un patólogo.

Se disecaron las áreas tumorales. Se extrajo ARN de secciones en serie de 10 µm de espesor que se recogieron de cada muestra de tejido en varios niveles. El tejido se evaluó por tinción con HE de secciones en cada nivel y se verificó al microscopio. El ARN completo se extrajo con TRIzol® (Invitrogen, Carlsbad, CA., EE. UU.) según las instrucciones del fabricante. El ARN total se purificó usando el RNeasy mini kit (Qiagen, Valencia, CA., EE.UU.). La cantidad y calidad de ARN se evaluaron en un espectrofotómetro NanoDrop 1000 (NanoDrop Technologies, Wilmington, DE., EE. UU.) y en un Bioanalizador Agilent 2100 (Agilent Technologies Inc., Santa Clara, CA., EE. UU.)

Se transcribieron de forma inversa 2 µg de ARN completo tratado con desoxirribonucleasa usando transcriptasa inversa SuperScript™ II (Invitrogen) en una reacción de 37, 5 µl según el protocolo del fabricante. Las reacciones se incubaron durante 10 minutos a 25°C, 60 minutos a 42°C y 15 minutos a 70°C. Se añadieron 62,5 µl de milliQ al ADNc.

Se midieron los niveles de expresión génica usando los chips de baja densidad TaqMan® (TLDA; Applied Biosystems). En la Tabla 5 se proporciona una lista de los ensayos utilizados en este estudio. Se añaden 3 µl de cada uno de los ADNc a 50 µl de Taqman® Universal Probe Master Mix (Applied Biosystems) y 47 µl de milliQ. Se cargaron 100 µl de cada muestra en un depósito de muestra de un TaqMan® Array (tarjeta microfluida de 384 pocillos) (Applied Biosystems). El TaqMan® Array se centrifugó dos veces durante 1 minuto a 280 g y se selló para evitar la contaminación pozo a pozo. Las tarjetas se colocaron en el bloque de muestra de tarjeta de microfluido de un PCR 7900 HT Real-Time PCR System (Applied Biosystems). Las condiciones del ciclo térmico fueron: 2 minutos a 50°C, 10 minutos a 94,5°C, seguido de 40 ciclos durante 30 segundos a 97°C y 1 minuto a 59,7°C.

Los datos brutos se registraron con el programa informático Sequence detection System (SDS) de los instrumentos. Las Micro Fluidic Cards se analizaron con documentos RQ y el RQ Manager Software para el análisis automático de datos. Los valores del umbral del ciclo delta (Ct) se determinaron como la diferencia entre el Ct de cada gen de

prueba y el Ct de la hipoxantina fosforribosiltransferasa 1 (HPRT) (gen de referencia endógeno). Además, los valores de expresión génica se calcularon en base al método del ciclo de umbral comparativo (Ct), en el que una muestra de ARN de próstata normal se designó como calibrador con el que se compararon las demás muestras.

- Para la validación de los genes expresados diferencialmente encontrados por chip 1.0 ST de exón humano GeneChip®, se utilizaron 70 muestras de cáncer de próstata en los chips de baja densidad TaqMan® (TLDA). En estos TLDA, se determinaron los niveles de expresión para los 33 genes de interés. Las muestras de cáncer de próstata se ordenaron a partir de las bajas puntuaciones de Gleason, altas puntuaciones de Gleason, CPRC y por último la metástasis de cáncer de próstata. Tanto el chip 1.0 ST de exón humano GeneChip® como los datos TLDA se analizaron usando diagramas de dispersión y de caja.
- En una primera aproximación, se realizaron diagramas de dispersión en los que las muestras se ordenaron a partir de bajas puntuaciones de Gleason, altas puntuaciones de Gleason, CPRC y por último metástasis de cáncer de próstata. En una segunda aproximación, se incluyeron los datos de seguimiento clínico. Las muestras se clasificaron en seis grupos: pacientes con cáncer de próstata con tratamiento curativo, pacientes con recaída bioquímica lenta (después de 5 años o más), pacientes con recaída bioquímica rápida (dentro de 3 años), pacientes que evolucionaron, pacientes con CPRC y por último pacientes con metástasis de cáncer de próstata. Después del análisis de los diagramas de dispersión y de caja utilizando ambas aproximaciones, se obtuvo una lista de genes indicativos indicativos para cáncer de próstata y el pronóstico de los mismos (tabla 7, figuras 34-40).

Tabla 7: L	Lista de genes	s identificados
------------	----------------	-----------------

5

35

40

Símbolo	Descripción del gen	Número de ingreso	Tamaño del amplicón
HOXC6	homeosecuencia C6	NM_004503	87
SFRP2	proteína 2 relacionada con la rizada segregada	NM_003013	129
HOXD10	homeosecuencia D10	NM_002148	61
RORB	receptor B sin interés comercial relacionado con RAR	NM_006914	66
RRM2	ribonucleótido reductasa M2	NM_001034	79
TGM4	transglutaminasa 4 (próstata)	NM_003241	87-97
SNAI2	homólogo 2 de caracol SNAI2	NM_003068	79-86

- HOXC6 (Figura 34): Los presentes datos del chip 1.0 ST de exón humano GeneChip® mostraron que HOXC6 aumentó en las metástasis de cáncer de próstata en comparación con los cánceres de próstata primarios de alto y bajo grado. Los experimentos de validación utilizando chips de baja densidad TaqMan® confirmaron este aumento. Además, se encontró que HOXC6 había aumentado en los cuatro grupos de cáncer de próstata en comparación con la próstata normal. Por lo tanto, HOXC6 tiene potencial de diagnóstico.
- Utilizando datos de seguimiento clínico, se observó que todos los pacientes con enfermedad progresiva y 50% de pacientes con recurrencia bioquímica dentro de los 3 años posteriores al tratamiento inicial tenían un aumento mayor de la expresión de HOXC6 en comparación con los pacientes con recidiva bioquímica después de 5 años y pacientes con tratamiento curativo. Los pacientes con recidiva bioquímica dentro de los 3 años posteriores al tratamiento inicial que tenían una expresión de HOXC6 mayor también tenían un peor pronóstico en comparación con los pacientes con una expresión de HOXC6 más baja. Por lo tanto, la expresión de HOXC6 se correlaciona con la evolución del cáncer de próstata.
 - SFRP2 (figura 35): Los presentes datos del chip 1.0 ST de exón humano GeneChip® demostraron que SFPR2 aumentaba en las metástasis de cáncer de próstata en comparación con los cánceres de próstata primarios de alto y bajo grado. Los experimentos de validación utilizando chips de baja densidad TaqMan® confirmaron disminución. Además, se encontró que SFRP2 disminuye en los cuatro grupos de cáncer de próstata en comparación con la próstata normal. Por lo tanto, SFRP2 tiene potencial de diagnóstico.

Utilizando datos de seguimiento clínico, se observaron diferencias en la expresión de SFRP2 entre los pacientes con tratamiento curativo, recaída bioquímica después del tratamiento inicial y enfermedad progresiva. Más del 50% de las metástasis mostraron una gran disminución de SFRP2. Además, también unos pocos pacientes con CRPC mostraron una expresión de SFRP2 muy baja. Por lo tanto, SFRP2 puede usarse para la detección de pacientes con progresión bajo terapia endocrina (CRPC) y pacientes con metástasis de cáncer de próstata. Por lo tanto se sugiere que, en combinación con un marcador que aumenta en metástasis, se podría utilizar una relación de ese marcador y SFRP2 para la detección de células tumorales circulantes.

HOXD10 (figura 36): Los presentes datos del chip 1.0 ST de exón humano GeneChip® demostraron que HOXD10 disminuía en metástasis de cáncer de próstata en comparación con los cánceres de próstata primarios de alto y bajo grado. Los experimentos de validación utilizando chips de baja densidad TaqMan® confirmaron esta disminución. Además, se encontró que HOXD10 disminuía en los cuatro grupos de cáncer de próstata en comparación con la próstata normal. Por lo tanto, HOXD10 tiene potencial de diagnóstico.

5

10

15

20

25

Utilizando datos de seguimiento clínico, se observaron diferencias en la expresión de HOXD10 entre los pacientes con tratamiento curativo, recaída bioquímica después del tratamiento inicial y enfermedad progresiva. Todas las metástasis mostraron una gran disminución de HOXD10. Además, también algunos pacientes con CRPC presentaban una baja expresión de HOXD10. Por lo tanto, HOXD10 puede utilizarse para la detección de pacientes con evolución bajo terapia endocrina (CRPC) y pacientes con metástasis de cáncer de próstata.

RORB (Figura 37): Los datos actuales del chip 1.0 ST de exón humano GeneChip® demostraron que RORB había aumentado en metástasis de cáncer de próstata y CRPC en comparación con cánceres de próstata primarios de alto y bajo grado. Los experimentos de validación utilizando chips de baja densidad TaqMan® confirmaron este aumento. Además, se encontró que RORB disminuye en todos los cánceres de próstata de bajo y alto grado en comparación con la próstata normal. En CRPC y metástasis, RORB se reexpresa en próstata normal. Por lo tanto, RORB tiene potencial de diagnóstico.

Utilizando datos de seguimiento clínico, se observaron diferencias en la expresión de RORB entre los pacientes con tratamiento curativo, recaída bioquímica después del tratamiento inicial y enfermedad progresiva. Sin embargo, en una serie de casos en el CRPC y metástasis, el aumento de RORB coincide con una disminución de SFRP2. Utilizando una proporción de RORB sobre SFRP2 podría detectarse el 75% de las metástasis del cáncer de próstata. Además, varios pacientes con CRPC tenían una alta relación RORB/SFRP2. Por lo tanto, esta relación se puede usar en la detección de pacientes con células tumorales circulantes y pacientes progresivos con CRPC.

RRM2 (figura 38): los experimentos utilizando chips de baja densidad TaqMan® presentaban un aumento de RRM2 en los cuatro grupos de cáncer de próstata en comparación con la próstata normal. Por lo tanto, RRM2 tiene potencial de diagnóstico. Además, la expresión de RRM2 es mayor en CRPC y metástasis demostrando que puede estar involucrado en el potencial invasivo y metastásico de las células de cáncer de próstata. Por lo tanto, RRM2 se puede usar para la detección de células tumorales de próstata circulantes.

Utilizando datos de seguimiento clínico, se observaron diferencias en la expresión de RRM2 entre los pacientes con tratamiento curativo, recaída bioquímica después del tratamiento inicial y enfermedad progresiva.

- TGM4 (figura 39): Los presentes datos de chip 1.0 ST de exón humano GeneChip® demostraron que TGM4 había disminuido en metástasis de cáncer de próstata en comparación con los cánceres de próstata primarios de alto y bajo grado. Los experimentos de validación utilizando matrices de baja densidad TaqMan® confirmaron esta disminución. Además, se encontró que TGM4 había disminuido mucho en los cuatro grupos de cáncer de próstata en comparación con la próstata normal. Por lo tanto, TGM4 tiene potencial de diagnóstico.
- Utilizando datos de seguimiento clínico, se observó que los pacientes con enfermedad progresiva presentaban una disminución mayor de TGM4 (subgrupo de pacientes) en comparación con los pacientes con tratamiento curativo y recaída bioquímica después del tratamiento inicial. En metástasis, la expresión de TGM4 ha disminuido completamente. Por lo tanto, TGM4 tiene potencial de pronóstico.
- SNAI2 (figura 40): Los presentes datos del chip 1.0 ST de exón humano GeneChip® demostraron que SNAI2 había disminuido en metástasis de cáncer de próstata en comparación con cánceres de próstata primarios de alto y bajo grado. Los experimentos de validación utilizando matrices de baja densidad TaqMan® confirmaron esta disminución. Además, se encontró que SNAI2 disminuye en los cuatro grupos de cáncer de próstata en comparación con la próstata normal. Por lo tanto, SNAI2 tiene potencial de diagnóstico.
- Utilizando datos de seguimiento clínico, se observaron diferencias en la expresión de SNAI2 entre los pacientes con tratamiento curativo, recaída bioquímica después del tratamiento inicial y enfermedad progresiva.

REIVINDICACIONES

- 1. Método para el diagnóstico *in vitro* del cáncer de próstata PrCa de alto grado (HG PrCa), PrCa Met y CPRC en un individuo humano que comprende:
 - determinar la expresión de DLX1; y
- establecer el aumento o la disminución de la expresión de DLX1 en comparación con la expresión de DLX1 en una muestra de un individuo sin cáncer de próstata;
 - proporcionando de ese modo dicho diagnóstico *in vitro* del cáncer de próstata PrCa de alto grado (HG PrCa), PrCa Met y CPRC.
- 2. Método según la reivindicación 1, en donde la determinación de dicha expresión comprende determinar la expresión del ARNm.
 - 3. Utilización de la expresión de DLX1 para el diagnóstico *in vitro* del cáncer de próstata PrCa de alto grado (HG PrCa), PrCa Met y CPRC, preferiblemente CPRC.

ACSM1 NM 052956.2 → NP 443188.2 acil-coenzima A sintetasa ACSM1. mitocondrial

```
1 agccatctet teccaaggea ggtggtgact tgagaactet gtgeetggtt tetgaggaet
  61 gtttcaccat gcagtggcta atgaggttcc ggaccctctg gggcatccac aaatccttcc
 121 acaacatcca ccctgcccct tcacagctgc gctgccggtc tttatcagaa tttggagccc
 181 caagatggaa tgactatgaa gtaccggagg aatttaactt tgcaagttat gtactggact
 241 actgggctca aaaggagaag gagggcaaga gaggtccaaa tccagctttt tggtgggtga
 301 atggccaagg ggatgaagta aagtggagct tcagagagat gggagaccta acccgccgtg
 361 tagccaacgt cttcacacag acctgtggcc tacaacaggg agaccatctg gccttgatgc
 421 tgcctcgagt tcctgagtgg tggctggtgg ctgtgggctg catgcgaaca gggatcatct
 481 toattootgo gaccatootg ttgaaggooa aagacattot otatogacta cagttgtota
 541 aagecaaggg cattgtgace atagatgeee ttgeetcaga ggtggactee atagettete
 601 agtgcccctc tctgaaaacc aagctcctgg tgtctgatca cagccgtgaa gggtggctgg
 661 acttccgatc gctggttaaa tcagcatccc cagaacacac ctgtgttaag tcaaagacct
721 tggacccaat ggtcatcttc ttcaccagtg ggaccacagg cttccccaag atggcaaaac
781 actoccatgg gttggcctta caaccotcct tcccaggaag taggaaatta cggagcctga
841 agacatetga tgteteetgg tgeetgtegg acteaggatg gattgtgget accatttgga
901 ccctggtaga accatggaca gcgggttgta cagtctttat ccaccatctg ccacagtttg
 961 acaccaaggt catcatacag acattgttga aataccccat taaccacttt tggggggtat
1021 catctatata tegaatgatt etgeageagg attteaceag cateaggtte cetgecetgg
1081 agcactgcta tactggcggg gaggtcgtgt tgcccaagga tcaggaggag tggaaaagac
1141 ggacgggcct tetgetetac gagaactatg ggcagtegga aaegggacta atttgtgcca
1201 octactgggg aatgaagate aageegggtt teatggggaa ggecacteea ceetaegaeg
1261 tecaggicat tgatgacaag ggeageatee tgeeaectaa cacagaagga aacattggea
1321 teagaateaa acetgteagg eetgtgagee tetteatgtg etatgagggt gaeceagaga
1381 agacagctaa agtggaatgt ggggacttct acaacactgg ggacagaggt aagatggatg
1441 aaqaqqqcta catttqtttc ctqqqqaqqa qtqatqacat cattaatqcc tctqqqtatc
1501 gcatcgggcc tgcagaggtt gaaagcgctt tggtggagca cccagcggtg gcggagtcag
1561 ccgtggtggg cagcccagac ccgattcgag gggaggtggt gaaggccttt attgtcctga
1621 ccccacagtt cctgtcccat gacaaggatc agctgaccaa ggaactgcag cagcatgtca
1681 agtcagtgac agccccatac aagtacccaa ggaaggtgga gtttgtctca gagctgccaa
1741 aaaccatcac tggcaagatt gaacggaagg aacttcggaa aaaggagact ggtcagatgt
1801 aatcggcagt gaactcagaa cgcactgcac acctaaggca aatccctggc cactttagtc
1861 tececactat ggtgaggacg agggtgggge attgagagtg ttgatttggg aaagtateag
1981 caagteetet gtatetttag aattteecag gtgageaete ataaegeaag taataaaata
2041 ctgatatcaa c
```

MQWLMRFRTLWGIHKSFHNIHPAPSQLRCRSLSEFGAPRWNDYEVPEEFNFASYVLDYWAQKEKEGKRGPN PAFWWVNGQGDEVKWSFREMGDLTRRVANVFTQTCGLQQGDHLALMLPRVPEWWLVAVGCMRTGIIFIPAT ILLKAKDILYRLQLSKAKGIVTIDALASEVDSIASQCPSLKTKLLVSDHSREGWLDFRSLVKSASPEHTCV KSKTLDPMVIFFTSGTTGFPKMAKHSHGLALQPSFPGSRKLRSLKTSDVSWCLSDSGWIVATIWTLVEPWT AGCTVFIHHLPQFDTKVIIQTLLKYPINHFWGVSSIYRMILQQDFTSIRFPALEHCYTGGEVVLPKDQEEW KRRTGLLLYENYGQSETGLICATYWGMKIKPGFMGKATPPYDVQVIDDKGSILPPNTEGNIGIRIKPVRPV SLFMCYEGDPEKTAKVECGDFYNTGDRGKMDEEGYICFLGRSDDIINASGYRIGPAEVESALVEHPAVAES AVVGSPDPIRGEVVKAFIVLTPQFLSHDKDQLTKELQQHVKSVTAPYKYPRKVEFVSELPKTITGKIERKE LRKKETGQM

ALDH3B2 NM 000695.3 → NP 000686.2 miembro B2 de la famila 3 de aldehido deshidrogenasa

```
1 accccattga ttaccccatt gccaggcgtg ggcacgggag ttggtttggg agctgccagt
  61 ctcctgggag gatcgcagtc agcagagcag ggctgaggcc tgggggtagg agcagagcct
 121 gcgcatctgg aggcagcatg tccaagaaag ggagtggagg tgcagcgaag gacccagggg
 181 cagageceae getgggatgg acceettega ggacaegetg eggeggetge gtgaggeett
 241 caactgaggg cgcacgcggc cggccgagtt ccgggctgcg cagctccagg gcctgggcca
 301 cttccttcaa gaaaacaagc agettctgcg cgacgtgctg gcccaggacc tgcataagcc
 361 agetttegag geagacatat etgageteat eetttgeeag aaegaggttg actaegetet
 421 caaqaacctg caqqcctgga tgaaggatga accacggtcc acgaacctgt tcatgaagct
 481 ggactcggtc ttcatctgga aggaaccctt tggcctggtc ctcatcatcg caccctggaa
 541 ctacccactg aacctgaccc tggtgctcct ggtgggcgcc ctcgccgcag ggagttgcgt
 601 ggtgctgaag ccgtcagaaa tcagccaggg cacagagaag gtcctggctg aggtgctgcc
 661 ccagtacctg gaccagaget getttgeegt ggtgetggge ggaccecagg agacagggea
 721 gctgctagag cacaagttgg actacatctt cttcacaggg agccctcgtg tgggcaagat
 781 tgtcatgact gctgccacca agcacctgac gcctgtcacc ctggagctgg ggggcaagaa
 841 cccctgctac gtggacgaca actgcgaccc ccagaccgtg gccaaccgcg tggcctggtt
 901 ctgctacttc aatgccggcc agacctgcgt ggcccctgac tacgtcctgt gcagccccga
 961 gatgcaggag aggctgctgc ccgccctgca gagcaccatc acccgtttct atggcgacga
1021 ecceeagage tecceaaace tgggeegeat cateaaceag aaacagttee ageggetgeg
1081 qqcattqctq qqctqcqqcc qcqtqqccat tqqqqqccaq aqcaacgaga gcgatcgcta
1141 categecece acqqtqctqq tqqacqtqca qqaqacqqaq cetqtqatqc aggaggagat
1201 cttcgggccc atcctgccca tcgtgaacgt gcagagggtg gacgaggcca tcaagttcat
1261 caaccggcag gagaagcccc tggccctgta cgccttctcc aacagcagcc aggttgtgaa
1321 ccagatgctg gagcggacca gcagcggcag ctttggaggc aatgagggct tcacctacat
1381 atototgotg toogtgocat togggggagt oggcoacagt gggatgggoo ggtaccacgg
1441 caagttcacc ttcgacacct tctcccacca ccgcacctgc ctgctcgccc cctccggcct
1501 ggagaaatta aaggagatcc actacccacc ctataccgac tggaaccagc agctgttacg
1561 ctggggcatg ggctcccaga gctgcaccct cctgtgagcg tcccacccgc ctccaacggg
1621 tcacacagag aaacctgagt ctagccatga ggggcttatg ctcccaactc acattgttcc
1681 tocaqaceqe aggttecece agecteaggt tgetggaget gteacatgae tgeateetge
1741 ctgccagggc tgcaaagcaa ggtcttgctt ctatctgggg gacgctgctc gagagaggcc
1801 aagaggcege agaacatgee aggtgteete acteacceca ceetecceaa ttecagecet
1861 ttgccctctc ggtcagggtt ggccaggccc agtcacaggg gcagtgtcac cctggaaaat
1921 acagtgeect geettettag gggeateage eetgaaeggt tgagagegtg gageecteea
1981 ggcctttgct ctcccctcta ggcacacgcg cacttccatc tctgccccat cccaactgca
2041 ccaqcactgc ctcccccagg gatcctctca catcccacac tggtctctgc accacccctc
2101 tggttcacac cgcaccctgc actcacccac agcagctcca tccactggga aaactggggt
2161 ttgcatcact ccactgcaca gtgttagtgg gacctggggg caagtccctt gacttctctg
2221 agcctcagtt tccttatgtg aaagttgctg gaaccaaaat ggagtcactt atgccaaact
2281 ctaataaaat ggaqtcgggg ggccacatag aagccctcac acacacatgc ccgtaacagg
2341 atttatcaca agacacgcct gcatgtagac cagacacagg gcgtatggaa agcacgtcct
2401 caagactgta gtattccaga tgagctgcag atgcttacct accaeggceg tctccaccag
2461 aaaaccatcg ccaactcctg cgatcagctt gtgacttaca aaccttgttt aaaagctgct
2521 tacatggact tetgteettt aaaagettee eettggetgt ggeeetetgt gtatgeetgg
2581 gatccttcca agcactcata gcccagatag gaatcctctg ctcctcccaa ataaattcat
2641 ctgttctgga aaaaaaaaaa
```

MKDEPRSTNLFMKLDSVFIWKEPFGLVLIIAPWNYPLNLTLVLLVGALAAGSCVVLKPSEISQGTEKVLAE VLPQYLDQSCFAVVLGGPQETGQLLEHKLDYIFFTGSPRVGKIVMTAATKHLTPVTLELGGKNPCYVDDNC DPQTVANRVAWFCYFNAGQTCVAPDYVLCSPEMQERLLPALQSTITRFYGDDPQSSPNLGRIINQKQFQRL RALLGCGRVAIGGQSNESDRYIAPTVLVDVQETEPVMQEEIFGPILPIVNVQSVDEAIKFINRQEKPLALY AFSNSSQVVNQMLERTSSGSFGGNEGFTYISLLSVPFGGVGHSGMGRYHGKFTFDTFSHHRTCLLAPSGLE KLKEIHYPPYTDWNQQLLRWGMGSQSCTLL

CGREF1 NM 006569.5 → NP 006560.3 regulador de crecimiento celular con isoforma a de proteína 1 del dominio mano EF

```
1 cacacqcqca cactcacacq qqcqcqcqca gcccctccqq ccqcqgggcgc agcgggggcg
  121 actctgcccg gccagggcgg cggctccagc cgggagggcg acgtggagcg gccacgtgga
 181 geggeeeggg ggaggetgge ggegggagge gaggegeggg eggegeagea geeaggageg
 241 cccacggage tggaccccca gageegegeg gegeegeage agttecagga aggatgttae
 301 etttgacgat gacagtgtta atcetgetge tgeteeceae gggteagget geeceaaagg
 361 atggagteae aaggeeagae tetgaagtge ageateaget eetgeeeaae eeetteeage
 421 caggecagga geagetegga ettetgeaga getaeetaaa gggaetagga aggaeagaag
 481 tgcaactgga gcatctgagc cgggagcagg ttctcctcta cctctttgcc ctccatgact
 541 atgaccagag tggacagctg gatggcctgg agctgctgtc catgttgaca gctgctctgg
 601 cccctqqaqc tqccaactct cctaccacca acccqqtqat cttqataqtq gacaaagtqc
 661 togagaccca qgacctgaat ggggatgggc tcatgacccc tgctgagctc atcaacttcc
721 cgggagtagc cctcaggcac gtggagcccg gagagcccct tgctccatct cctcaggagc
781 cacaagctgt tggaaggcag teectattag etaaaageee attaagacaa gaaacacagg
841 aagcccctgg tcccagagaa gaagcaaagg gccaggtaga ggccagaagg gagtctttgg
901 atcctqtcca qqaqcctqqq qqccagqcaq aqqctqatqq agatqttcca gggcccagaq
 961 gggaagetga gggecaggea gaggetaaag gagatgeeee tgggeccaga ggggaagetg
1021 qqqqccaqqc aqaqqctqaa qqaqatqccc ccqqqcccaq aqqqqaaqct gggggccagg
1081 cagaggetga aggagatgee eeegggeeea gaggggaage tgggggeeag geagaggeea
1141 qqqagaatgg aqaqqaqqcc aaggaacttc caggggaaac actggagtct aagaacaccc
1201 aaaatgactt tgaggtgcac attgttcaag tggagaatga tgagatctag atcttgaaga
1261 tacaggtacc ccacqaagtc tcagtgccag aacataagcc ctgaagtggg caggggaaat
1321 gtacgetggg acaaggacca tetetgtgee ecetgeetgg teecagtagg tateaggtet
1381 ttctqtqcaq ctcaqqqaqa ccctaaqtta aqqqqcagat taccaataaa gaactgaatg
1441 aattcatccc cccggccacc tctctacccg tccagcctgc ccagaccctc tcagaggaac
1501 ggggttgggg accgaaagga cagggatgcc gcctgcccag tgtttctggg cctcacggtg
1561 ctccqqcaqc aqaqcqcatq qtqctaqcca tqqccqqctq caqaqqaccc agtgaggaaa
1621 geteagteta tecetgggee ecaaaceete aceggtteee eeteacetgg tgtteagaca
1681 ecceatgete tectgeaget cagggeaggt gaccecatee ceagtaatat taateateac
1741 tagaactttt tgagagcctt gtacacatca ggcatcatgc tgggcatttt atatatgatt
1801 ttatcctcac aataattctg tagccaagca gaattggttc catttgacag atgaagaaat
1861 tgaggcagat tgcgttaagt gctgtaccct aaggtgatat gcagctaatt aaatggcaga
1921 tttgaatcca aaaa
```

MLPLTMTVLILLLPTGQAAPKDGVTRPDSEVQHQLLPNPFQPGQEQLGLLQSYLKGLGRTEVQLEHLSRE QVLLYLFALHDYDQSGQLDGLELLSMLTAALAPGAANSPTTNPVILIVDKVLETQDLNGDGLMTPAELINF PGVALRHVEPGEPLAPSPQEPQAVGRQSLLAKSPLRQETQEAPGPREEAKGQVEARRESLDPVQEPGGQAE ADGDVPGPRGEAEGQAEAKGDAPGPRGEAGGQAEAEGDAPGPRGEAGGQAEAEGDAPGPRGEAGGQAEARE NGEEAKELPGETLESKNTQNDFEVHIVQVENDEI

COMP NM 000095.2 → NP 000086.2 precursor de la proteína de matriz oligomérica del cartílago

```
1 agaaagcgag cagccaccca gctccccqcc accgccatgg tccccgacac cgcctgcgtt
  61 cttctgctca ccctggctgc cctcggcgcg tccggacagg gccagagccc gttgggctca
 121 gacctgggcc cgcagatgct tcgggaactg caggaaacca acgcggcgct gcaggacgtg
 181 cqqqaqctqc tqcqqcaqca qqtcaqqqaq atcacqttcc tgaaaaaacac ggtgatggag
 241 tgtgacgcgt gcgggatgca gcagtcagta cgcaccggcc tacccagcgt gcggcccctg
 301 ctccactgcg cgcccggctt ctgcttcccc ggcgtggcct gcatccagac ggagagcggc
 361 gegegetgeg geceetgeee egegggette aegggeaaeg getegeaetg caeegaegte
 421 aacgagtgca acgcccaccc ctgcttcccc cgagtccgct gtatcaacac cagcccgggg
 481 ttccqctqcq aqqcttqccc qccqqqqtac aqcqqcccca cccaccaggg cgtggggctg
 541 getttegeea aggeeaacaa geaggtttge aeggaeatea aegagtgtga gaeegggeaa
 601 cataactgcg tececaacte egtgtgcate aacaceeggg geteetteca gtgeggeeeg
 661 tgccagccg gettegtggg cgaccaggcg teeggetgee ageggegege acagegette
 721 tgccccgacg gctcgcccag cgagtgccac gagcatgcag actgcgtcct agagcgcgat
 781 ggctcgcggt cgtgcgtgtg tgccgttggc tgggccggca acgggatcct ctgtggtcgc
 841 gacactgacc tagacggctt cccggacgag aagctgcgct gcccggagcg ccagtgccgt
 901 aaggacaact gcgtgactgt gcccaactca gggcaggagg atgtggaccg cgatggcatc
 961 ggagacgcct gcgatccgga tgccgacggg gacggggtcc ccaatgaaaa ggacaactgc
1021 ccqctqqtqc qqaacccaqa ccaqcqcaac acqqacqaqq acaagtgggg cgatgcgtgc
1081 gacaactgcc ggtcccagaa gaacgacgac caaaaggaca cagaccagga cggccggggc
1141 gatgcgtgcg acgacgacat cgacggcgac cggatccgca accaggccga caactgccct
1201 agggtaccca actcagacca gaaggacagt gatggcgatg gtatagggga tgcctgtgac
1261 aactgtcccc agaagagcaa cccggatcag gcggatgtgg accacgactt tgtgggagat
1321 gcttgtgaca gcgatcaaga ccaggatgga gacggacatc aggactctcg ggacaactgt
1381 cccacggtgc ctaacagtgc ccaggaggac tcagaccacg atggccaggg tgatgcctgc
1441 qacqacqacq acqacaatqa cggagtccct gacagtcggg acaactgccg cctggtgcct
1501 aaccccggcc aggaggacgc ggacagggac ggcgtgggcg acgtgtgcca ggacgacttt
1561 gatgcagaca aggtggtaga caagatcgac gtgtgtccgg agaacgctga agtcacgctc
1621 accgacttca gggccttcca gacagtcgtg ctggacccgg agggtgacgc gcagattgac
1681 cccaactggg tggtgctcaa ccagggaagg gagatcgtgc agacaatgaa cagcgaccca
1741 ggcctggctg tgggttacac tgccttcaat ggcgtggact tcgagggcac gttccatgtg
1801 aacacqqtca cqqatqacqa ctatqcqqqc ttcatctttq gctaccagga cagctccagc
1861 ttctacgtgg tcatgtggaa gcagatggag caaacgtatt ggcaggcgaa ccccttccgt
1921 gctgtggccg agcctggcat ccaactcaag gctgtgaagt cttccacagg ccccggggaa
1981 cagetgegga acgetetgtg geatacagga gacacagagt eccaggtgeg getgetgtgg
2041 aaggacccgc gaaacgtggg ttggaaggac aagaagtcct atcgttggtt cctgcagcac
2101 cggccccaag tgggctacat cagggtgcga ttctatgagg gccctgagct ggtggccgac
2161 agcaacgtgg tettggacae aaccatgegg ggtggeegee tgggggtett etgettetee
2221 caggagaaca tcatctgggc caacctgcgt taccgctgca atgacaccat cccagaggac
2281 tatgagaccc atcagctgcg gcaagcctag ggaccagggt gaggacccgc cggatgacag
2341 ccacceteae egeggetgga tgggggetet geacceagee ecaaggggtg geegteetga
2401 qqqqqaaqtq agaaqqqctc agagaggaca aaataaagtg tgtgtgcagg gaaaaaaaaa
2461 aaaaaaaaaa a
```

MVPDTACVLLLTLAALGASGQGQSPLGSDLGPQMLRELQETNAALQDVRELLRQQVREITFLKNTVMECD ACGMQQSVRTGLPSVRPLLHCAPGFCFPGVACIQTESGARCGPCPAGFTGNGSHCTDVNECNAHPCFPRVR CINTSPGFRCEACPPGYSGPTHQGVGLAFAKANKQVCTDINECETGQHNCVPNSVCINTRGSFQCGPCQPG FVGDQASGCQRRAQRFCPDGSPSECHEHADCVLERDGSRSCVCAVGWAGNGILCGRDTDLDGFPDEKLRCP ERQCRKDNCVTVPNSGQEDVDRDGIGDACDPDADGDGVPNEKDNCPLVRNPDQRNTDEDKWGDACDNCRSQ KNDDQKDTDQDGRGDACDDDIDGDRIRNQADNCPRVPNSDQKDSDGDGIGDACDNCPQKSNPDQADVDHDF

ES 2 663 069 T3

VGDACDSDQDQDGDGHQDSRDNCPTVPNSAQEDSDHDGQGDACDDDDDNDGVPDSRDNCRLVPNPGQEDAD RDGVGDVCQDDFDADKVVDKIDVCPENAEVTLTDFRAFQTVVLDPEGDAQIDPNWVVLNQGREIVQTMNSD PGLAVGYTAFNGVDFEGTFHVNTVTDDDYAGFIFGYQDSSSFYVVMWKQMEQTYWQANPFRAVAEPGIQLK AVKSSTGPGEQLRNALWHTGDTESQVRLLWKDPRNVGWKDKKSYRWFLQHRPQVGYIRVRFYEGPELVADS NVVLDTTMRGGRLGVFCFSQENIIWANLRYRCNDTIPEDYETHQLRQA

C19orf48 NM 199249.1 → NP 954857.1 proteina multirresistente

```
1 tgaaatgggg tttcccaaac aggcgtgtgt attggacgcc tcgggcggag cgcgggctgg
  61 cgccgaggac cggccttgcg agcggcgcgc actataaaat ggcgcgtgct gcaacccgcg
 121 cccqcttcqq aqaqaaaat qctqqqaqac aqqqtttcac catattggcc aggctggtct
 181 cgaactcctg acttcgtgat ctgcccacct cggcttccca aagtgctgag gttgcaggcg
 241 tgaqccaccq tgcccqqccq cqtttcctac tctttaagct ctgttagctt ggcctctgtc
301 cctgaaggtg cagcttcaag cttaggacca cccaccatgc ctatccaggt gctgaagggc
 361 ctgaccatca ctcattaaga acagaggagg ctgcctgtta ctcctggtgt tgcatccctc
421 cagacactct gctgtttcct gcctaggcgt ggctgcagcc atggctagga aagcgctgcc
 481 acccacccac ctgggccaga gctggttctg ctcctgctgc agggacactg agctggctat
541 cteggegett egggeaagaa etgeaacagg eteteetggg teetgeaggt gtacageegg
 601 geceetgeet tgtgeeteag etetegagag etgetgetge egggtgaeet gateeaacet
 661 gataaggtgc catcttcagc taccactgca aggccctgag ggcaacagca gcacggcact
721 gcccacccgg ctgctgatgg cctggtgcca gctgggagtc ctcccggcac ttcgaggcca
781 ctgagccacc cttccagccc cagcccacca tggacagggg tatccagctt cctcctcaac
841 ctcqtcctct qcccctqaqc caqtqacqcc caaqqacatg cctgttaccc aggtcctgta
 901 ccaqcactaq ctqqtcaaqq qcatqacaqt gctqqaqqcc gtcttqqaqa tccaqqccat
 961 cactggcage aggetgetet ecatggtgcc agggcccgcc aggccaccag getcatgctg
1021 ggacccaacc cagtgcacaa ggacttggct gctgagccac acacccagga gaaggtggat
1081 aagtgggcta ccaagggctt cctgcaggct aggggaggag ccacccccgc ttccctattg
1141 tgaccaggcc tatggggagg agctgtccat acgccaccgt gagacctggg cctggctctc
1201 aaggacagac accqcctqqc ctqqtqctcc aggggtgaag caggccagaa tcctggggga
1261 gctgctcctg gtttgagctg cattcaggaa gtgcgggaca tggtagggga ggcaaaaagc
1321 cttgggcact accetectt tggagetqtt cggtgtccgt cgagetagcc acacectgac
1381 accatettea aggetaccee aagagaagge tetetecce caaceteece tetegeete
1441 actggccaga tgtcatgagg gaagcaggcc ttgtgagtgg acactgacca tgagtccctg
1501 gggggagtga tcccccaggc atcgtgtgcc atgttgcact tctgcccagg cagcagggtg
1561 qqtqqqtacc atqqqtqccc accettcac cacatqqqqc cccaaagcac tqcaqqccaa
1621 geagggeaac cecacacet tgacataaaa geatettgaa gettttaaaa aaaaaaaaa
1681 aaaaaaaaaa aa
```

MTVLEAVLEIQAITGSRLLSMVPGPARPPGSCWDPTQCTRTWLLSHTPRRRWISGLPRASCRLGEEPPPLP YCDOAYGEELSIRHRETWAWLSRTDTAWPGAPGVKQARILGELLLV

DLX1 NM 178120.4 → NP 835221.2 isoforma 1 de la proteína homeosecuencia DLX-1

```
1 aagetttgaa eegagtttgg ggageteage ageateatge ttagaetttt caaagagaea
  61 aactccattt tettatqaat ggaaagtgaa aacccetgtt cegettaaat tgggtteett
 121 cctgtcctga qaaacataga gacccccaaa agggaagcag aggagagaaa gtcccacacc
 181 cagaccccgc gagaagagat gaccatgacc accatgccag aaagtctcaa cagccccgtg
 241 tegggeaagg eggtgtttat ggagtttggg eegeecaace ageaaatgte teetteteec
 301 atgtcccacg ggcactactc catgcactgt ttacactcgg cgggccattc gcagcccgac
 361 ggcgcctaca gctcagcctc gtccttctcc cgaccgctgg gctaccccta cgtcaactcg
 421 gtcagcagcc acgcatccag cccctacatc agttcggtgc agtcctaccc gggcagcgcc
 481 agectegece agageegect ggaggaeeca ggggeggaet eggagaagag eaeggtggtg
 541 qaaqqcqqtq aaqtqcqctt caatqqcaaq qqaaaaaaqa tccqtaaacc caggacqatt
 601 tattccagtt tgcagttgca ggctttgaac cggaggttcc agcaaactca gtacctagct
 661 ctgccggaga gggcggagct cgcggcctct ttgggactca cacagactca ggtcaagatc
721 tggttccaaa acaagcgatc caagttcaag aagctgatga agcagggtgg ggcggctctg
781 gagggtagtg cqttqqccaa cqqtcqqqcc ctqtctqctq qctccccacc cqtqccqccc
841 ggctggaacc ctaactcttc atccgggaag ggctcaggag gaaacgcggg ctcctatatc
 901 cccagctaca catcgtggta cccttcagcg caccaagaag ctatgcagca accccaactt
 961 atgtgaggtt geoegeoogt etecttettg teteccogge coaggteect cocgecteea
1021 qqtccatcca tcccqtccqq aaaaqaaqga cccaqaqqqa agaaqgaaca gtqqaqqcqq
1081 gacgocotco atotoctogg agococgoga ggtocggoco agoaacttoo oggoatocgo
1141 getetageet gaaceetgge etgggeegag eagtggeage agagagtgge eteggaggga
1201 agccactgcc acctgagaca gcccaagcag caagataaac ccgctccacc cgacccgccg
1261 accttcaget ttgtgggact atcaggaaaa aacaaaacaa aaacaaaatg tagaaaaage
1321 aaaagetett ttetgteetg teagteteet gteteetttt getetgtetg tgegetggta
1381 aagtocaggt cetcateegt eegetgteet cattetgegg eeteageaaa aageeacaag
1441 gtetgagegg ecegggteet geegggetga ecateteegg ateetgggae aetetgeetg
1501 accatctgtg tagctggtgt gggaatctgg gggcattgga gggagggggt tttatttatt
1561 gagaaatgga cttcgcctga ggctgtttgc caattcaggg ttctgctggg cgcaaggaac
1621 gcactgttca aacgcactgt ttactttaag cgcacgggga gaaacgaata aggaggacgt
1681 ggtgattttt aatttataca gtaacttttg tacttctctg gtatggagag tttggagccg
1801 acgataaatg aagccaacat gattttctca tttcgggagg aactctgttg cttcgcctgg
1861 acaagaagga aaatgctgat ttcctccttg ggtagaaaga gggagcgagg gcaaatgggg
1921 agtagagaga aaacaggcga gaacaagcac tetaatteca gtgggettta aaataagaca
1981 aaatcagett tacaacaate eetagagget egaccacaga ataatgecag teaccaceet
2041 qaacqcacaa totocaqtqc aqqatotaat qactqtacat attattqtta ttattattat
2101 tgttattatt gttgttctgt aaacatgttg cacaagctta gcctttttgc gttctgttgt
2161 qtqtqqctqt aaaaccccat qctttqtqaa atqaqaatct tqacattttt cttqtqaaat
2221 ttggaaaatg tgatcaattg aaatcaactg tgttttgtgt tctctatgtc aaagtttagt
2281 tttatattga qaatgttaac ttattgcttt gtatcttggg aaaaaaactt tgtaaataag
2401 aaa
```

MTMTTMPESLNSPVSGKAVFMEFGPPNQQMSPSPMSHGHYSMHCLHSAGHSQPDGAYSSASSFSRPLGYP YVNSVSSHASSPYISSVQSYPGSASLAQSRLEDPGADSEKSTVVEGGEVRFNGKGKKIRKPRTIYSSLQL QALNRRFQQTQYLALPERAELAASLGLTQTQVKIWFQNKRSKFKKLMKQGGAALEGSALANGRALSAGSP PVPPGWNPNSSSGKGSGGNAGSYIPSYTSWYPSAHQEAMQQPQLM

GLYATL1 NM 080661.2 → NP 542392.2 proteína seudoglicina N-aciltransferasa 1

```
1 agtgttggcc aatcccagca gccatacttc aactactcat agactgctga atgttcaaac
  61 tgtgttcaaa taagatggtg tcacaagaag gatctgaagt ggagcttcta gtatccccag
 121 gagegegaag tgaacaegga aggtaeetge aggateeaat tgtgteeatt gateteteag
 181 agtggctgag gataatagag tttcttcttc aaggtctcaa ggtgtatggc tctgtgtatc
 241 acatcaatca cgggaacccc ttcaacatgg aggtgctggt ggattcctgg cctgaatatc
 301 agatggttat tatccggcct caaaagcagg agatgactga tgacatggat tcatacacaa
 361 acgtatatcg tatgttctcc aaagagcctc aaaaatcaga agaagttttg aaaaattgtg
 421 agatcqtaaa ctqqaaacaq agactccaaa tccaaqqtct tcaaqaaaqt ttagqtgagg
 481 qqataaqaqt qqctacattt tcaaaqtcaq tqaaaqtaqa gcattcqaqa gcactcctct
 541 tggttacgga agatattctg aagctcaatg cctccagtaa aagcaagctt ggaagctggg
 601 ctgagacagg ccacccagat gatgaatttg aaagtgaaac tcccaacttt aagtatgccc
 661 agctggatgt ctcttattct gggctggtaa atgacaactg gaagcgaggg aagaatgaga
 721 ggagcctgca ttacatcaag cgctgcatag aagacctgcc agcagcctgt atgctcggcc
 781 cagagggagt cccggtctca tgggtaacca tggacccttc ttgtgaagta ggaatggcct
 841 acagcatgga aaaataccga aggacaggca acatggcacg agtgatggtg cgatacatga
 901 aatatetgeg teagaagaat atteeatttt acatetetgt gttggaagaa aatgaagaet
 961 cccqcagatt tqtqqqqcaq tttqqtttct ttqaqqcctc ctqtqaqtqq caccaatgga
1021 cttgctaccc acagaatcta gttccatttt agacaatgaa gctgcttagt aatctctgcc
1081 aagccatctc ttaatattaa agcagacacc acagaataga tttcttcact tacaaatgca
1141 tattgggcac ttataataca gcaggaactc ttctcacctg gagccttgat gttaaaagac
1201 acagccatgc tcttgaggag cttacaatcc tggctggagg caggggaggg tatattcttt
1261 aaatatgett aagtgttata gggaaagaeg gggttaccag taaacatgta actagaaage
1321 caggeteagt tettacetet gggaateaga actetttatg caacttggtt aatagaatet
1381 actatctqqa aqataaatqa aqqattttaa taaaattttc aatagaataa acctaatctg
1441 tatggatact ttatcaaaaa tgaatgtccc tgctatttct ggatttatga ggcaatggta
1501 cactaaagaa tggaatcagt tcagtgagta gaaaggtatc caaggtgaag cctgagacga
1561 atggetttee caggetacet tecateactg ttgtacagaa aagaaateca gagaateaaa
1621 tggactggcc ttgggggtct ctgctatgga aatgccattt tttgtgtctc ctttctccta
1681 ctctttctca catcctcttc atgattgaag catggcacaa ggcaaggtgt tgcctgcgag
1741 tctggttgta agttcagcct ttggtgtttg cactactgct atcataaggg gtcagggaca
1801 ttccqqqqaq aaqtqaccac taaqqtqaqq attaqaqaqt gagtagaagt gagccagaca
1861 aaaaaagcag aaaatgcaga tgatggaaag gacatgtgcc atgcactatc ataagaactt
1921 cctaactqaa cactgatact acaattctga atccctgatc ttaaaaaaata attatacttc
1981 accaacaaa cttqqcctct tttqqttcca ctctqccacc ctqccattqq aacttqqatt
2041 actgtgaaca ttgcagctat agcaaaat
```

MFKLCSNKMVSQEGSEVELLVSPGARSEHGRYLQDPIVSIDLSEWLRIIEFLLQGLKVYGSVYHINHGNPF NMEVLVDSWPEYQMVIIRPQKQEMTDDMDSYTNVYRMFSKEPQKSEEVLKNCEIVNWKQRLQIQGLQESLG EGIRVATFSKSVKVEHSRALLLVTEDILKLNASSKSKLGSWAETGHPDDEFESETPNFKYAQLDVSYSGLV NDNWKRGKNERSLHYIKRCIEDLPAACMLGPEGVPVSWVTMDPSCEVGMAYSMEKYRRTGNMARVMVRYMK YLRQKNIPFYISVLEENEDSRRFVGQFGFFEASCEWHQWTCYPQNLVPF

MS4A8B NM 031457.1 \rightarrow NP 113645.1 miembro 8B de la subfamilia A con 4 dominios que cubre la membrana

```
1 aaacaggaaa taaatacgaa tgaaactgag ctctaagcag catgtaacct ggcctgcatc
 61 caggaaatag aggacttcgg atccttctaa ccctaccacc caactggccc cagtacattc
121 atteteteag gaaaaaaaac aaggteeeca cagcaaagaa aaggaatagg atcaagagat
181 acqtqqctqc tqqcaqaqca aqcatqaatt cqatqacttc agcagttccg gtggccaatt
241 ctgtgttggt ggtggcaccc cacaatggtt atcctgtgac cccaggaatt atgtctcacg
301 tgcccctgta tccaaacagc cagccgcaag tccacctagt tcctgggaac ccacctagtt
361 tggtgtcgaa tgtgaatggg cagcctgtgc agaaagctct gaaagaaggc aaaaccttgg
421 gggccatcca gatcatcatt ggcctggctc acatcggcct cggctccatc atggcgacgg
481 ttctcgtagg ggaatacctg tctatttcat tctacggagg ctttcccttc tggggaggct
541 tgtggtttat catttcagga tctctctccg tggcagcaga aaatcagcca tattcttatt
601 gcctgctgtc tggcagtttg ggcttgaaca tcgtcagtgc aatctgctct gcagttggag
661 teatactett cateacagat etaagtatte eccacecata tgeetacece gaetattate
721 cttacqcctq qqqtqtqaac cctqqaatgq cqatttctgq cqtqctqctq qtcttctqcc
781 teetggagtt tggcategea tgegeatett eccaetttgg etgeeagttg gtetgetgte
841 aatcaagcaa tgtgagtgte atctatecaa acatetatge agcaaaccea gtgateacee
901 cagaaccggt gacctcacca ccaagttatt ccagtgagat ccaagcaaat aagtaaggct
961 acagattctg gaagcatctt tcactgggac caaaagaagt cctcctccct ttctgggctt
1021 ccataaccca ggtcgttcct gttctgacag ctgaggaaac gtctctccca ctgtttgtac
1081 totcaccttc attottcaat toagtotagg aaaccatgct gtttctctat caagaagaag
1141 acaqaqattt taaacaqatq ttaaccaaga qqqactccct aqqqcacatq catcaqcaca
1201 tatgtgggca tccagcctet ggggcettgg cacacacaca ttcgtgtgct etgetgcatg
1261 tgagcttgtg ggttagagga acaaatatct agacattcaa tcttcactct ttcaattgtg
1321 cattcattta ataaatagat actgagcatt caaaaaaaaa aaaaaaaaa
```

MNSMTSAVPVANSVLVVAPHNGYPVTPGIMSHVPLYPNSQPQVHLVPGNPPSLVSNVNGQPVQKALKEGKT LGAIQIIIGLAHIGLGSIMATVLVGEYLSISFYGGFPFWGGLWFIISGSLSVAAENQPYSYCLLSGSLGLN IVSAICSAVGVILFITDLSIPHPYAYPDYYPYAWGVNPGMAISGVLLVFCLLEFGIACASSHFGCQLVCCQ SSNVSVIYPNIYAANPVITPEPVTSPPSYSSEIQANK

NKAIN1 NM 024522.2 → NP 078798.2 proteína 1 interactuante con subunidad beta-1 de ATPasa transportadora de sodio/potasio

```
61 agccgcccg gggcaggagg cgcgcctgac ggacggcccg ctagacaaag gaggcgcgc
 121 teggegggge eagegeggg acggaeggae catggaeteg gagegeggge ggeeggeece
 181 agecttgggg accggacact eccgggeecg geectaggeg eccggeeceg ecgeecggeg
 241 cgcccagcgg ggaggacgtg gagcccgcgc ggcgcgagca ggcggggcc gcggagcaag
 301 aagggegeeg eggegtgegg eeegegeage eeeeggagee atgggeaagt geagegggeg
 361 ctgcacgctg gtcgccttct gctgcctgca gctggtggct gcgctggagc ggcagatctt
 421 tgactteetg ggetaceagt gggeteecat cetageeaac tteetgeaca teatggeagt
 481 catectqqqc atetttqqca ccqtqcaqta ccqctcccqq tacetcatec tgtatqcaqc
 541 ctggctggtg ctctgggttg gctggaatgc atttatcatc tgcttctact tggaggttgg
 601 acagetqtee caqqaeeqqq actteateat qaeetteaac acateeetge acegeteetg
 661 gtggatggag aatgggccag gctgcctggt gacacctgtt ctgaactccc gcctggctct
 721 ggaggaccac catgtcatct ctgtcactgg ctgcctgctt gactacccct acattgaagc
 781 cctcagcagc gccctgcaga tcttcctggc actgttcggc ttcgtgttcg cctgctacgt
 841 gagcaaagtg ttcctggagg aggaggacag ctttgacttc atcggcggct ttgactccta
 901 eggataceag gegeeceaga agaegtegea tttacagetg eageetetgt acaegteggg
 961 gtagcetetg ecceqegee acceeggege etcgecetgg getgacegea getgeegega
1021 gctcgggcca aggcgcaggc gtgtccccct ggtggcccgc gcgctcactg cagcctgtgc
1081 ccaaccccgc gtctgcatct ggagatgcgg acttggacgt ggacttggac ttggacttgg
1141 atttgagett ggetettege ageceggaet teggaggagt ggggegggge gggggagggg
1201 caccacgggt tttttgtttt ttgtttgttt gttttaatc tcagccttgg cgtgagctgg
1261 ggccttcctc tettetccag cetetecett teactettca eccageatee tgececeetg
1321 tocaaaaaca goaggacato agacocatoo catocoacoa cactoactoa coagototgg
1381 qqaaaqctac tqtqaactaq qaqcaqqatt cctqqqttct aatcqcaqqt ccatcactqa
1441 ctgtgacgtc tagcaaagcc cttgccctct ctgagcctcg gtttccgcac ctcaagtaat
1501 taatccctta qcaaatqqac tcttttaqac ttctcattta actcaattcc ctgagctaga
1561 ctgggattaa aatteteatt ttgcagtaca ttaaaactga ggcccagaga tgtgatttgc
1621 ttgaggccac acagctagat ttttggtgga agtgggcctt gaacacagtg tactttctgc
1681 agtttctgac tgtaaaaccc agtgtctgct ctctgagttc catttccaag ccccctcca
1741 tettggacet atgtggtete caccatatte acacaceace accaccatt gecaatgeet
1801 ctcttaaagc aatataccca ttcgttctct tattgggaac tggatggatg aagccccaaa
1861 ttcaqcccca cccacagaga agecttccta cactcagcct ctgtccaccc ttggcaaatc
1921 tttcaagete teteeteeag gaaagtgggg ceccaactea gteactecae cecetteeag
1981 gtccctgagg ctggttctac tgtatcccca tcacctccac aactccactc acccctgacg
2041 gctccatcca cctcaccagt tggaaggctt gtggtttcag agaggagcaa tgctggtcag
2101 cgctqcccaq actccaqtqt ttacaqatca ccaqcattta caaccaatcc aatggccaga
2161 agcetectet aacaageeca gaaggagtte tgaaggggea gatgggggtg tgagtagteg
2221 gggagtcggg attgccagca ccctcaccct tccttggggg caagtagagg tgagaacact
2281 ttececaect cectecaeag acaeteetga ggaegetgea teceaegeae tgeetggtge
2341 qtccatagag agaggatcag gtctcagcat ttcatctgtg aaagaggcat ggccctgggt
2401 tagaaaggag ggcaggagac atggaggaac tggggggcac ccagatggtg cagatggttt
2461 gcacacctga gcctgtctgt ggtgaccatt ccgctcctct cccactaccc tccaatctat
2521 cattecetae tetetaagge caaaatatee tgageaagge tggeaaceee accecaceat
2581 cccaaatgca agcagccagg cccaggagtt cctctggccc ccacaggcat ggagctccca
2641 gctggtgggt acagcttgag aggggggcag ctccctcagg ctaagctact gcccttcact
2701 gggccagccc tgcctccagc cctcacctct ctcaccccaa ctctccccca agcccctttc
2761 tactcaacgg gtgtagccac tggtgctttg aagccttttg tttttataag atggtttttg
2821 caaggggacc aggttetett tteaetggga cettgeaagg aggggagtge teteetggtt
2881 tetgtgcagg egggttgatt aaagatggtg ttttettete taaaaaaaaa
```

ES 2 663 069 T3

 $\label{thma:ligiforcy} $$ MGKCSGRCTLVAFCCLQLVAALERQIFDFLGYQWAPILANFLHIMAVILGIFGTVQYRSRYLILYAAWLVL$$ WVGWNAFIICFYLEVGQLSQDRDFIMTFNTSLHRSWWMENGPGCLVTPVLNSRLALEDHHVISVTGCLLDY$$ PYIEALSSALQIFLALFGFVFACYVSKVFLEEEDSFDFIGGFDSYGYQAPQKTSHLQLQPLYTSG$

PPFIA2 NM 003625.2 → NP 003616.2 proteína (liprin) alfa 2 interactuante con polipéptido receptor tipo f (PTPRF) de la proteína tirosina fosfatasa PPFIA2

```
1 gaggcaagtg aggagagaag atgctgtagc gtcctcaccg gctgccagca gggaaatggt
  61 ccaggagtgc tgggtgtgag cctcccttct cctcaagccg gagactgcgg ttgtcattga
 121 tcaattgaag aagcaaggac ccgaaatcac agacattagc aatgatgtgt gaagtgatgc
 181 ccacgattaa tgaggacacc ccaatgagcc aaagggggtc ccaaagcagt ggctcggact
 241 cagactecca ttttgageag etgatggtga atatgetaga tgaaagggat egtettetag
 301 acaccetteq qqaqaeecag gaaageetet caettgeeca geaaagaett caggatgtea
 361 tetatgaceg agaeteaete cagagacage teaatteage cetgecacag gatategaat
 421 ccctaacagg agggctggct ggttctaagg gggctgatcc accggaattt gctgcactga
 481 caaaagaatt aaatgeetge agggaacaae ttetagaaaa ggaagaagaa atetetgaae
 541 ttaaaqctqa aaqaaacaac acaaqactat tactggagca tttggagtgc cttgtgtcac
 601 gacatgaaag atcactaaga atgacggtgg taaaacggca agcccagtct ccctcaggag
 661 tatccagtga agttgaagtt ctcaaggcac tgaaatcttt gtttgagcac cacaaggcct
 721 tggatgaaaa ggtaagggag cgactgaggg tttctttaga aagagtctct gcactggaag
781 aagaactagc tgctgctaat caggagattg ttgccttgcg tgaacaaaat gttcatatac
 841 aaaqaaaat gqcatcaaqc qagggatcca cagagtcaga acatcttgaa gggatggaac
 901 ctggacagaa agtccatgag aagcgtttgt ccaatggttc tatagactca accgatgaaa
 961 ctagtcaaat agttgaacta caagaattgc ttgaaaagca aaactatgaa atggcccaga
1021 tqaaaqaacq tttaqcaqcc ctttcttccc qaqtgggaga ggtggaacag gaagcagaga
1081 cagcaagaaa ggatctcatt aaaacagaag aaatgaacac caagtatcaa agggacatta
1141 gggaggccat ggcacaaaag gaagatatgg aagaaagaat tacaaccctt gaaaagcgtt
1201 acctcagtgc tcagagagaa tctacctcca tacatgacat gaatgataaa ctagaaaatg
1261 agttagcaaa taaagaagct atcctgcggc agatggaaga gaaaaacaga cagttacaag
1321 aacgtettga getagetgaa caaaagttge ageagaceat gagaaagget gaaacettge
1381 ctgaagtaga ggctgaactg gctcagagaa ttgcagccct aaccaaggct gaagagagac
1441 atggaaatat tgaagaacgt atgagacatt tagagggtca acttgaagag aagaatcaag
1501 aacttcaaag agctaggcaa agagagaaaa tgaatgagga gcataacaag agattatcgg
1561 atacggttga tagacttctg actgaatcca atgaacgcct acaactacac ttaaaggaaa
1621 gaatggctgc tctagaagaa aagaatgttt taattcaaga atcagaaact ttcagaaaga
1681 atcttgaaga atctttacat gataaggaaa gattagcaga agaaattgaa aagctgagat
1741 ctgaacttga ccaattgaaa atgagaactg gctctttaat tgaacccaca ataccaagaa
1801 ctcatctaga cacctcagct gagttgcggt actcagtggg atccctagtg gacagccagt
1861 ctgattacag aacaactaaa gtaataagaa gaccaaggag aggccgcatg ggtgtgcgaa
1921 gagatgagec aaaggtgaaa tetettgggg atcacgagtg gaatagaact caacagattg
1981 gagtactaag cagccaccct tttgaaagtg acactgaaat gtctgatatt gatgatgatg
2041 acagagaaac aatttttage teaatggate ttetetetee aagtggteat teegatgeee
2101 agacgctagc catgatgctt caggaacaat tggatgccat caacaaagaa atcaggctaa
2161 ttcaggaaga aaaagaatct acagagttgc gtgctgaaga aattgaaaat agagtggcta
2221 gtgtgagect cgaaggeetg aatttggeaa gggteeacce aggtacetee attactgeet
2281 ctgttacage ttcategetg gecagtteat etecececag tggacactea actecaaage
2341 tcacccctcg aagccctgcc agggaaatgg atcggatggg agtcatgaca ctgccaagtg
2401 atctgaggaa acatcggaga aagattgcag ttgtggaaga agatggtcga gaggacaaag
2461 caacaattaa atgtgaaact tctcctcctc ctacccctag agccctcaga atgactcaca
2521 ctctcccttc ttcctaccac aatgatgctc gaagtagttt atctgtctct cttgagccag
2581 aaagcctcgg gcttggtagt gccaacagca gccaagactc tcttcacaaa gcccccaaga
2641 agaaaggaat caagtottoa ataggacgtt tgtttggtaa aaaagaaaaa gotogacttg
2701 ggcagctccg aggctttatg gagactgaag ctgcagctca ggagtccctg gggttaggca
2761 aacteggaac teaagetgag aaggategaa gactaaagaa aaageatgaa ettettgaag
2821 aagctcggag aaagggatta ccttttgccc agtgggatgg gccaactgtg gtcgcatggc
```

```
2881 tagagetttg gttgggaatg eetgegtggt aegtggeage etgeegagee aaegtgaaga
2941 gtggtgccat catgtctgct ttatctgaca ctgagatcca gagagaaatt ggaatcagca
3001 atccactgca tegettaaaa ettegattag caatecagga gatggtttee etaacaagte
3061 cttcagctcc tccaacatct cqaactcctt caggcaacgt ttgggtgact catgaagaaa
3121 tggaaaatct tgcagctcca gcaaaaacga aagaatctga ggaaggaagc tgggcccagt
3181 gtccggtttt tctacagacc ctggcttatg gagatatgaa tcatgagtgg attggaaatg
3241 aatggettee eagettgggg ttaceteagt acagaagtta etttatggaa tgettggtag
3301 atgcaagaat gttagatcac ctaacaaaaa aagatctccg tgtccattta aaaatggtgg
3361 atagtttcca tcgaacaagt ttacaatatg gaattatgtg cttaaagagg ttgaattatg
3421 acagaaaaga actagaaaga agacgggaag caagccaaca tgaaataaaa gacgtgttgg
3481 tgtggagcaa tgaccgagtt attcgctgga tacaagcaat tggacttcga gaatatgcaa
3541 ataatatact tgagageggt gtgeatgget caettatage eetggatgaa aaetttgaet
3601 acagcagett agetttatta ttacagatte caacacagaa cacccaggea aggeagatte
3661 ttgaaagaga atacaataac ctcttggccc tgggaactga aaggcgactg gatgaaagtg
3721 atgacaagaa cttcagacgt ggatcaacct ggagaaggca gtttcctcct cgtgaagtac
3781 atggaatcag catgatgcct gggtcctcag aaacattacc agctggattt aggttaacca
3841 caacctctgg gcagtcaaga aaaatgacaa cagatgttgc ttcatcaaga ctgcagaggt
3901 tagacaactc cactgttcgc acatactcat gttgaccagc cactcaaagg aggcagcact
3961 gacctgctat ggcgtctttt cagtctactc tacctaaagt gcactaccat ctaagaagac
4021 gagcagtgaa aacctttgtg aaaactgaat to
```

 ${\tt MMCEVMPTINEDTPMSQRGSQSSGSDSDSHFEQLMVNMLDERDRLLDTLRETQESLSLAQQRLQDVIYDR}$ DSLQRQLNSALPQDIESLTGGLAGSKGADPPEFAALTKELNACREQLLEKEEEISELKAERNNTRLLLEH LECLVSRHERSLRMTVVKRQAQSPSGVSSEVEVLKALKSLFEHHKALDEKVRERLRVSLERVSALEEELA AANQEIVALREQNVHIQRKMASSEGSTESEHLEGMEPGQKVHEKRLSNGSIDSTDETSQIVELQELLEKQ NYEMAQMKERLAALSSRVGEVEQEAETARKDLIKTEEMNTKYQRDIREAMAQKEDMEERITTLEKRYLSA QRESTSIHDMNDKLENELANKEAILRQMEEKNRQLQERLELAEQKLQQTMRKAETLPEVEAELAQRIAAL TKAEERHGNIEERMRHLEGQLEEKNQELQRARQREKMNEEHNKRLSDTVDRLLTESNERLQLHLKERMAA LEEKNVLIQESETFRKNLEESLHDKERLAEEIEKLRSELDQLKMRTGSLIEPTIPRTHLDTSAELRYSVG SLVDSQSDYRTTKVIRRPRRGRMGVRRDEPKVKSLGDHEWNRTQQIGVLSSHPFESDTEMSDIDDDDRET IFSSMDLLSPSGHSDAQTLAMMLQEQLDAINKEIRLIQEEKESTELRAEEIENRVASVSLEGLNLARVHP GTSITASVTASSLASSSPPSGHSTPKLTPRSPAREMDRMGVMTLPSDLRKHRRKIAVVEEDGREDKATIK CETSPPPTPRALRMTHTLPSSYHNDARSSLSVSLEPESLGLGSANSSQDSLHKAPKKKGIKSSIGRLFGK KEKARLGQLRGFMETEAAAQESLGLGKLGTQAEKDRRLKKKHELLEEARRKGLPFAQWDGPTVVAWLELW LGMPAWYVAACRANVKSGAIMSALSDTEIQREIGISNPLHRLKLRLAIQEMVSLTSPSAPPTSRTPSGNV WVTHEEMENLAAPAKTKESEEGSWAQCPVFLQTLAYGDMNHEWIGNEWLPSLGLPQYRSYFMECLVDARM LDHLTKKDLRVHLKMVDSFHRTSLQYGIMCLKRLNYDRKELERRREASQHEIKDVLVWSNDRVIRWIQAI GLREYANNILESGVHGSLIALDENFDYSSLALLLQIPTQNTQARQILEREYNNLLALGTERRLDESDDKN FRRGSTWRRQFPPREVHGISMMPGSSETLPAGFRLTTTSGQSRKMTTDVASSRLQRLDNSTVRTYSC

PTPRT NM 133170.3 → NP 573400.3 precursor de isoforma 1 receptor-tipo proteína tirosina fosfatasa T

1 cctcccgcct cagttcgcgc cgcgcctcgg cttggaacgc aggagcgccg gctccgggag 61 cccgagcgga gccagccgcg cgcacagcca gcggccgcgc cggcgatgcg gggccacccc 121 gegecegeec cagteeegge eeeggeeece gegggaaggg getgagetge eegcegeege 181 ccqqatqqcq agcctcqccq cgctcqccct cagcctqctc ctgaggctqc agctqccgcc 241 actgcccggc gcccgggctc agagcgccgc aggtggctgt tcctttgatg agcactacag 301 caactgtggt tatagtgtgg ctctagggac caatgggttc acctgggagc agattaacac 361 atgggagaaa ccaatgctgg accaggcagt gcccacagga tctttcatga tggtgaacag 421 ctctgggaga gcctctggcc agaaggccca ccttctcctg ccaaccctga aggagaatga 481 cacccactgc atcgacttcc attactactt ctccagccgt gacaggtcca gcccaggggc 541 cttgaacgtc tacgtgaagg tgaatggtgg cccccaaggg aaccctgtgt ggaatgtgtc 601 cggggtcgtc actgagggct gggtgaaggc agagctcgcc atcagcactt tctggccaca 661 tttctatcag gtgatatttg aatccgtctc attgaagggt catcctggct acatcgccgt 721 ggacgaggtc cgggtccttg ctcatccatg cagaaaagca cctcattttc tgcgactcca 781 aaacgtggag gtgaatgtgg ggcagaatgc cacatttcag tgcattgctg gtgggaagtg 841 gtctcagcat gacaagcttt ggctccagca atggaatggc agggacacgg ccctgatggt 901 cacccgtgtg gtcaaccaca ggcgcttctc agccacagtc agtgtggcag acactgccca 961 gcggagcgtc agcaagtacc gctgtgtgat ccgctctgat ggtgggtctg gtgtgtccaa 1021 ctacgcggag ctgatcgtga aagagcctcc cacgcccatt gctcccccag agctgctggc 1081 tgtgggggcc acatacctgt ggatcaagcc aaatgccaac tccatcatcg gggatggccc 1141 catcatcctg aaggaagtgg aatatcgcac caccacaggc acgtgggcag agacccacat 1201 agtcgactct cccaactata agctgtggca tctggacccc gatgttgagt atgagatccg 1261 agtgctcctc acacgaccag gtgaggggg tacgggaccg ccagggcctc ccctcaccac 1321 caggaccaag tgtgcagatc cggtacatgg cccacagaac gtggaaatcg tagacatcag 1381 agcccggcag ctgaccctgc agtgggagcc cttcggctac gcggtgaccc gctgccatag 1441 ctacaacctc accgtgcagt accagtatgt gttcaaccag cagcagtacg aggccgagga 1501 ggtcatccag acctcctccc actacaccct gcgaggcctg cgccccttca tgaccatccg 1561 gctgcgactc ttgctgtcta accccgaggg ccgaatggag agcgaggagc tggtggtgca 1621 gactgaggaa gacgttccag gagctgttcc tctagaatcc atccaagggg ggccctttga 1681 ggaqaagatc tacatccagt ggaaacctcc caatgagacc aatggggtca tcacgctcta 1741 cgagatcaac tacaaggetg teggeteget ggacccaagt getgacetet egagecagag 1801 ggggaaagtg ttcaagctcc ggaatgaaac ccaccacctc tttgtgggtc tgtacccagg 1861 gaccacctat tccttcacca tcaaggccag cacagcaaag ggctttgggc cccctgtcac 1921 cacteggatt gecaccaaaa tttcagetee atecatgeet gagtacgaca cagacaceee 1981 attgaatgag acagacacga ccatcacagt gatgctgaaa cccgctcagt cccggggagc 2041 teetgteagt gtttateage tggttgteaa ggaggagega etteagaagt caeggaggge 2101 agctgacatt attgagtgct tttcggtgcc cgtgagctat cggaatgcct ccagcctcga 2161 ttctctacac tactttgctg ctgagttgaa gcctgccaac ctgcctgtca cccagccatt 2221 tacagtgggt gacaataaga catacaatgg ctactggaac cctcctctc ctcccctgaa 2281 aagctacage atctacttce aggcactcag caaagccaat ggagagacca aaatcaactg 2341 tgttcgtctg gctacaaaag caccaatggg cagcgcccag gtgaccccgg ggactccact 2401 ctgcctcctc accacaggtg cctccaccca gaattctaac actgtggagc cagagaagca 2461 ggtggacaac accgtgaaga tggctggcgt gatcgctggc ctcctcatgt tcatcatcat 2521 tctcctgggc gtgatgctca ccatcaaaag gagaagaaat gcttattcct actcctatta 2581 cttgaagctg gccaagaagc agaaggagac ccagagtgga gcccagaggg agatggggcc 2641 tqtqqcctct qccgacaaac ccaccaccaa gctcagcgcc agccgcaatg atgaaggctt 2701 ctcttctagt tctcaggacg tcaacggatt cacagatggc agccgcgggg agctttccca 2761 geocaccete acgatecaga etcateceta cegcacetgt gaccetgtgg agatgageta 2821 cccccqqqac caqttccaac ccgccatccg ggtggctgac ttgctgcagc acatcacgca

```
2881 gatqaaqaqa qqccaqqqct acqqqttcaa qqaqqaatac gagqccttac cagaqqqqca
2941 gacagetteg tgggacacag ecaaggagga tgaaaacege aataagaate gatatgggaa
3001 catcatatee tacgaceatt ecegggtgag getgetggtg etggatggag accegeacte
3061 tgactacatc aatgccaact acattgacgg ataccatcga cctcggcact acattgcgac
3121 tcaaggtccg atgcaggaga ctgtaaagga cttttggaga atgatctggc aggagaactc
3181 cgccagcatc gtcatggtca caaacctggt ggaagtgggc agggtgaaat gtgtgcgata
3241 ctgqccaqat qacacqqaqq tctacqqaqa cattaaagtc accctgattg aaacagagcc
3301 cctggcagaa tacgtcatac gcaccttcac agtccagaag aaaggctacc atgagatccg
3361 ggageteege etetteeact teaceagetg geetgaeeac ggegtteect getatgeeac
3421 tggccttctg ggcttcgtcc gccaggtcaa gttcctcaac cccccggaag ctgggcccat
3481 agtggtccac tgcagtgctg gggctgggcg gactggctgc ttcattgcca ttgacaccat
3541 gcttgacatg gccgagaatg aaggggtggt ggacatette aactgcgtge gtgageteeg
3601 ggcccaaagg qtcaacctgg tacagacaga ggagcaatat gtgtttgtgc acgatgccat
3661 cctggaagcg tgcctctgtg gcaacactgc catccctgtg tgtgagttcc gttctctcta
3721 ctacaatate ageaggetgg acceecagae aaactecage caaateaaag atgaatttea
3781 gacceteaac attgtgacac eccgtgtgeg gecegaggae tgeageattg ggeteetgee
3841 ccggaaccat gataagaatc gaagtatgga cgtgctgcct ctggaccgct gcctgccctt
3901 ccttatctca gtggacggag aatccagcaa ttacatcaac gcagcactga tggatagcca
3961 caageageet geegeetteg tggteaceea geaceeteta eccaacaceg tggeagaett
4021 ctgqaggctg qtgttcgatt acaactgctc ctctgtggtg atgctgaatg agatggacac
4081 tgcccaqttc tgtatgcaqt actggcctga gaagacctcc gggtgctatg ggcccatcca
4141 ggtggagttc gtctccgcag acatcgacga ggacatcatc cacagaatat tccgcatctg
4201 taacatggcc cggccacagg atggttatcg tatagtccag cacctccagt acattggctg
4261 gcctgcctac cgggacacgc cccctccaa gcgctctctg ctcaaagtgg tccgacgact
4321 ggagaagtgg caggagcagt atgacgggag ggagggacgt actgtggtcc actgcctaaa
4381 tgggggaggc cgtagtggaa ccttctgtgc catctgcagt gtgtgtgaga tgatccagca
4441 gcaaaacatc attgacgtgt tccacatcgt gaaaacactg cgtaacaaca aatccaacat
4501 ggtggagacc ctggaacagt ataaatttgt atacgaggtg gcactggaat atttaagctc
4561 cttttagctc aatgggatgg ggaacctgcc ggagtccaga ggctgctgtg accaagcccc
4621 cttttgtgtg aatggcagta actgggctca ggagctctga ggtggcaccc tgcctgactc
4681 caaggagaag actggtggcc ctgtgttcca cggggggctc tgcaccttct gaggggtctc
4741 ctgttgccgt gggagatgct gctccaaaag gcccaggctt ccttttcaac ctaaccagcc
4801 acagecaagg geccaageag aagtacaeee acaageaagg cettggattt etggeteeca
4861 gaccacctgc ttttgttctg agtttgtgga tctcttggca agccaactgt gcaggtgctg
4921 gggagtggga ggctcccctg ccctccttct ccttaggagt ggaggagatg tgtgttctgc
5041 acctecttea ggggeetetg geaceagaea tttgeagtet ggaceagtgt gacettaega
5101 tgttccctag gccacaagag aggcccccca tcctcacacc taacctgcat ggggcttcgc
5161 ccacaaccat totgtacccc ttccccagcc tgggccttga ccgtccagca ttcactggcc
5221 ggccagctgt gtccacagca gtttttgata aaggtgttct ttgctttttt gtgtggtcag
5281 tgggagggg tggaactgca gggaacttct ctgctcctcc ttgtctttgt aaaaagggac
5341 cacctccctg gggcagggct tgggctgacc tgtaggatgt aacccctgtg tttctttggt
5401 ggtagettte tttggaagag acaaacaaga taagatttga ttatttteca aagtgtatgt
5461 gaaaagaaac tttcttttgg agggtgtaaa atcttagtct cttatgtcaa aaagaagggg
5521 gcgggggagt ttgagtatgt acctctaaga caaatctctc gggcctttta ttttttcctg
5581 gcaatgtcct taaaagctcc caccctggga cagcatgcca ctgagcaagg agagatgggt
5641 gageetgaag atggteeett tggtttetgg ggeaaataga geaceagett tgtgeataat
5701 ttggatgtcc aaatttgaac teetteetaa agaaacecag cagecacett gaaaaaggee
5761 attgtggage ceattatact ttgatttaaa ataggeeaag agaateagge etggagatet
5821 agggtcttgt ccaaagtgtg agtgagtcaa tgagagggaa ccaacatttg ctaagtctct
5881 actgtatgcc agggatcatg cttggcactt tccataggac atttcacaca gtccttagaa
5941 cccccaggag agagetactg acttgttate atetecattt gateatetee tecaatgagg
6001 aaacccacgc accttcctta gtaatgaaat cctgggttcc aaaggggcag gtaatggcaa
```

```
6061 tgagacttet cegtgetgtt ttetteatet tetetaagee aageaattat tttatggagg
6121 gaaaataagg ccagaaactt ctgagcagat aactccacaa atggaaattt agtactttct
6181 teetgatgee agttettetg ggaagegeag aattteagat atattttagt aacacattee
6241 cagetececa ggaaagecag teteatetaa tttettagte agtaaaaaca atteeetgtt
6301 ccttcagget atgaatggae cagecaggga aactetegae ettgatetet agecagtget
6361 taggeceaat atetgacage eteaggtggg etgggaceta ggaageteea tettgaagge
6421 tggtctagcc ccagacaggg catgaggggc agagaattca agaaggtaca gctttggccc
6481 tcaagagccc actgtatgct ggggaaatgg aaccatggtg cagtagtgtg gagtggatga
6541 gtgttccatg agcctaggag caagaaagtc tcttcggcct cgggcttcct ggagaagggg
6601 acqtccattc ctqctqqqtc ttaacaaqca taaaaaqgaa aaaaaqgaaa ctcaqqcaaa
6661 gggatccata tgtgcaatgg caaagaaatg tgaaaaggca ttgggagaag cagtctgggg
6721 gaggecagee cagtgeggge acageacaae aeggggagea geaagagatg ageeagggte
6781 caggagacag atgeceateg egagtacaga efttgteeta ttggcaacaa ggagteeatg
6841 gagetttaga gagatgeact eagettegtg ttggeeaaga eteettetgg geeaatgggg
6901 ctgcctcttt tcctttcatc agacactgtg aaaacattcc cttaagcgtg cactttttaa
6961 tatcacatet atttqtetqt etqeteattq ttttqttqct qgaactaaat atgcaatgga
7021 tcatqaqact caqattctat qaqaaaccca gggtctctgc tttaccacgg agcagggtca
7081 ccaacccaga tetecaggee catgaggatg gaacatgaaa ggageegaca aaagttgett
7141 ccattggcat gggctctgga gctgtccaga agtccaggga caccagactt gatcaaggaa
7201 gggctgtcac tttagaggtt caaaaggaag tgcctcaaag caaaggcaag caaaggaacc
7261 ccacqatqaa cttqctcttt tcctttqatq agcctctccc caggtqtatt tcagcagacc
7321 coggggaccc acceccactg ggcctgctgg cctccctcgg ctccagccca atgccccagc
7381 tggccttccc cagcctgcaa ggagcctgta gcatggcaaa tctgcctgct gtatgctatt
7441 ttcttagatc ttggtacatc cagacaggat gagggtggag ggagagctat ttaacacaaa
7501 tectaagatt tttttetget caggaagggg tgaaataget ggeagataca aaagacagtg
7561 gcttttatca ttttaaatgg taggaattta aggtgtgact tcagggagaa acaaacttgc
7621 aaaaaaaaa aatctcaggc catgttgggg taacccagca agggccagtg atgatttccc
7681 ccaqctcatc cccttatttt cccacaaccc aaccattctc taaagcagga cagtgaatag
7741 gtcttaggcc agtgcacaca ggaagaaatt gaggcttatg gatggggatg acttccctaa
7801 gatcccatgg gacaaggatg tggcaaggct tggatgagat ggggcaccag tgcccaggaa
7861 tttgaacatt ttcctttacc caggaaatct ccggagccaa caccaccacc cccagggggt
7921 ctccccaccc caccccattt acagggtgag ctcagcctgt catgagcaga ggaaaatatt
7981 attaatgctc tctgagtctt tacaacagga gctcttacct catagatgtg ggctctgttt
8041 ggggaagatg caaggaagta atgagaagcc caggaaattt ctccacctgt gtttatggcc
8101 taaatagett caggatgtat ettagetgea etceaacatt geateettte tggggtgaag
8161 aatctgggcc aaccaggggt ccttgggcct ctagaaggcc acagtaggcc tctctttgtg
8221 ggaatggaag gggacagttt gcttttagtg ctggccctct ctgtgggtgt ggcctgcaaa
8281 ggaaccaaca gaccctatgc tggggactct aacatgtgag ctcattaaat tcttccagca
8341 ttctaaagga gggtttgtga ttgtcaccat ttactgatga ggaaactaag gctcctaggg
8401 gagaaatcac ttgcccacag ttccacaget agtgagtgaa tgaaccagga tttaaaccgg
8461 ttttttctca ctacagagac aatatttttc caccattgta tctcacattt ttcccaggag
8521 gttacccata acagaagaga ctagagtgga acagatacgt cagtggataa agctcaaagc
8581 aaacaacagt aagcttaaaa ttoottoata gtotoatgtt ttacgttoac aattoatgca
8641 aaatttgcat teeactttet gatttageet tgttggtttt aatatgaete tatgaatatt
8701 tcaaaaaaaa atqtqctctq ttcctcatgt tgttctgttc tgttcacccc gctatgacgg
8761 accetaggte agetggtett cagettgace etagaattga etetaggage agtgaceetg
8821 ctgcctccca gagccagtta taggctcaag atcaagacca actgaccttc tcctaggcag
8881 ctcctttggt gtgtgggtgc tctgacctca ctgttcatga ggggacctca actaaggcat
8941 cttccagttg ggtgctggaa ggaacccatt aactcacact agaatgatga ggatttgctc
9001 atctggcgtg gagaaggatg agcccacaaa accctaaagg gaaaagagaa gctggacaca
9061 gctgtactca gcagattcct gaatgctagg ctggaaagtg gtgcctgttg tccaagtgga
9121 qtcacatggt tgctaatgtg ggcaagtctg aggacacact tcatgagcag ctggggtctg
9181 gaaggeteet cactttacce tagecacaea taattactgg gtgeetacag cacetageae
9241 cttggagggg gcactattag gaaatcgaga ttactatggc acaattaatt cctgggtaag
9301 gcatggggtt gtggtggaca gagctcagtc tttagtttga acgaaaacat acatacatga
```

```
9361 aaaacataca tgaaaaaagg accctcatca acattagaag gggtagattt ggagcacttt
 9421 aggcaggaaa acaggaacgc aaggccagga aactggaacc cagtgaatac tcagaaccga
 9481 ggatgcagat gacttattta gcaaaatggt cacttctgtg acatagctgg agaaaggatg
 9541 ggtaacagct tgccagagcc acttggaaca agggcaaatc tcagtgtctg gggcaaaaga
 9601 tgatgcattt ccctctgacc catcatgttt attcatcctc cactccccat tgccacacta
 9661 gctcttgctg taagtcctca ccaggatcta catttcctcg tcgctggtgg gaacccctta
 9721 gagtacatag aggtatcagt ccagtaagac tgctctacac aacagaagtg aggcccaggg
 9781 agtagcagcc aggcccttat cctgttacct ctgcaggagt gactgcccaa cccagatcca
 9841 gagacattga aggaaatgat aatteettgg tacetcactg cettgggaca aaatgaagaa
 9901 agccaccett cettaggetg cagettgeca eteetggget gggtaaacag gteatcagea
 9961 ccaagctcaa ccaggagtaa cactctggaa gacatgggtg agcccaagag gaagcatgaa
10021 caggacgctg ttcctaagtc atgtcaacag gttgtgctgg gccaggatcc ccagggaaaa
10081 aaatqqtcaa cccaactqqa qqqtaqqtta qaaqaaaaaa aacataaacg tggatagtca
10141 tgtcatctca aatccctgac ttggcttccc cattacttaa cagtctgagc tccttcttag
10201 cctqtqacca qcttcaaatc acagccaagt aaaacaagga aataggaaaa gtaaatccaa
10261 ctagaagaga caagctgaga ttcagatttg tttactcctc ccatgcaaag tttccctgtt
10321 ggaggttttc catgtataca tgtctagaag tgatagaatg caaggccttg gctttgtctt
10381 gcagggatct gcctttgagg tcatagactg aacagcaggg agagaggtta gtggtggagt
10441 gtggggggag ctgttctagc tccagtttct tctgacacat ttttcaggat catggatctg
10501 atcctccgaa gcacagcaga gatatctaag ccatatttgt gcacatgagc agactcttct
10561 agttttttag taaccaggga tgggcttttg catggcactg actatagaga tgtcttgtag
10621 agatcaagcc agtcttttgc atcccacctg cccacctcca gaagagatgg gaaaaggtca
10681 tcaaagggca ttcaccaact gaaatccact catgaatgtt aggtctctaa aaggaggcat
10741 caacactcac aatggtagee tecaaaceta geateecace tatetaagag eteaggggtg
10801 gtccactggg gcagatacaa gggaagtgca agggctcagg atgaaagaaa atctattggg
10861 aagagtttta ggggcttgat cattatgggg cttccttcta tatctgagaa ctgctctggg
10921 tggtgagatg tggactctga tccttaattg gaatgttcgg agaatgagtg tctggtggcc
10981 ttgaagtgtt ggacagaaaa gtatcagtat aaaagcctgg agctcagggt aattaatgta
11041 gttcatggtt ccttagtgag caggactctt ggatgtggag gagaaagggt cataggaagt
11101 aaaccaccaa aattacaaaa ttgagtctct gtacaattac ttcagtgect ttgggcttat
11161 gaatacaaat cagtgggcct tctctatgat ggtccaacaa actctcagtg tccaccctgt
11221 ccctgtatct cccatggaag atgaataatg tcaggtgttc tttgggtcaa aggccccagg
11281 gcagtctgga ggcttagagg gcagagtggt gtcattccat gtaaagttag gcttctgagg
11341 ggtcaggcag aatatggtgt ccatatcttc catagctctg cagattcttg gatgaagtca
11401 agcacagttt gctagaccca ggtcactcct ctgagtataa ctaggaccca tgagtgaaac
11461 ttaatagctg taaggaagaa cctgctgtct gccagagagg ataagctgcc catctcagca
11521 qctqtctaaa agaaqqcaqq tqtctcttta aagggaagag aagcattggt gaaatggatt
11581 tcaggtcact tccattccag atgggtgaga tcttgtggag ctgggatcat gtttgaactc
11641 attcatacct gtagagcacg aatccaagta gattgtgttt ggtctgtaca ggctgaagcc
11701 ccctgctctc ccacccaagt gcccccactg agcaggccaa catgctgttg tggccacata
11761 tactgggctg atccaggctg gttatcacca aacagcaaac catagggaac agetgctttg
11821 ccatagaccc aatacccatg tagatetete atgagageag ccataactea gacccactga
11881 ccaacagggc catgagtgac agccagaacc agtgaaggtc caagtaggac acagagcagg
11941 gcttttctta ccatacacat tatctccaga ggttatttct accccactcc ctattcaagg
12001 cctgttggag cacactgcaa aagcaaaagc acagtaactc aatttacaca tgattataat
12061 catttccagt gcacacattt catcaccagg tggatcctga gctagcccat gtaaatccgg
12121 gttaacccat attggtaatc atactcaaaa gcacttttca ccctacattc tactagccaa
12181 tcaaagacaa agagttgtgg cctctaccat tgccttggct tctggacacc ctcacaagct
12241 atcccaaggt tcccgctcaa ctccagggag gctgacatct tcacatccac tgggcatata
12301 atattgcatg agaccaaagt ctccacactc tttgcagcct cctccatgaa tcccaatggc
12361 ctgcacttgt acagtttggg tgtttgatag ataaagcacg tatgagaaga gaaaacaaaa
12421 taaatcaact ttttaaaaaa gccagcactg tgctgtcaat gtttttttt tcttttcaat
12481 totagotoag aaaagoagaa ggtaaataat gtoaggtoaa tgaatatoag atatatttt
12541 tgactgtaca ttacagtgaa gtgtaatctt tttacacctg caagtccatc ttatttattc
12601 ttgtaaatgt tccctgacaa tgtttgtaat atggctgtgt taaaaaatct atacaataaa
12661 gctgtgaccc tgagattcat gttttcctaa gataaaaaaa a
```

ES 2 663 069 T3

MASLAALALSLLLRLOLPPLPGARAOSAAGGCSFDEHYSNCGYSVALGTNGFTWEQINTWEKPMLDQAVPTG SFMMVNSSGRASGOKAHLLLPTLKENDTHCIDFHYYFSSRDRSSPGALNVYVKVNGGPQGNPVWNVSGVVTE GWVKAELAISTFWPHFYQVIFESVSLKGHPGYIAVDEVRVLAHPCRKAPHFLRLQNVEVNVGQNATFQCIAG GKWSOHDKLWLOOWNGRDTALMVTRVVNHRRFSATVSVADTAORSVSKYRCVIRSDGGSGVSNYAELIVKEP PTPIAPPELLAVGATYLWIKPNANSIIGDGPIILKEVEYRTTTGTWAETHIVDSPNYKLWHLDPDVEYEIRV LLTRPGEGGTGPPGPPLTTRTKCADPVHGPONVEIVDIRAROLTLOWEPFGYAVTRCHSYNLTVQYQYVFNQ QQYEAEEVIQTSSHYTLRGLRPFMTIRLRLLLSNPEGRMESEELVVQTEEDVPGAVPLESIQGGPFEEKIYI OWKPPNETNGVITLYEINYKAVGSLDPSADLSSORGKVFKLRNETHHLFVGLYPGTTYSFTIKASTAKGFGP PVTTRIATKISAPSMPEYDTDTPLNETDTTITVMLKPAQSRGAPVSVYQLVVKEERLQKSRRAADIIECFSV PVSYRNASSLDSLHYFAAELKPANLPVTOPFTVGDNKTYNGYWNPPLSPLKSYSIYFQALSKANGETKINCV RLATKAPMGSAQVTPGTPLCLLTTGASTQNSNTVEPEKQVDNTVKMAGVIAGLLMFIIILLGVMLTIKRRRN AYSYSYYLKLAKKQKETQSGAQREMGPVASADKPTTKLSASRNDEGFSSSSQDVNGFTDGSRGELSQPTLTI OTHPYRTCDPVEMSYPRDOFOPAIRVADLLOHITOMKRGOGYGFKEEYEALPEGQTASWDTAKEDENRNKNR YGNIISYDHSRVRLLVLDGDPHSDYINANYIDGYHRPRHYIATQGPMQETVKDFWRMIWQENSASIVMVTNL VEVGRVKCVRYWPDDTEVYGDIKVTLIETEPLAEYVIRTFTVOKKGYHEIRELRLFHFTSWPDHGVPCYATG LLGFVRQVKFLNPPEAGPIVVHCSAGAGRTGCFIAIDTMLDMAENEGVVDIFNCVRELRAQRVNLVQTEEQY VFVHDAILEACLCGNTAIPVCEFRSLYYNISRLDPQTNSSQIKDEFQTLNIVTPRVRPEDCSIGLLPRNHDK NRSMDVLPLDRCLPFLISVDGESSNYINAALMDSHKQPAAFVVTQHPLPNTVADFWRLVFDYNCSSVVMLNE MDTAQFCMQYWPEKTSGCYGPIQVEFVSADIDEDIIHRIFRICNMARPQDGYRIVQHLQYIGWPAYRDTPPS KRSLLKVVRRLEKWOEOYDGREGRTVVHCLNGGGRSGTFCAICSVCEMIQQQNIIDVFHIVKTLRNNKSNMV ETLEQYKFVYEVALEYLSSF

TDRD1 NM 198795.1 → NP 942090.1 proteina 1 que contiene el dominio tudor

```
1 gctgaggcca ggagggcgca ctggggattg gaggcgaggg aagtgcaggg cgcatcccag
  61 geggeaggge teccageate ggeagtegee ateacegeea gacegeagag acaggttegg
 121 atccgcggtc ctcttgcctc tttccaggcc tcgatgagtg ttaaatcgcc atttaatgtg
 181 atgtcaagaa ataatttgga agcacctcct tgtaagatga cagagccatt taattttgag
 241 aaaaatgaaa acaagettee accacatgag tetttaagaa gteetggaac actteetaac
 301 caccctaatt tcaggctgaa aagctcagag aatggaaata aaaagaacaa ttttttgctt
 361 tgtgagcaaa ccaaacaata tttggctagt caggaagaca attcagtttc ttcaaacccg
 421 aatggcatca acggagaagt agttggctcc aaaggagaca ggaaaaaatt gccagcagga
 481 aactcagtgt caccaccaag tgctgaaagt aattcaccac ccaaagaagt gaatattaag
 541 cctggaaata atgtacgtcc tgcaaaatca aaaaaactaa acaagttggt cgagaattcc
 601 ttgtccataa gtaatccagg gctcttcacc tccttaggac ctcctcttcg gtccacaact
 661 tgccatcgct gtggcctatt tggatcgctg aggtgctctc agtgcaagca gacctactat
 721 tgctccacag catgtcaaag aagagactgg tctgcacaca gcatcgtgtg caggcctgtt
 781 cagccaaatt tccacaaact tgaaaataaa tcatctattg aaacaaagga tgtggaggta
 841 aacaataaga gtgactgtcc acttggagtt actaaggaaa tagccatttg ggctgagaga
 901 ataatgtttt ctgatttgag aagtctacaa ctcaagaaaa ccatggaaat aaagggtacg
 961 gttaccgaat tcaaacaccc aggggacttc tacgtgcagt tatattcttc agaagtttta
1021 gaatacatga accaactete tgecagetta aaagaaacat atgeaaatgt geatgaaaaa
1081 gactatattc ctgttaaggg ggaagtttgt attgccaagt acactgttga tcagacctgg
1141 aacagagcaa tcatacaaaa cgttgatgtg cagcaaaaga aggcacatgt cttatatatt
1201 gattatggaa atgaagaaat aattccatta aacagaattt accacctcaa caggaacatt
1261 gacttgtttc ctccttgtgc cataaagtgc tttgtagcca atgttatccc agcagaaggg
1321 aattggagca gtgattgtat caaagctact aaaccactgt taatggagca gtactgctcc
1381 ataaagattg tcgacatctt ggaagaggaa gtggttacct ttgctgtaga agttgagctg
1441 ccaaattcag gaaaactttt agaccatgtg cttatagaaa tgggatatgg cttgaaaccc
1501 agtggacaag attctaagaa ggaaaatgca gatcaaagtg atcctgaaga tgttggaaaa
1561 atgacaactg aaaacaacat tgtcgtagac aaaagtgacc taatcccaaa agtgttaact
1621 ttgaatgtag gtgatgagtt ttgtggtgtg gttgcccaca ttcaaacacc agaagacttc
1681 ttttgtcaac aactgcaaag tggccgaaag cttgctgaac ttcaggcatc ccttagcaag
1741 tactgtgatc agttqcctcc acqctctqat ttttatccaq ccattqqtqa tatatqttqt
1801 gctcagttct cagaggatga tcagtggtac cgtgcctctg ttttggctta cgcttctgaa
1861 gaatctgtac tggtcggata tgtagattat ggaaactttg aaatccttag tttgatgaga
1921 ctttgtccca taatcccaaa gttgttggaa ttgccaatgc aagctataaa gtgtgtacta
1981 gcaggagtaa agccatcatt aggaatttgg actccagaag ctatttgtct catgaaaaaa
2041 cttgtacaga acaaaataat cacagtgaaa gtggtggaca agttggaaaa cagttccctg
2101 gtggagetta ttgataaate egagaegeet catgteagtg ttageaaagt teteetagat
2161 gcaggctttg ctgtgggaga acagagtatg gtgacagata aacccagtga cgtgaaagaa
2221 accagtgttc ccttgggtgt ggaaggaaaa gtaaatccat tggagtggac atgggttgaa
2281 cttggtgttg accaaacagt agatgttgtg gtctgtgtga tatatagtcc tggagaattt
2341 tattgccatg tgcttaaaga ggatgcttta aagaaactca atgatttgaa caagtcatta
2401 gcagaacact gccagcagaa gttacctaat ggtttcaagg cagagatagg acaaccttgt
2461 tgtgcttttt ttgcaggtga tggtagttgg tatcgtgctt tagtcaagga aatcttacca
2521 aatggacatg ttaaagtaca ttttgtggat tatggaaaca tcgaagaagt tactgcagat
2581 gaacteegaa tgatateate aacattttta aacetteeet tteagggaat aeggtgeeag
2641 ttagcagata tacagtctag aaacaaacat tggtctgaag aagccataac aagattccag
2701 atgtgtgttg ctgggataaa attgcaagcc agagtggttg aagtcactga aaatgggata
2761 ggagttgaac tcaccgatct ctccacttgt tatcccagaa taattagtga tgttctgatt
2821 gatgaacatc tggttttaaa atctgcttca ccacataaag acttaccaaa tgacagactt
2881 gttaataaac atgagcttca agttcatgta cagggacttc aagctacctc ttcagctgag
2941 caatggaaga cgatagaatt gccagtggat aaaactatac aagcaaatgt attagaaatc
```

```
3001 ataageeeaa aettgtttta tgetetaeea aaagggatge cagaaaatea ggaaaagetg
3061 tgcatgttga cagctgaatt attagaatac tgcaatgctc cgaaaagtcg accaccctat
3121 agaccaagaa ttggagacgc atgctgtgcc aaatacacaa gtgatgattt ttggtatcgt
3181 gcagttgttc tggggacatc agacactgat gtggaagtgc tctatgcaga ctatggaaac
3241 attgaaaccc tgcctctttg cagagtgcaa ccaatcacct ctagccacct ggcgcttcct
3301 ttccaaatta ttagatgttc acttgaagga ttaatggaat tgaatggaag ctcttctcaa
3361 ttaataataa tqctattaaa aaatttcatg ttgaatcaga atgtaatgct ttctgtgaaa
3421 ggaattacaa agaatgtcca tacagtgtca gttgagaaat gttctgagaa tgggactgtc
3481 gatgtagctg ataagctagt gacatttggt ctggcaaaaa acatcacacc tcaaaggcag
3541 agtgctttaa atacagaaaa gatgtatagg atgaattgct gctgcacaga gttacagaaa
3601 caagttgaaa aacatgaaca tattettete tteetettaa acaatteaac caatcaaaat
3661 aaatttattg aaatgaaaaa actgttaaaa aaaacagcat ctcttggagg taaaccctta
3721 tqaqacaqqa aacaqcaaaq qctaqcttta ggagagaaag tacagcacct ggtgttttta
3781 tttatgagaa ccttttcttt gtccactttc tctgtaatga ccttctatcc ctccgttttt
3841 gcctgcctgc cattctccta ttaggttggt ggtttttatt ttcctctaag ttccttccac
3901 caaataaata ttacgtaaaa aattcatacc aaatcaatga gaatactggc aaggaataca
3961 tagggacttt ctgctatata tgtaactttt tattacttaa aggtaccgaa ggaaggccag
4021 gtgcagtggc tcacgcccag cactttggga ggctgaggtg ggaggatccc ttgaggccag
4081 gagttcaagg ttacagtgag ctatgatagt gccactgcac tccagcctgg gtgacagatt
4141 ttgtcttaaa aaaaaaaaa aaaaagttga tatgagtttt attttctgtc cgtttgaaat
4201 attttgtaat attccctgca ttctctgtcg tctgcctctt ccacataatg tcctttgctt
4261 teatgtttgt tatettettt ttetgtteac teagaggtea teaatttett teteteegte
4321 cttaattgga ttattttct tttggccttt gggcacagag tctgacctct ggaccactct
4381 aactggagaa ggaactttat gttccctctc ctgctgtgtc cacaacctta gaaatctgta
4441 gctagatttt tgttgttata gatagaattt actgtttctg aaacccaaat acagttatca
4501 gtttaaggtt
```

MSVKSPFNVMSRNNLEAPPCKMTEPFNFEKNENKLPPHESLRSPGTLPNHPNFRLKSSENGNKKNNFLLCEQ TKQYLASQEDNSVSSNPNGINGEVVGSKGDRKKLPAGNSVSPPSAESNSPPKEVNIKPGNNVRPAKSKKLNK LVENSLSISNPGLFTSLGPPLRSTTCHRCGLFGSLRCSQCKQTYYCSTACQRRDWSAHSIVCRPVQPNFHKL ENKSSIETKDVEVNNKSDCPLGVTKEIAIWAERIMFSDLRSLQLKKTMEIKGTVTEFKHPGDFYVQLYSSEV LEYMNQLSASLKETYANVHEKDYIPVKGEVCIAKYTVDQTWNRAIIQNVDVQQKKAHVLYIDYGNEEIIPLN RIYHLNRNIDLFPPCAIKCFVANVIPAEGNWSSDCIKATKPLLMEQYCSIKIVDILEEEVVTFAVEVELPNS GKLLDHVLIEMGYGLKPSGODSKKENADOSDPEDVGKMTTENNIVVDKSDLIPKVLTLNVGDEFCGVVAHIQ TPEDFFCOOLOSGRKLAELOASLSKYCDQLPPRSDFYPAIGDICCAQFSEDDQWYRASVLAYASEESVLVGY VDYGNFEILSLMRLCPIIPKLLELPMOAIKCVLAGVKPSLGIWTPEAICLMKKLVQNKIITVKVVDKLENSS LVELIDKSETPHVSVSKVLLDAGFAVGEOSMVTDKPSDVKETSVPLGVEGKVNPLEWTWVELGVDQTVDVVV CVIYSPGEFYCHVLKEDALKKLNDLNKSLAEHCQQKLPNGFKAEIGQPCCAFFAGDGSWYRALVKEILPNGH VKVHFVDYGNIEEVTADELRMISSTFLNLPFQGIRCQLADIQSRNKHWSEEAITRFQMCVAGIKLQARVVEV TENGIGVELTDLSTCYPRIISDVLIDEHLVLKSASPHKDLPNDRLVNKHELQVHVQGLQATSSAEQWKTIEL PVDKTIQANVLEIISPNLFYALPKGMPENQEKLCMLTAELLEYCNAPKSRPPYRPRIGDACCAKYTSDDFWY RAVVLGTSDTDVEVLYADYGNIETLPLCRVQPITSSHLALPFQIIRCSLEGLMELNGSSSQLIIMLLKNFML NONVMLSVKGITKNVHTVSVEKCSENGTVDVADKLVTFGLAKNITPQRQSALNTEKMYRMNCCCTELQKQVE KHEHILLFLLNNSTNONKFIEMKKLLKKTASLGGKPL

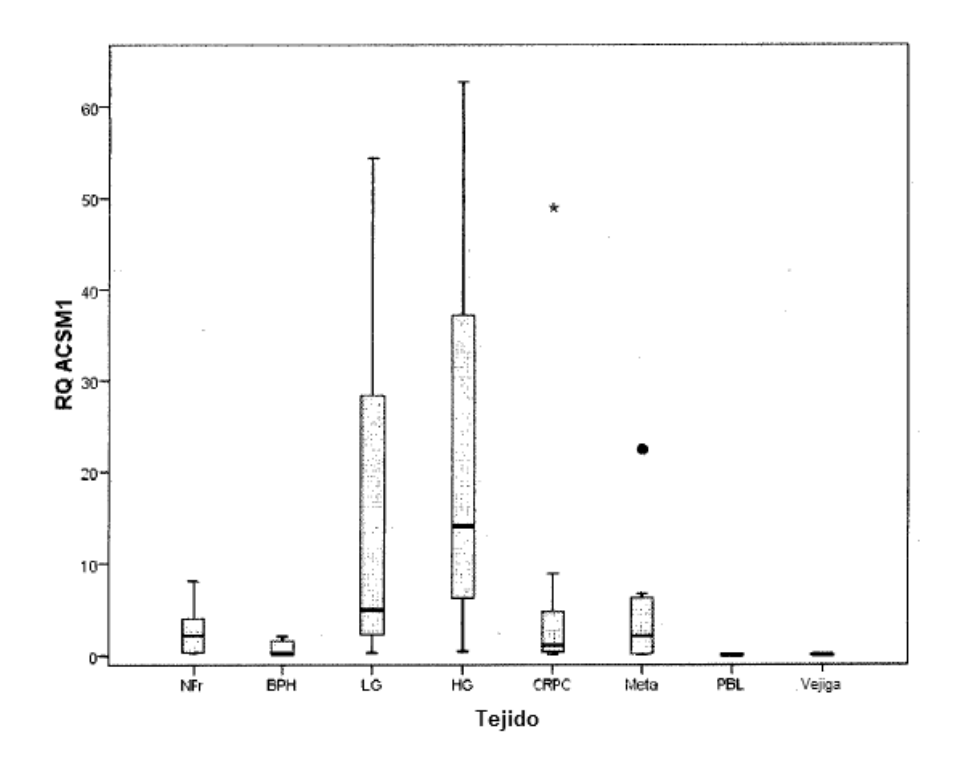
UGT2B15 NM 001076.2 → NP 001067.2 precursor 2B15 de UDP-glucuronosiltransferasa

```
1 aaacaacaac tggaaaagaa gcattgcata agaccaggat gtctctgaaa tggacgtcag
  61 tetttetget gatacagete agttgttaet ttagetetgg aagetgtgga aaggtgetag
 121 tgtggcccac agaatacagc cattggataa atatgaagac aatcctggaa gagcttgttc
 181 agaggggtca tgaggtgact gtgttgacat cttcggcttc tactcttgtc aatgccagta
 241 aatcatctgc tattaaatta gaagtttatc ctacatcttt aactaaaaat tatttggaag
 301 attotottot gaaaattoto gatagatgga tatatggtgt ttoaaaaaat acattttggt
 361 catatttttc acaattacaa qaattgtgtt gggaatatta tgactacagt aacaagctct
 421 gtaaagatgc agttttgaat aagaaactta tgatgaaact acaagagtca aagtttgatg
 481 tcattctggc agatgccctt aatccctgtg gtgagctact ggctgaacta tttaacatac
 541 cctttctgta cagtcttcga ttctctgttg gctacacatt tgagaagaat ggtggaggat
 601 ttctgttccc tccttcctat gtacctgttg ttatgtcaga attaagtgat caaatgattt
 661 tcatggagag gataaaaaat atgatacata tgctttattt tgacttttgg tttcaaattt
 721 atgatctgaa gaagtgggac cagttttata gtgaagttct aggaagaccc actacattat
 781 ttgagacaat ggggaaagct gaaatgtggc tcattcgaac ctattgggat tttgaatttc
 841 ctcgcccatt cttaccaaat gttgattttg ttggaggact tcactgtaaa ccagccaaac
 901 ccctgcctaa ggaaatggaa gagtttgtgc agagctctgg agaaaatggt attgtggtgt
 961 tttctctggg gtcgatgatc agtaacatgt cagaagaaag tgccaacatg attgcatcag
1021 cccttqccca qatcccacaa aaggttctat ggagatttga tggcaagaag ccaaatactt
1081 taggttccaa tactcgactg tacaagtggt taccccagaa tgaccttctt ggtcatccca
1141 aaaccaaagc ttttataact catggtggaa ccaatggcat ctatgaggcg atctaccatg
1201 qqatccctat qqtqqqcatt cccttqtttq cqqatcaaca tqataacatt qctcacatqa
1261 aagccaaggg agcagecete agtgtggaca teaggaceat gteaagtaga gatttgetea
1321 atgcattgaa gtcagtcatt aatgaccctg tctataaaga gaatgtcatg aaattatcaa
1381 qaattcatca tqaccaacca atgaagcccc tggatcgagc agtcttctgg attgagtttg
1441 teatgegeca caaaggagee aageacette gagtegeage teacaacete acetggatee
1501 agtaccactc tttggatgtg atagcattcc tgctggcctg cgtggcaact gtgatattta
1561 tcatcacaaa attttqcctq ttttqtttcc qaaagcttqc caaaaaagga aagaagaaga
1621 aaagagatta gttatatcaa aageetgaag tggaatgaet gaaagatggg acteeteett
1681 tatttcagca tggagggttt taaatggagg atttcctttt tcctgtgaca aaacatcttt
1741 tcacaactta ccttgttaag acaaaattta ttttccaggg atttaatacg tactttagct
1801 gaattattet atgteaatga tttttaaget atgaaaaata caatgggggg aaggatagea
1861 tttggagata tacctaatgt taaatgacga gttactggat gcagcacgcc aacatggcac
1921 atgtatacat atgtagctaa cctgcacgtt gtgcacatgt accctaaaac ttaaagtata
1981 atttaaaaaa agcaaaaaaa aaaaatacaa ctctttttt taaaccagga aggaaaatgt
2041 gaacatggaa acaacttcta gtattggatc tgaaaataaa gtgtcatcca agccataaaa
2101 aaaaaagaaa agaaaaataa aaataatata aaaccttaaa aaaa
```

MSLKWTSVFLLIQLSCYFSSGSCGKVLVWPTEYSHWINMKTILEELVQRGHEVTVLTSSASTLVNASKSS
AIKLEVYPTSLTKNYLEDSLLKILDRWIYGVSKNTFWSYFSQLQELCWEYYDYSNKLCKDAVLNKKLMMK
LQESKFDVILADALNPCGELLAELFNIPFLYSLRFSVGYTFEKNGGGFLFPPSYVPVVMSELSDQMIFME
RIKNMIHMLYFDFWFQIYDLKKWDQFYSEVLGRPTTLFETMGKAEMWLIRTYWDFEFPRPFLPNVDFVGG
LHCKPAKPLPKEMEEFVQSSGENGIVVFSLGSMISNMSEESANMIASALAQIPQKVLWRFDGKKPNTLGS
NTRLYKWLPQNDLLGHPKTKAFITHGGTNGIYEAIYHGIPMVGIPLFADQHDNIAHMKAKGAALSVDIRT
MSSRDLLNALKSVINDPVYKENVMKLSRIHHDQPMKPLDRAVFWIEFVMRHKGAKHLRVAAHNLTWIQYH
SLDVIAFLLACVATVIFIITKFCLFCFRKLAKKGKKKKRD

FIGURA 14

ACSM1	Media ²log	Mediana (RQ)	Media(RQ)
	Genechip®	TLDA	TLDA
NPr	4,14	2,17	2,85
ВРН	3,69	0,26	0,72
LG	7,21	4,92	15,18
HG	7,22	14,08	27,47
CRPC	5,65	1,07	5,96
Meta	6,50	2,04	4,91
Vejiga normal	-	0,04	0,04
PBL	-	0,05	0,05
Sedimento urinario sin PrCa	-	1,31	2,88
Sedimento urinario PrCa	-	3,58	8,03



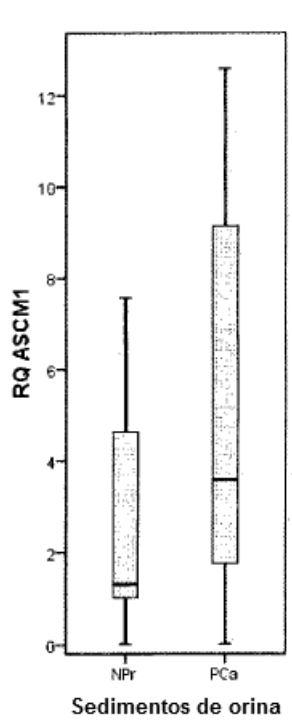
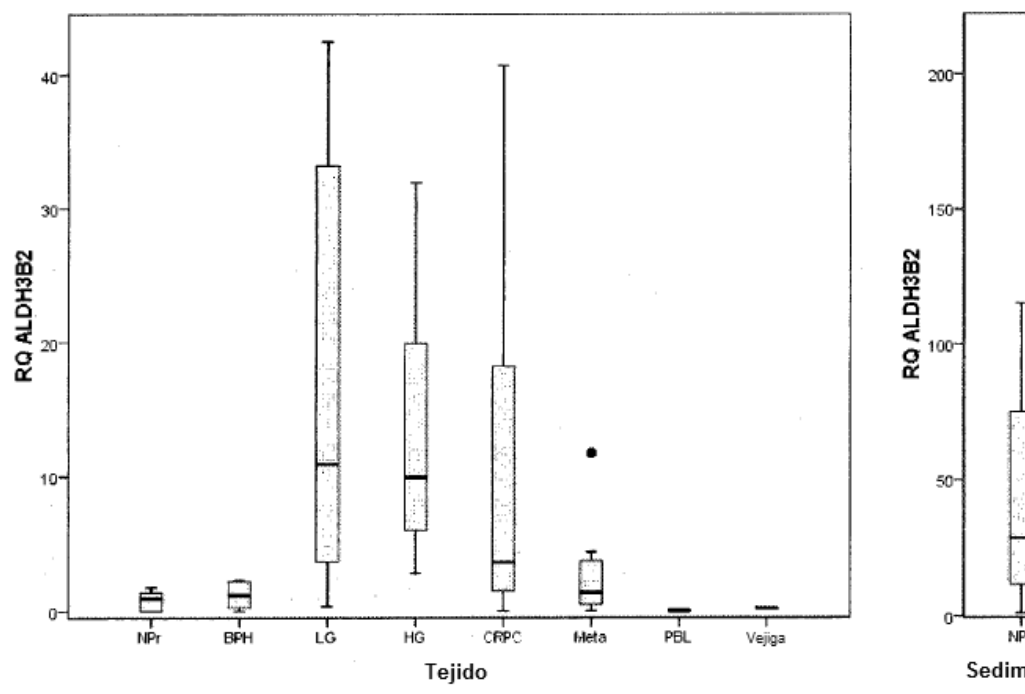


FIGURA 15

ALDH3B2	Media ² log	Mediana (RQ)	Media (RQ)
	Genechip [®]	TLDA	TLDA
NPr	3,42	0,93	0,84
врн	3,60	1,18	1,19
LG	6,05	10,93	17,81
HG	5,78	9,95	23,00
CRPC	4,64	3,66	9,38
Meta	5,68	1,38	2,90
Vejiga normal	-	0,19	0,19
PBL	-	0,01	0,01
Sedimento urinario sin PrCa	-	28,66	45,41
Sedimento urinario PrCa	-	42,61	118,89



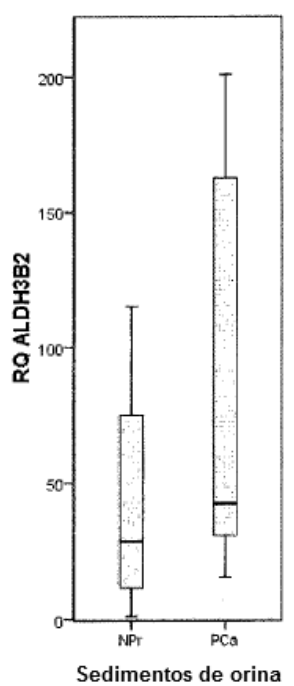


FIGURA 16

CGREF1	Media ² log	Mediana (RQ)	Media (RQ)
	Genechip®	TLDA	TLDA
NPr	4,32	0,78	0,79
ВРН	4,25	0,24	0,41
LG	5,74	3,87	4,79
HG	6,28	6,21	6,38
CRPC	6,07	4,10	4,25
Meta	7,19	5,46	5,34
Vejiga normal	-	0,08	0,08
PBL	-	0,01	0,01
Sedimento urinario sin PrCa	-	0,55	0,53
Sedimento urinario PrCa	-	1,33	2,19

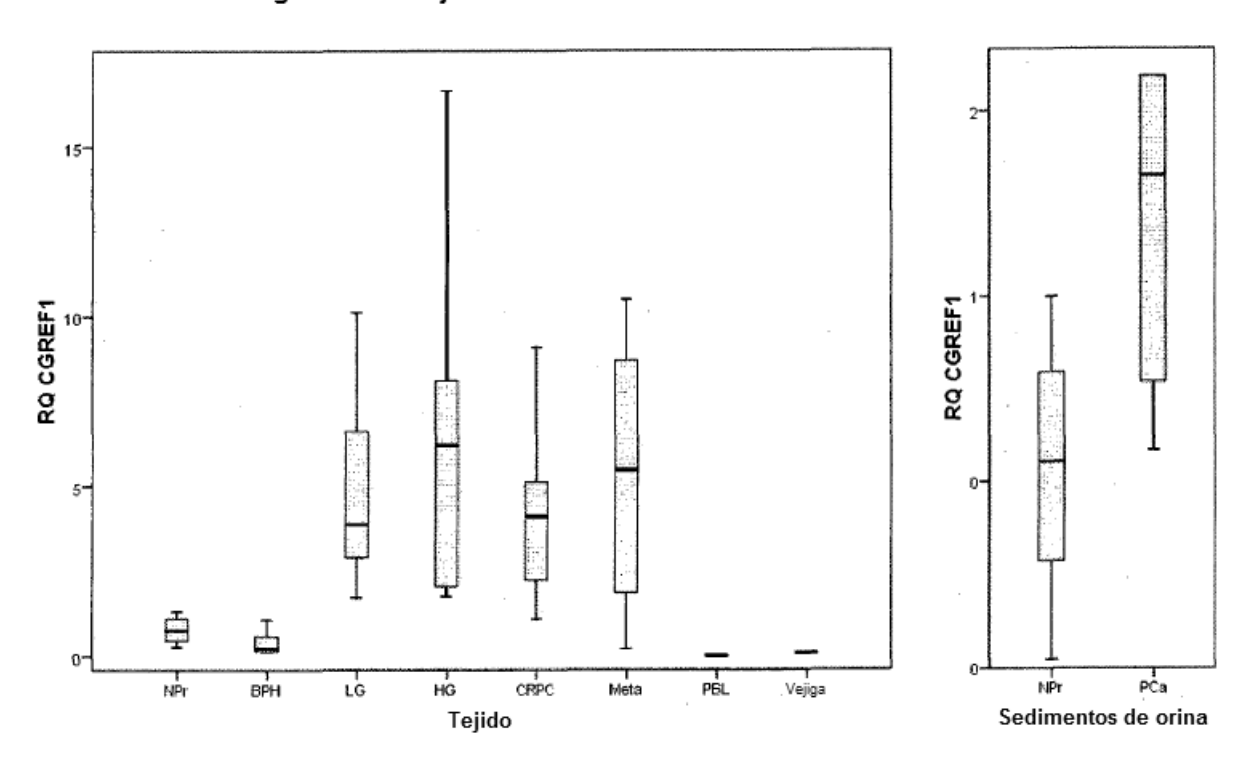


FIGURA 17

COMP	Media ² log	Mediana (RQ)	Media (RQ)
	Genechip®	TLDA	TLDA
NPr	4,32	1,02	0,96
ВРН	4,75	1,02	0,99
LG	5,48	4,97	8,66
HG	6,33	12,56	20,73
CRPC	6,12	9,13	31,24
Meta	5,12	0,39	3,71
pT2	5,38	-	-
pT3	6,84		-
Vejiga normal	-	0,33	0,33
PBL	-	0,00	0,00
Sedimento urinario sin PrCa	-	1,00	1,00
Sedimento urinario PrCa	-	1,00	67,29

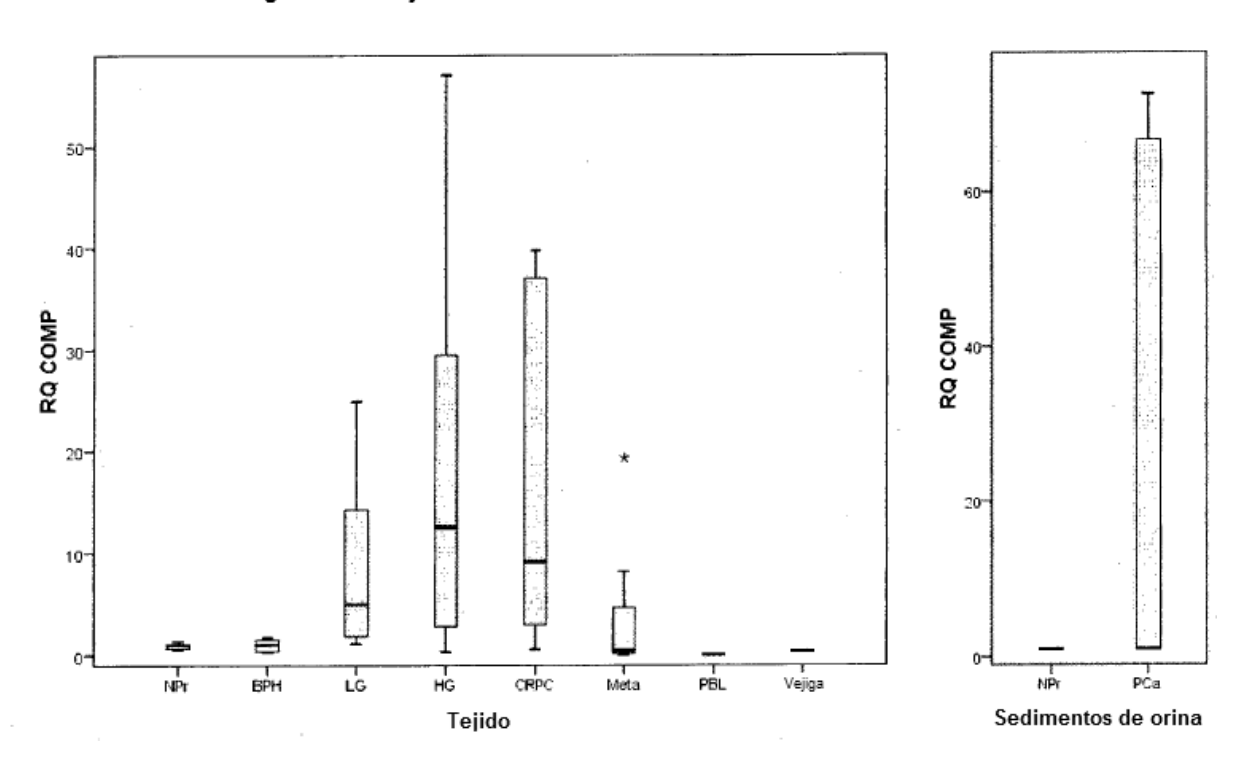


FIGURA 18

C19orf48	Media ² log	Mediana (RQ)	Media (RQ)
	Genechip®	TLDA	TLDA
NPr	6,07	0,48	0,51
ВРН	6,79	0,13	0,27
LG	8,56	1,81	2,07
HG	8,70	1,48	1,76
CRPC	8,49	0,72	1,12
Meta	9,53	1,80	1,56
Vejiga normal	-	0,05	0,05
PBL	-	0,06	0,06
Sedimento urinario sin PrCa	-	1,00	1,05
Sedimento urinario PrCa	-	1,10	1,33

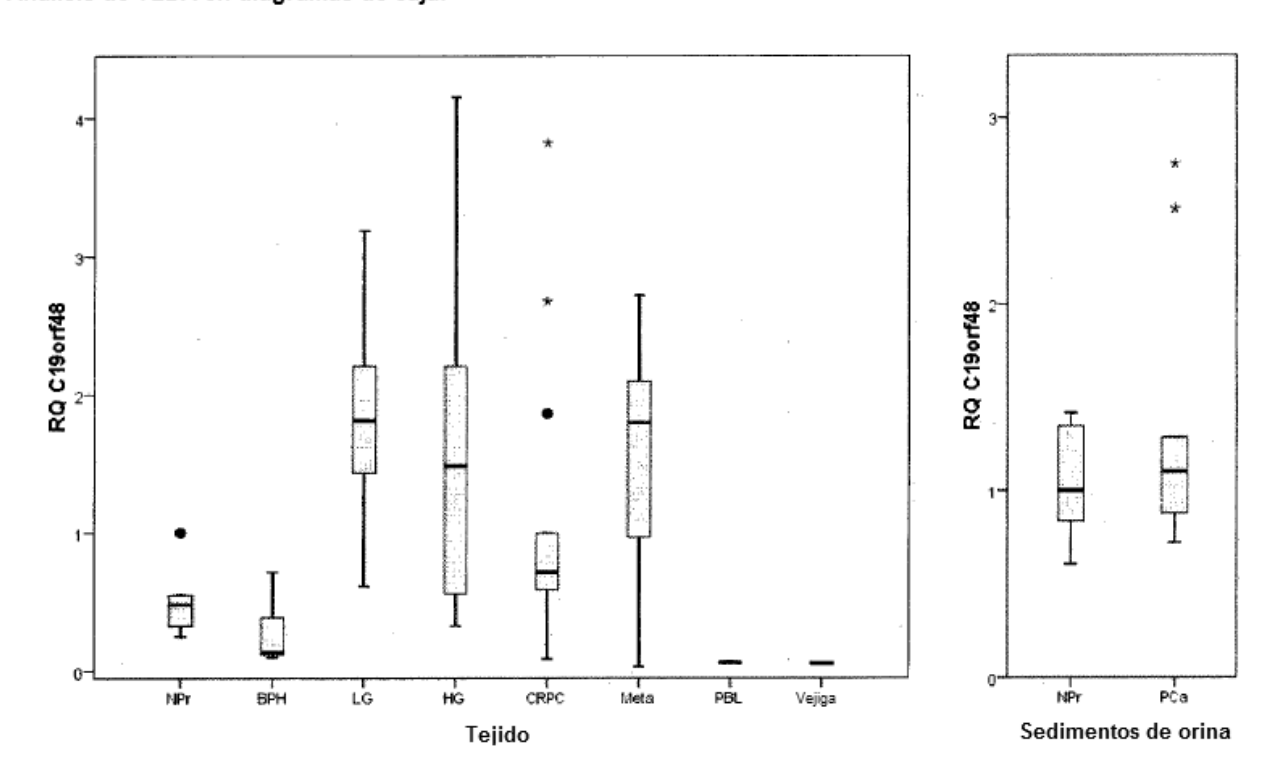


FIGURA 19

DLX1	Media ² log	Mediana (RQ)	Media (RQ)
	Genechip®	TLDA	TLDA
NPr	4,03	0,02	0,18
врн	4,07	0,00	0,05
LG	6,10	7,62	9,17
HG	5,61	3,06	4,82
CRPC	5,88	2,35	4,03
Meta	6,51	3,42	4,72
Vejiga normal	-	0,00	0,00
PBL	-	0,02	0,02
Sedimento urinario sin PrCa	-	0,01	0,40
Sedimento urinario PrCa	-	2,21	11,06

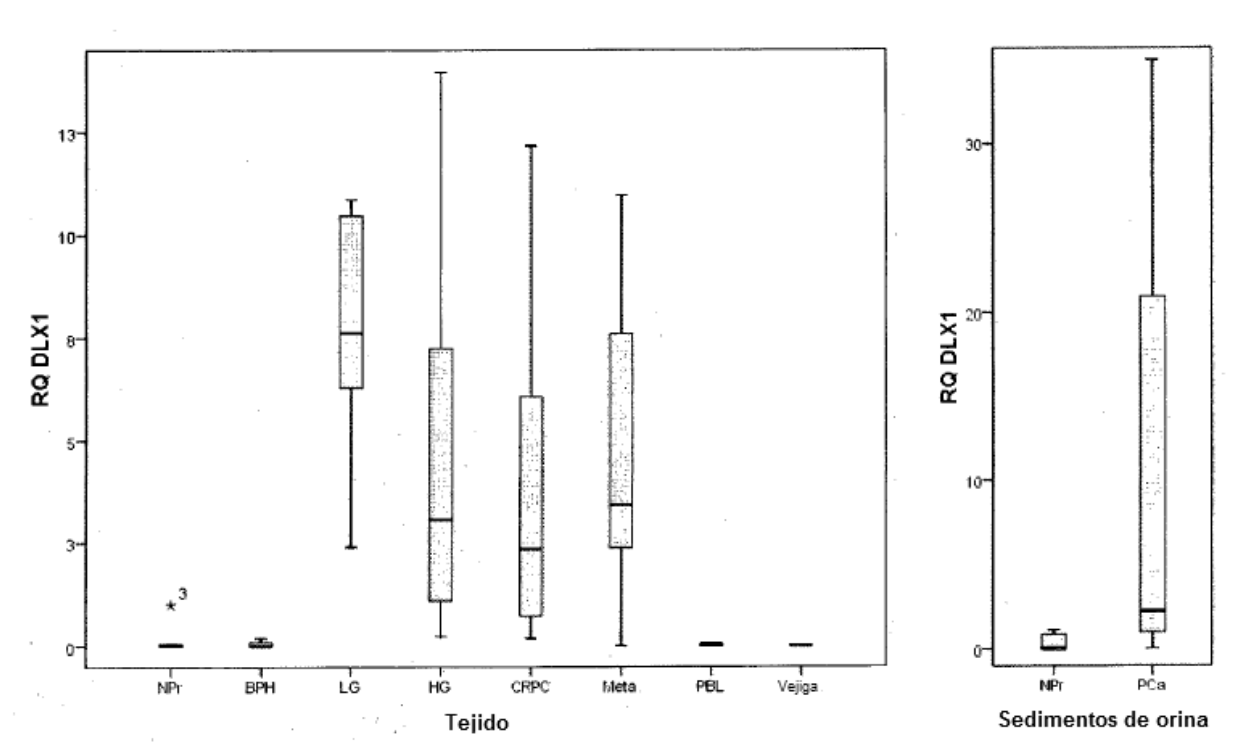
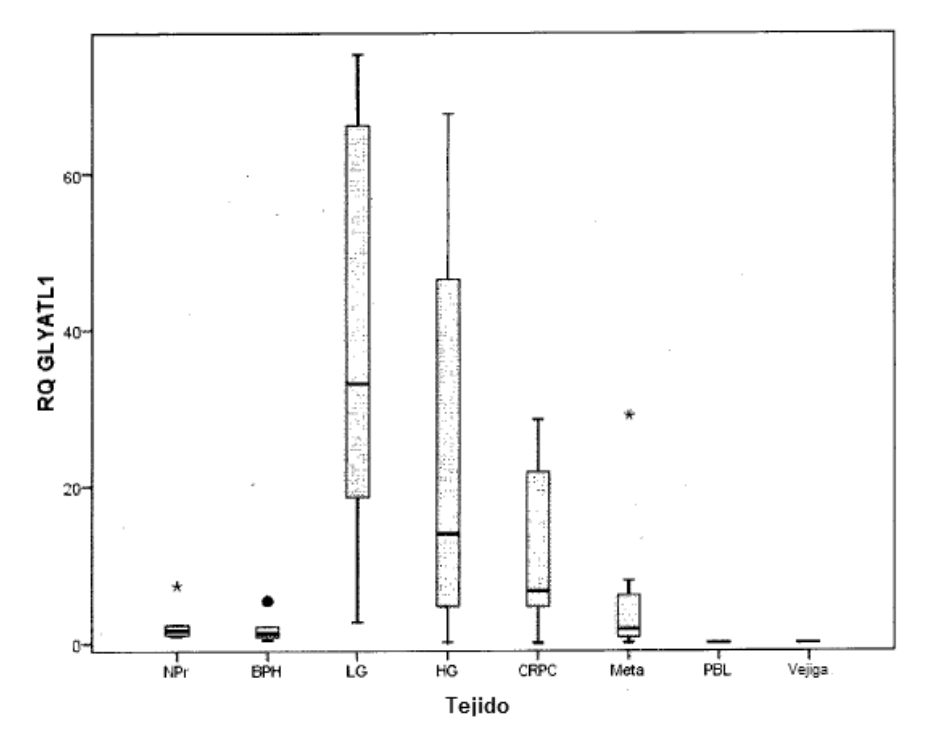


FIGURA 20

GLYATL1	Media ² log	Mediana (RQ)	Media (RQ)
	Genechip®	TLDA	TLDA
NPr	4,32	1,62	2,45
ВРН	4,68	1,24	1,85
LG	7,79	33,11	37,50
HG	7,55	13,92	24,04
CRPC	6,65	6,58	12,35
Meta	6,31	1,70	5,74
Vejiga normal	-	0,00	0,00
PBL	-	0,03	0,03
Sedimento urinario sin PrCa	-	1,38	1,91
Sedimento urinario PrCa	-	1,81	3,54



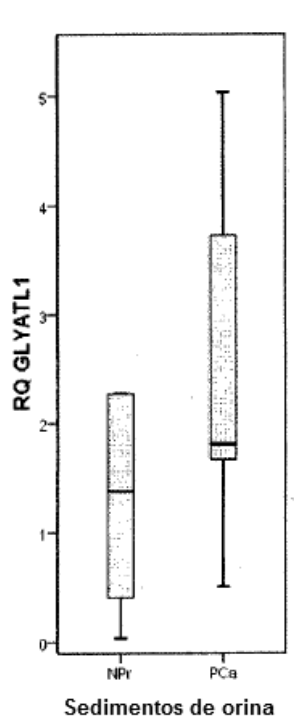
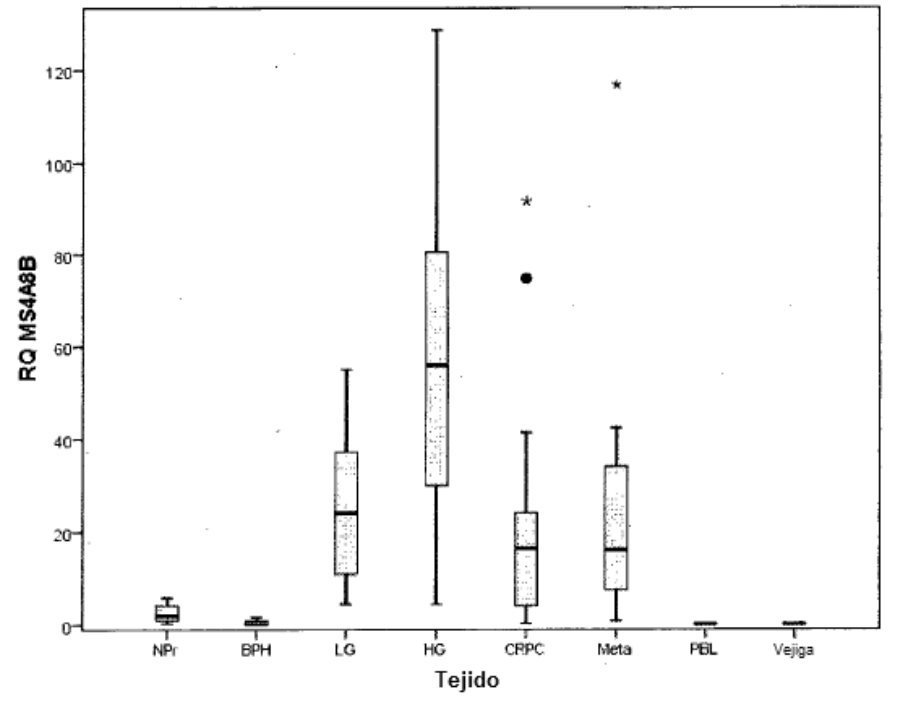


FIGURA 21

MS4A8B	Media ² log	Mediana (RQ)	Media (RQ)
	Genechip®	TLDA	TLDA
NPr	3,57	1,92	2,52
врн	3,21	0,17	0,50
LG	5,63	24,14	26,07
HG	6,17	56,03	59,09
CRPC	4,89	16,43	23,79
Meta	6,27	16,10	29,12
Vejiga normal	-	0,00	0,00
PBL	-	0,00	0,00
Sedimento urinario sin PrCa	-	3,40	6,89
Sedimento urinario PrCa	<u>-</u>	9,39	28,46



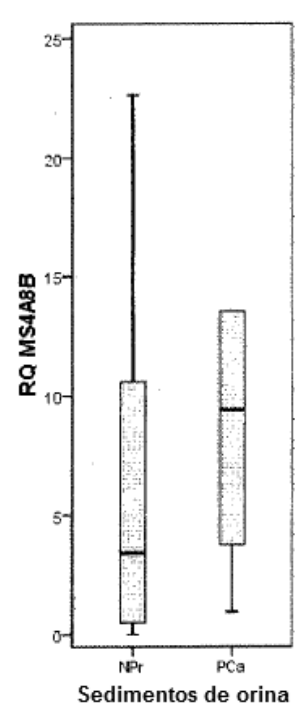
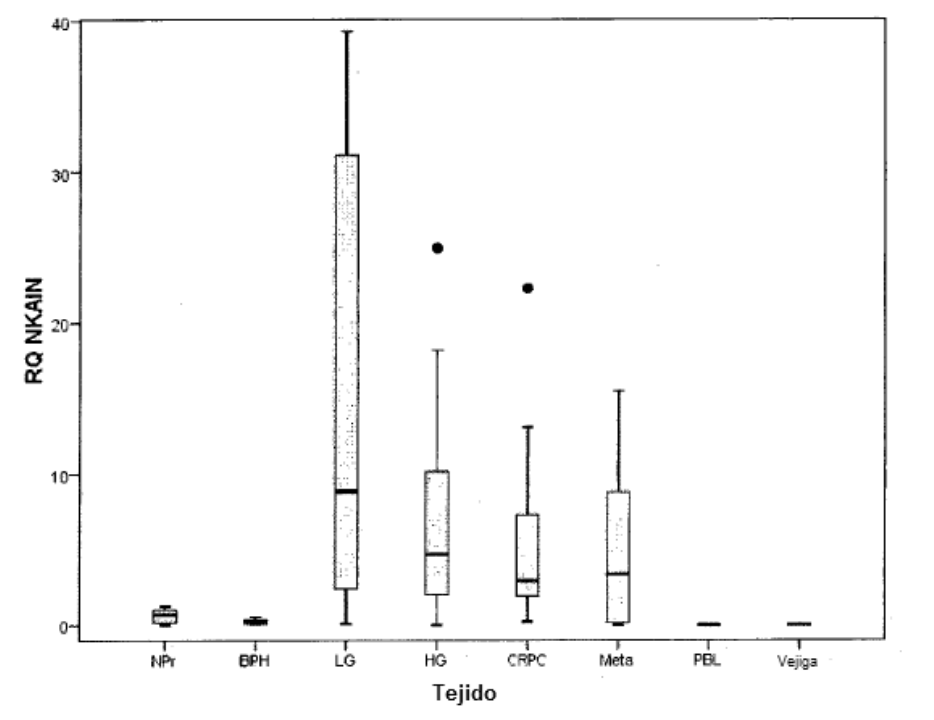


FIGURA 22

NKAIN1	Media ² log	Mediana (RQ)	Media (RQ)
	Genechip®	TLDA	TLDA
NPr	3,46	0,70	0,65
ВРН	3,39	0,23	0,25
LG	5,48	8,82	15,36
HG	5,27	4,69	7,03
CRPC	5,12	2,91	5,51
Meta	5,58	3,34	5,00
Vejiga normal	-	0,00	0,00
PBL	-	0,00	0,00
Sedimento urinario sin PrCa	-	0,00	0,23
Sedimento urinario PrCa	-	1,24	1,79



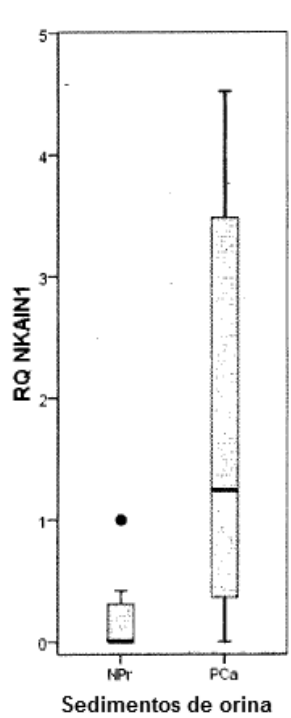


FIGURA 23

PPFIA2	Media ² log	Mediana (RQ)	Media (RQ)
	Genechip®	TLDA	TLDA
NPr	3,60	16,37	20,07
ВРН	3,18	8,37	11,72
LG	4,48	23,66	153,69
HG	5,92	32,09	187,28
CRPC	5,71	80,95	480,83
Meta	7,40	84,10	222,19
Vejiga normal	-	2,95	2,95
PBL	-	0,00	0,00
Sedimento urinario sin PrCa	-	158,13	197, 22
Sedimento urinario PrCa	-	844,53	6002,15

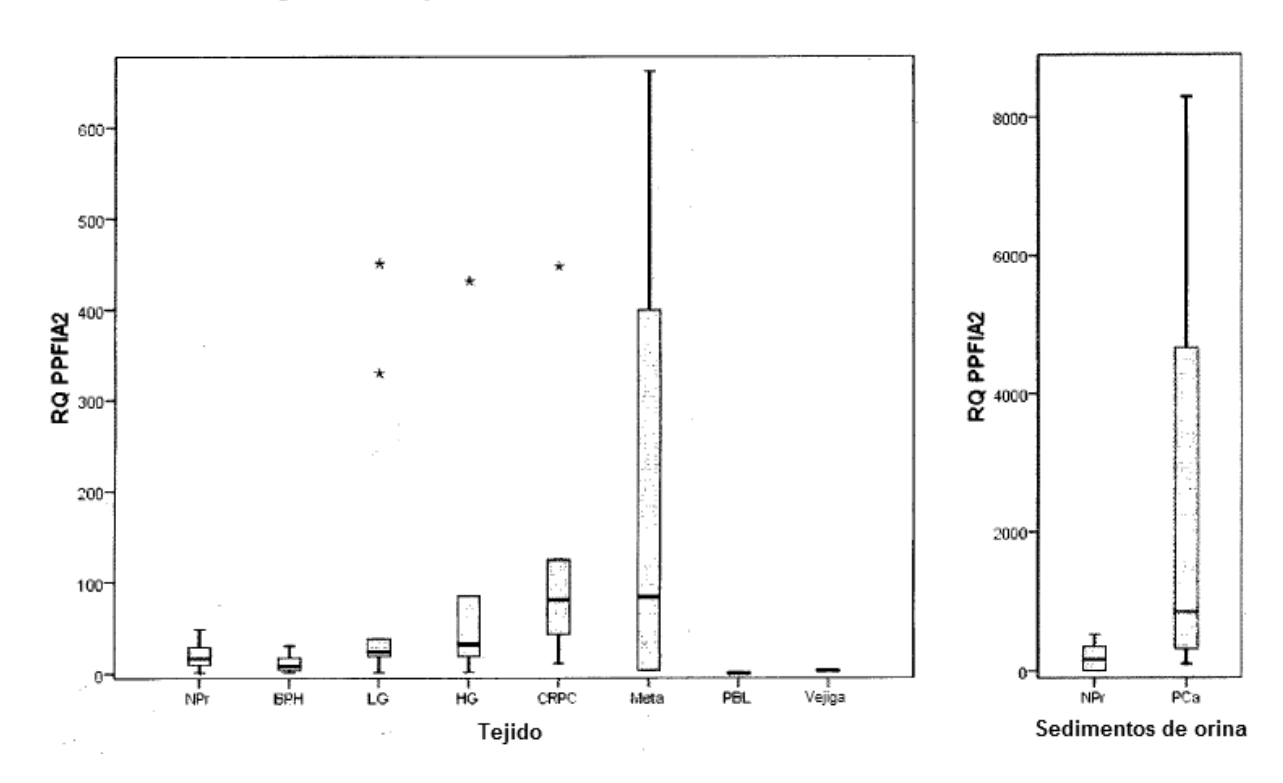


FIGURA 24

PTPRT	Media ² log	Mediana (RQ)	Media (RQ)
	Genechip®	TLDA	TLDA
NPr	3,09	0,96	1,16
врн	3,11	0,41	0,74
LG	5,08	6,61	20,58
HG	5,25	14,85	28,94
CRPC	6,17	6,15	40,79
Meta	6,56	14,41	38,11
Vejiga normal	-	0,38	0,38
PBL	-	0,00	0,00
Sedimento urinario sin PrCa	-	44,63	64,48
Sedimento urinario PrCa	-	200,30	2472,46

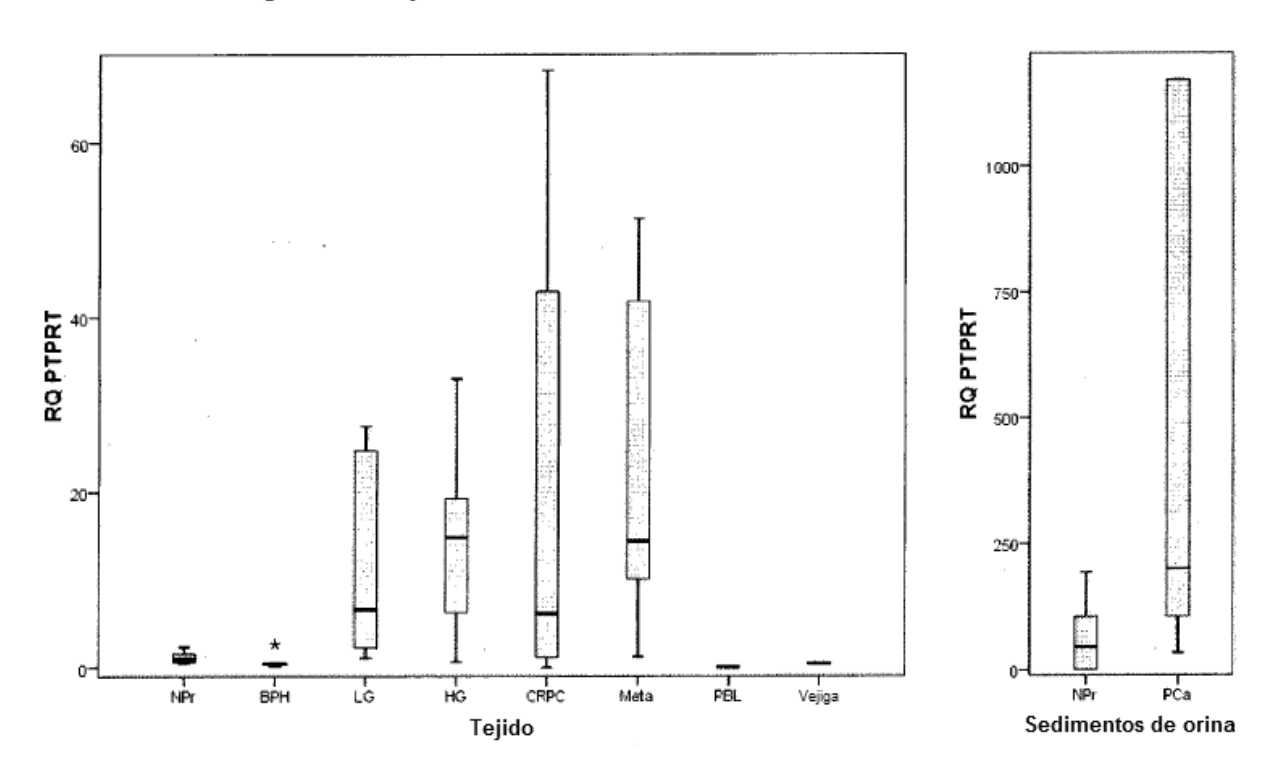


FIGURA 25

TDRD1	Media ² log	Mediana (RQ)	Media RQ)
	Genechip®	TLDA	TLDA
NPr	3,59	5,56	8,56
врн	3,64	3,41	13,20
LG	6,60	1259,10	1575,97
HG	6,46	405,62	781,12
CRPC	7,24	669,06	917,54
Meta	6,85	343,05	567,62
Vejiga normal	-	0,02	0,02
PBL	-	8,20	8,20
Sedimento urinario sin PrCa	-	1,53	69,46
Sedimento urinario PrCa	-	36,08	103,11

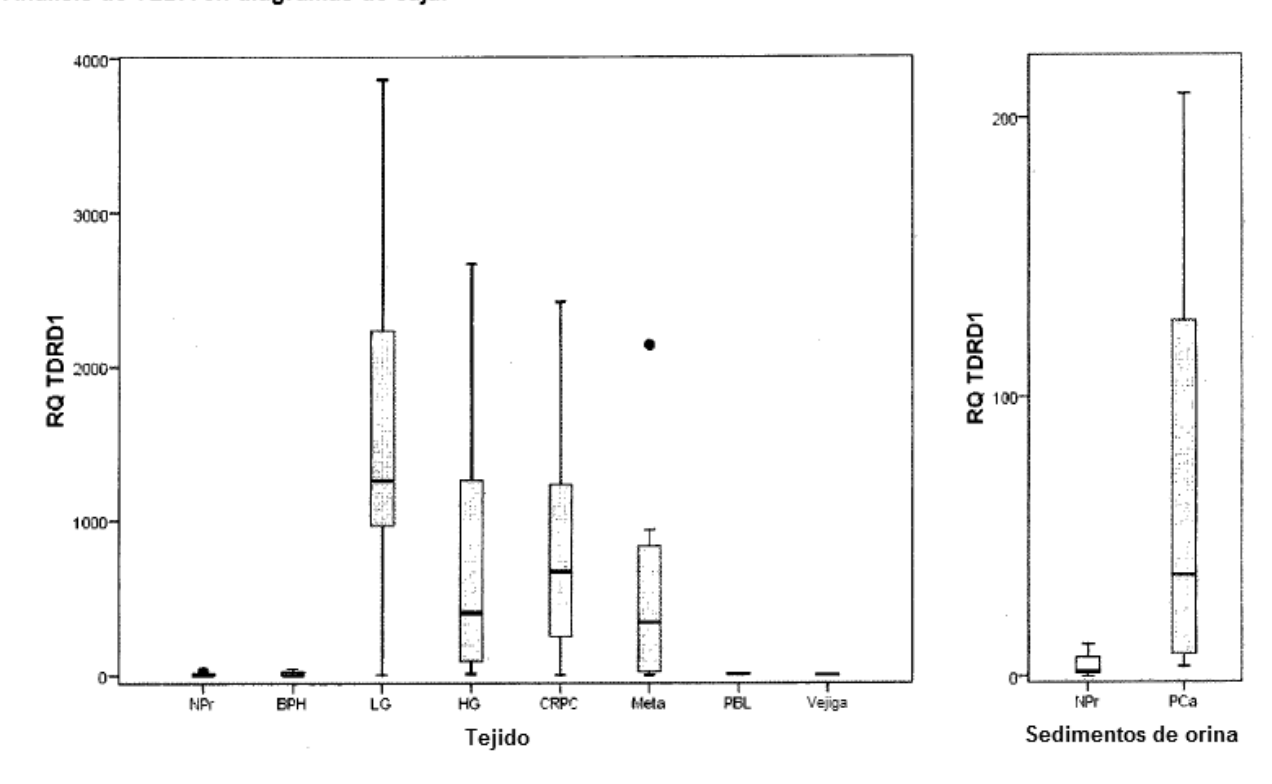
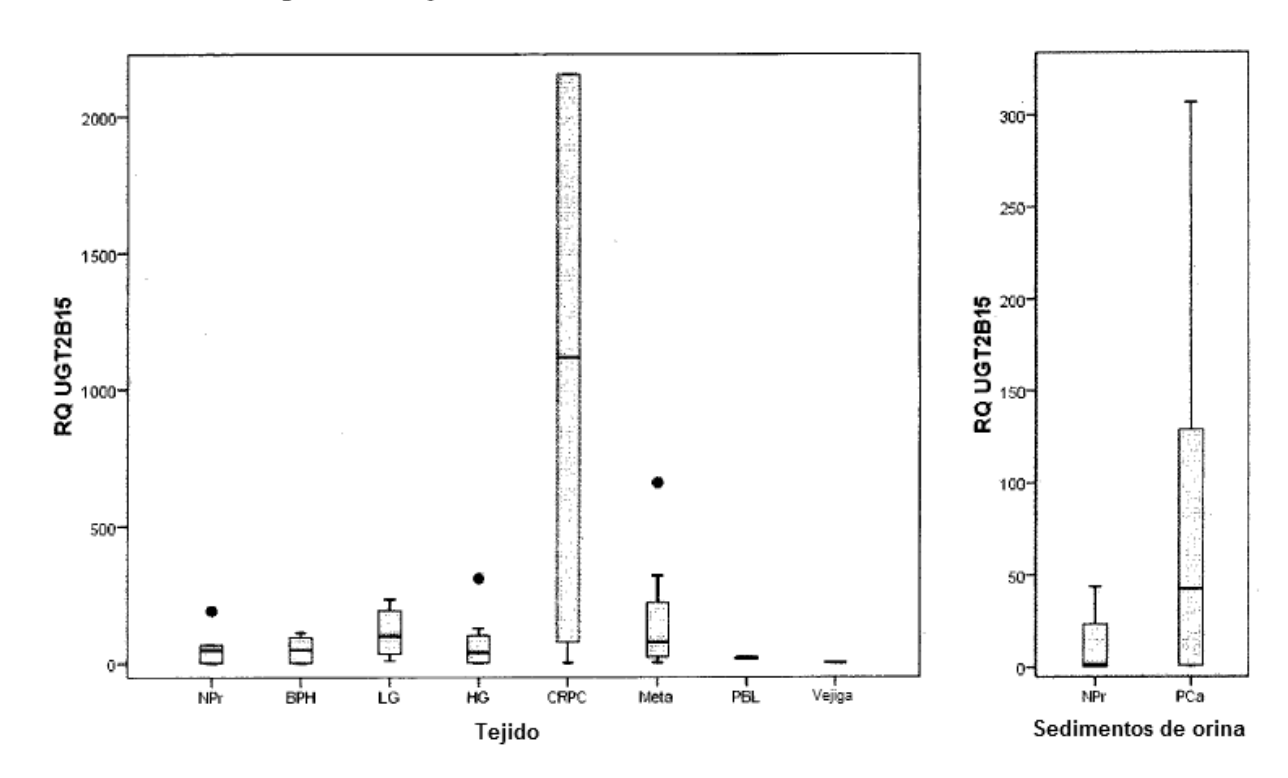


FIGURA 26

UGT2B15	Media ²log	Mediana (RQ)	Media (RQ)	
	Genechip®	TLDA	TLDA	
NPr	3,51	49,36	59,65	
ВРН	3,63	49,18	51,20	
LG	3,90	98,95	259,68	
HG	3,77	39,29	1466,99	
CRPC	5,90	1117,45	11490,74	
Meta	4,06	76,94	162,62	
Vejiga normal	-	1,00	1,00	
PBL	-	18,34	18,34	
Sedimento urinario sin PrCa	-	1,00	13,52	
Sedimento urinario PrCa	-	42,52	84,53	



Homeosecuencia C6 (HOXC6) de Homo sapiens, variante 1 de transcrito

```
ttttgtctgt cctggattgg agccgtccct ataaccatct agttccgagt acaaactgga
qacaqaaata aatattaaag aaatcataga ccgaccaggt aaaggcaaag ggatgaattc
ctacttcact aaccettect tateetgeea cetegeeggg ggeeaggaeg teeteeceaa
cgtcgccctc aattccaccg cctatgatcc agtgaggcat ttctcgacct atggagcggc
cgttgcccag aaccggatct actcgactcc cttttattcg ccacaggaga atgtcgtgtt
caqttccaqc cqqqqccqt atqactatqq atctaattcc ttttaccagg agaaagacat
gctctcaaac tgcaqacaaa acaccttagg acataacaca cagacctcaa tcgctcagga
ttttagttct gagcagggca ggactgcgcc ccaggaccag aaagccagta tccagattta
cccctqqatq caqcqaatqa attcqcacaq tqqqqtcqqc tacqqaqcqq accqqaqqcq
cggccgccag atctactcgc ggtaccagac cctggaactg gagaaggaat ttcacttcaa
togotaccta acgoggogo ggogoatega gategocaac gegetttgec tgacegageg
acagatcaaa atctggttcc agaaccgccg gatgaagtgg aaaaaagaat ctaatctcac
atecaetete teggggggeg geggagggge caeegeegae ageetgggeg gaaaagagga
aaagcqqqaa qaqacaqaaq aqqaqaaqca qaaaqagtga ccaggactgt ccctgccacc
cetetetece tttetecete getececace aactetecee taateacaca etetgtattt
atcactggca caattgatgt gttttgattc cctaaaacaa aattagggag tcaaacgtgg
acctgaaagt cagetetgga ecceetecet caeegeacaa etetettea ecaegegeet
cotcotcotc getcocttgc tagetegtte teggettgte taeaggecet ttteccegte
caggeettgg gggeteggae cetgaactea gaetetacag attgeeetce aagtgaggae
ttggctcccc cactecttcg acgeccccac eccegccccc egtgcagaga gccggctcct
qqqcctqctq qqqcctctqc tccaqqqcct cagggcccgg cctggcagcc ggggagggcc
ggaggcccaa ggagggcgcg ccttggcccc acaccaaccc ccagggcctc cccgcagtcc
ctgcctagcc cctctgcccc agcaaatgcc cagcccaggc aaattgtatt taaagaatcc
tgggggtcat tatggcattt tacaaactgt gaccgtttct gtgtgaagat ttttagctgt
atttqtqqtc tctqtattta tatttatqtt taqcaccqtc agtqttccta tccaatttca
aaaaaggaaa aaaaagaggg aaaattacaa aaagagagaa aaaaagtgaa tgacgtttgt
ttagccagta ggagaaaata aataaataaa taaatccctt cgtgttaccc tcctgtataa
atccaacctc tgggtccgtt ctcgaatatt taataaaact gatattattt ttaaaacttt
```

MNSYFTNPSLSCHLAGGQDVLPNVALNSTAYDPVRHFSTYGAAVAQNRIYSTPFYSPQENVVFSSSRGPYDY GSNSFYQEKDMLSNCRQNTLGHNTQTSIAQDFSSEQGRTAPQDQKASIQIYPWMQRMNSHSGVGYGADRRRG RQIYSRYQTLELEKEFHFNRYLTRRRRIEIANALCLTERQIKIWFQNRRMKWKKESNLTSTLSGGGGGATAD SLGGKEEKREETEEEKQKE

Proteína 2 relacionada con la rizada segregada (SFRP2) de Homo sapiens

```
caacqqctca ttctqctccc ccqqqtcqqa qcccccqqqa qctqcqcqcg ggcttgcagc
geetegeeeg egetgteete eeggtgteee getteteege geeceageeg eeggetgeea
getttteggg geeeggate geaeceageg aagagagegg geeegggaca agetegaact
coggoogeet egecetteec eggeteeget ecetetgeec ecteggggte gegegeeeae
gatgctgcag ggccctggct cgctgctgct gctcttcctc gcctcgcact gctgcctggg
ctcqqcqcqc qqqctcttcc tctttqqcca qcccqactlc tcctacaagc gcagcaattg
caaqcccatc cctqccaacc tqcaqctqtq ccacqqcatc qaataccaga acatgcqqct
geccaacetg etgggecacg agaceatgaa ggaggtgetg gageaggeeg gegettggat
cccgctggtc atgaagcagt gccacccgga caccaagaag ttcctgtgct cqctcttcgc
ccccgtctgc ctcgatgacc tagacgagac catccagcca tgccactcgc tctgcgtgca
ggtgaaggac cgctgcgccc cggtcatgtc cgccttcggc ttcccctggc ccgacatgct
tgagtgcgac cgtttccccc aggacaacga cctttgcatc cccctcgcta gcagcgacca
cctcctgcca gccaccgagg aagctccaaa ggtatgtgaa gcctgcaaaa ataaaaatga
tgatgacaac gacataatgg aaacgctttg taaaaatgat tttgcactga aaataaaagt
gaaggagata acctacatca accgagatac caaaatcatc ctggagacca agagcaagac
catttacaag ctgaacggtg tgtccgaaag ggacctgaag aaatcggtgc tgtggctcaa
agacagettg cagtgcacct gtgaggagat gaacgacatc aacgcgccct atctggtcat
gggacagaaa cagggtgggg agctggtgat cacctcggtg aagcggtggc agaaggggca
gagagagtte aagegeatet eeegeageat eegeaagetg eagtgetagt eeeggeatee
tgatggctcc gacaggcctg ctccagagca cggctgacca tttctgctcc gggatctcag
ctcccqttcc ccaaqcacac tcctaqctgc tccagtctca gcctgggcag cttccccctg
cettttqcae qtttqcatce ccagcattte ctqaqttata aggccacagg agtggatage
tgttttcacc taaaggaaaa gcccacccga atcttgtaga aatattcaaa ctaataaaat
catgaatatt tttatgaagt ttaaaaatag ctcactttaa agctagtttt gaataggtgc
aactqtqact tqqqtctqqt tqqttqttqt ttqttqtttt qaqtcaqctq attttcactt
cccactgagg ttgtcataac atgcaaattg cttcaatttt ctctgtggcc caaacttgtg
qqtcacaaac cctqttqaqa taaaqctqqc tqttatctca acatcttcat cagctccaga
ctgagactca gtgtctaagt cttacaacaa ttcatcattt tataccttca atgggaactt
aaactgttac atgtatcaca ttccagctac aatacttcca tttattagaa gcacattaac
catttctata qcatqatttc ttcaaqtaaa aqqcaaaaqa tataaatttt ataattgact
tgagtacttt aagcettgtt taaaacattt ettaettaae ttttgeaaat taaaceeatt
gtagettace tgtaatatae atagtagttt acetttaaaa gttgtaaaaa tattgettta
accaacactg taaatatttc agataaacat tatattcttg tatataaact ttacatcctg
ttttacctat aaaaaaaaaa aaaaa
```

MLQGPGSLLLLFLASHCCLGSARGLFLFGQPDFSYKRSNCKPIPANLQLCHGIEYQNMRLPNLLGHETMKE VLEQAGAWIPLVMKQCHPDTKKFLCSLFAPVCLDDLDETIQPCHSLCVQVKDRCAPVMSAFGFPWPDMLEC DRFPQDNDLCIPLASSDHLLPATEEAPKVCEACKNKNDDDNDIMETLCKNDFALKIKVKEITYINRDTKII LETKSKTIYKLNGVSERDLKKSVLWLKDSLQCTCEEMNDINAPYLVMGQKQGGELVITSVKRWQKGQREFK RISRSIRKLQC

Homeosecuencia D10 (HOXD10) de Homo sapiens

```
cggggaatgt tttcctagag atgtcagcct acaaaggaca caatctctct tcttcaaatt
cttccccaaa atgtcctttc ccaacagctc tcctgctgct aatacttttt tagtagattc
cttgatcagt gcctgcagga gtgacagttt ttattccagc agcgccagca tgtacatgcc
accacctage geagacatgg ggacetatgg aatgeaaace tgtggaetge tecegtetet
ggccaaaaga gaagtgaacc accaaaatat gggtatgaat gtgcatcctt atatacctca
agtagacagt tggacagatc cgaacagatc ttgtcgaata gagcaacctg ttacacagca
agtocccact tgotcottca ccaccaacat taaggaagaa tocaattgot gcatgtatto
tgataagcgc aacaaactca tttcggccga ggtcccttcg taccagaggc tggtccctga
qtcttqtccc qttqaqaacc ctqaqqttcc cqtccctqqa tattttagac tgaqtcagac
ctacgccacc gggaaaaccc aagagtacaa taatagcccc gaaggcagct ccactgtcat
getecagete aaccetegtg gegeggeeaa geegeagete teegetgeee agetgeagat
qqaaaaqaaq atqaacqaqc ccqtqaqcqq ccaqqaqccc accaaagtct cccaqgtgga
gagccccgag gccaaaggcg gccttcccga agagaggagc tgcctggctg aggtctccgt
gtccagtccc gaagtgcagg agaaggaaag caaagaggaa atcaagtctg atacaccaac
cagcaattgg ctcactgcaa agagtggcag aaagaagagg tgcccttaca ctaagcacca
aacqctqqaa ttaqaaaaaq aqttcttqtt caatatqtac ctcacccqcq agcqccqcct
agaqatcagt aagagcgtta acctcaccga caggcaggtc aagatttggt ttcaaaaccg
ccgaatqaaa ctcaaqaaqa tqaqccqaqa qaaccggatc cgagaactga ccgccaacct
cacqttttct taggtctgag gccggtctga ggccggtcag aggccaggat tggagagggg
gcaccgcgtt ccagggccca gtgctggagg actgggaaag cggaaacaaa accttcaccg
ctctttgttt gttgttttgt tgtattttgt tttcctgcta gaatgtgact ttggggtcat
tatgttcgtg ctgcaagtga tctgtaatcc ctatgagtat atatatata atatatatat
atatataaaa acttagcacg tgtaatttat tattttttca tcgtaatgca gggtaactat
tattgcgcat tttcatttgg gtcttaactt attggaactg tagagcatcc atccatccat
ccatccagca atgtgacttt ttcatgtctt tcctaacaca aaaggtctat gtgtgtggtt
agtocatgaa ctcatggcat tttgaataca tccagtactt taaaaatgac atatatattt
aaaaaaaaaa gattaagaaa acccacaagt tggagggagg gggacttaaa aagcacatta
caatgtatet ttteacaaat gaatttagea gttgteettg gtgagatggg atattggega
tttatgcctt gtagcctttc ccttgtggtg catctgtggt ttggtagaag tacaacagca
acctgtcctt tctgtgcatg ttctggtcgc atgtataatg caataaactc tggaaatgag
ttcaaaaaaa aaaa
```

MSFPNSSPAANTFLVDSLISACRSDSFYSSSASMYMPPPSADMGTYGMQTCGLLPSLAKREVNHQNMG MNVHPYIPQVDSWTDPNRSCRIEQPVTQQVPTCSFTTNIKEESNCCMYSDKRNKLISAEVPSYQRLVP ESCPVENPEVPVPGYFRLSQTYATGKTQEYNNSPEGSSTVMLQLNPRGAAKPQLSAAQLQMEKKMNEP VSGQEPTKVSQVESPEAKGGLPEERSCLAEVSVSSPEVQEKESKEEIKSDTPTSNWLTAKSGRKKRCP YTKHQTLELEKEFLFNMYLTRERRLEISKSVNLTDRQVKIWFQNRRMKLKKMSRENRIRELTANLTFS

Receptor B sin interés comercial relacionado con RAR (RORB) de Homo sapiens

```
teteteceet etettetet etegetgete eetteeteee tgtaactgaa eagtgaaaat
tcacattgtg gatccgctaa caggcacaga tgtcatgtga aaacgcacat gctctgccat
ccacaccgcc tttctttctt ttctttctgt ttcctttttt cccccttgtt ccttctccct
cttctttgta actaacaaaa ccaccaccaa ctcctcctcc tgctgctgcc cttcctcctc
ctcctcagtc caagtgatca caaaagaaat cttctgagcc ggaggcggtg gcatttttta
aaaaqcaaqc acattggaqa qaaaqaaaaa qaaaaacaaa accaaaacaa aacccaggca
ccagacagcc agaacatttt tttttcaccc ttcctgaaaa caaacaaaca aacaaacaat
catcaaaaca qtcaccacca acatcaaaac tqttaacata gcggcggcgg cggcaaacgt
caccetgeag ceaeggegte egectaaagg gatggtttte teggeagage agetettege
cgaccacctt cttcactcqt qctqaqcqqq atttttqgqc tctccggggt tcgggctggg
agcagettea tgactaegeg gagegggaga geggeeacae catgegagea caaattgaag
tgataccatg caaaatttgt ggcgataagt cctctgggat ccactacgga gtcatcacat
gtgaaggctg caagggattc tttaggagga gccagcagaa caatgcttct tattcctgcc
caaggcagag aaactgttta attgacagaa cgaacagaaa ccgttgccaa cactgccgac
tgcagaagtg tcttgcccta ggaatgtcaa gagatgctgt gaagtttggg aggatgtcca
agaaqcaaaq qqacaqcctq tatqctqaqq tqcaqaaqca ccaqcaqcqq ctqcaqqaac
agcggcagca gcagagtggg gaggcagaag cccttgccag ggtgtacagc agcagcatta
gcaacggcct gagcaacctg aacaacgaga ccagcggcac ttatgccaac gggcacgtca
ttgacctgcc caagtctgag ggttattaca acgtcgattc cggtcagccg tcccctgatc
agtcaggact tgacatgact ggaatcaaac agataaagca agaacctatc tatgacctca
catccgtacc caacttgttt acctatagct ctttcaacaa tgggcagtta gcaccaggga
taaccatgac tgaaatcgac cgaattgcac agaacatcat taagtcccat ttggagacat
gtcaatacac catggaagag etgcaccage tggegtggca gacccacace tatgaagaaa
ttaaaqcata tcaaaqcaaq tccaqqqaaq cactqtqqca acaatqtqcc atccaqatca
ctcacqccat ccaatacqtq qtqqaqtttq caaaqcqqat aacaggcttc atggagctct
gtcaaaatga tcaaattcta cttctgaagt caggttgctt ggaagtggtt ttagtgagaa
tqcaaatqtt caaaqcctta qqttctgatq acctagtgaa tgaagcattt gactttgcaa
agaatttgtg ttccttgcag ctgaccgagg aggagatcgc tttgttctca tctgctgttc
tgatatetee agacegagee tggettatag aaceaaggaa agteeagaag etteaggaaa
aaatttattt tgcacttcaa catgtgattc agaagaatca cctggatgat gagaccttgg
caaagttaat agccaagata ccaaccatca cggcagtttg caacttgcac ggggagaagc
tgcaggtatt taagcaatct catccagaga tagtgaatac actgtttcct ccgttataca
aggagetett taateetgae tgtgeeaceg getgeaaatg aaggggaeaa gagaaetgte
tcatagtcat ggaatgcatc accattaaga caaaagcaat gtgttcatga agacttaaga
aaaatgtcac tactgcaaca ttaggaatgt cctgcactta atagaattat ttttcaccgc
tacagtttga agaatgtaaa tatgcacctg agtggggctc ttttatttgt ttgtttgttt
ttgaaatgac cataaatata caaatatagg acactgggtg ttatcctttt tttaatttta
ttcgggtatg ttttgggaga caactgttta tagaatttta ttgtagatat atacaagaaa
agagcggtac tttacatgat tacttttcct gttgattgtt caaatataat ttaagaaaat
tocacttaat aggettacct attictatgt tittaggtag tigatgcatg tgtaaattig
```

ES 2 663 069 T3

```
tagctgtctt ggaaagtact gtgcatgtat gtaataagta tataatatgt gagaatatta
tatatgacta ttacttatac atgcacatgc actgtggctt aaataccata cctactagca
atggaggttc agtcaggctc tcttctatga tttaccttct gtgttatatg ttacctttat
gttagacaat caggattttg ttttcccagc cagagttttc atctatagtc aatggcagga
cogtaccaac tcagagttaa gtctacaaag gaataaacat aatgtgtggc ctctatatac
aaactctatt tctqtcaatg acatcaaagc cttqtcaaga tggttcatat tgggaaggag
acagtatttt aagccatttt cctgtttcaa gaattaggcc acagataaca ttgcaaggtc
caaqactttt ttgaccaaac agtagatatt ttctattttt caccagaaca cataaaaaca
ctttttttct tttggatttc tggttgtgaa acaagcttga tttcagtgct tattgtgtct
tcaactgaaa aatacaatct gtggattatg actaccagca atttttttct aggaaagtta
aaagaataaa tcagaaccca gggcaacaat gccatttcat gtaaacattt tctctctcac
catgttttgg caagaaaagg tagaaagaga agacccagag tgaagaagta attctttata
ttcctttctt taatgtattt gttaggaaaa gtggcaataa agggggaggc atattataaa
atgctataat ataaaaatgt agcaaaaact tgacagacta gaaaaaaaaa gatctgtgtt
attctaggga actaatgtac cccaaagcca aaactaattc ctgtgaagtt tacagttaca
tcatccattt accctagaat tattttttta gcaactttta gaaataaaga atacaactgt
qacattaqqa tcaqaqattt taqacttcct tgtacaaatt ctcacttctc cacctgctca
ccaatgaaat taatcataag aaaagcatat attccaagaa atttgttctg cctgtgtcct
ggaggcctat acctctgtta ttttctgata caaaataaaa cttaaaaaaa agaaaacaag
ctaa
```

MRAQIEVIPCKICGDKSSGIHYGVITCEGCKGFFRRSQQNNASYSCPRQRNCLIDRTNRNRCQHCRLQ KCLALGMSRDAVKFGRMSKKQRDSLYAEVQKHQQRLQEQRQQQSGEAEALARVYSSSISNGLSNLNNE TSGTYANGHVIDLPKSEGYYNVDSGQPSPDQSGLDMTGIKQIKQEPIYDLTSVPNLFTYSSFNNGQLA PGITMTEIDRIAQNIIKSHLETCQYTMEELHQLAWQTHTYEEIKAYQSKSREALWQQCAIQITHAIQY VVEFAKRITGFMELCQNDQILLLKSGCLEVVLVRMCRAFNPLNNTVLFEGKYGGMQMFKALGSDDLVN EAFDFAKNLCSLQLTEEEIALFSSAVLISPDRAWLIEPRKVQKLQEKIYFALQHVIQKNHLDDETLAK LIAKIPTITAVCNLHGEKLOVFKOSHPEIVNTLFPPLYKELFNPDCATGCK

Ribonucleótido reductasa M2 (RRM2) de Homo sapiens

```
aggcgcagcc aatgggaagg gtcggaggca tggcacagcc aatgggaagg gccggggcac
caaagccaat gggaagggcc gggagcgcgc ggcgcgggag atttaaaggc tgctggagtg
gegeeteeae tatgetetee eteegtgtee egetegegee cateaeggae eegeageage
tgcagctctc gccgctgaag gggctcagct tggtcgacaa ggagaacacg ccgccggccc
tgagcgggac ccgcgtcctg gccagcaaga ccgcgaggag gatcttccag gagcccacgg
agccgaaaac taaagcagct gcccccggcg tggaggatga gccgctgctg agagaaaacc
eccgccgctt tgtcatcttc cccatcgagt accatgatat ctggcagatg tataagaagg
cagaggette ettttggace geegaggagg tggacetete caaggacatt cageactggg
aatccctgaa acccgaggag agatatttta tatcccatgt tctggctttc tttgcagcaa
gcgatggcat agtaaatgaa aacttggtgg agcgatttag ccaagaagtt cagattacag
aagecegetg tttctatgge ttccaaattg ccatggaaaa catacattct gaaatgtata
gtcttcttat tgacacttac ataaaagatc ccaaagaaag ggaatttctc ttcaatgcca
ttgaaacgat gccttgtgtc aagaagaagg cagactgggc cttgcgctgg attggggaca
aagaggctac ctatggtgaa cgtgttgtag cctttgctgc agtggaaggc attttctttt
coggttettt tgcgtcgata ttctggetca agaaacgagg actgatgeet ggeetcacat
tttctaatga acttattagc agagatgagg gtttacactg tgattttgct tgcctgatgt
tcaaacacct ggtacacaaa ccatcggagg agagagtaag agaaataatt atcaatgctg
ttcqqataqa acaqqaqttc ctcactgaqq ccttqcctgt gaagctcatt gggatgaatt
gcactctaat gaagcaatac attgagtttg tggcagacag acttatgctg gaactgggtt
ttagcaaggt tttcagagta gagaacccat ttgactttat ggagaatatt tcactggaag
gaaagactaa cttctttgag aagagagtag gcgagtatca gaggatggga gtgatgtcaa
gtccaacaga gaattetttt accttggatg ctgacttcta aatgaactga agatgtgccc
ttacttggct gattttttt ttccatctca taagaaaaat cagctgaagt gttaccaact
agccacacca tgaattgtcc gtaatgttca ttaacagcat ctttaaaact gtgtagctac
ctcacaacca gtcctgtctg tttatagtgc tggtagtatc accttttgcc agaaggcctg
gctggctgtg acttaccata gcagtgacaa tggcagtctt ggctttaaag tgaggggtga
ccctttagtg agcttagcac agcgggatta aacagtcctt taaccagcac agccagttaa
aagatgcagc ctcactgctt caacgcagat tttaatgttt acttaaatat aaacctggca
ctttacaaac aaataaacat tgtttgtact cacaaggcga taatagcttg atttatttgg
tttctacacc aaatacattc tcctgaccac taatgggagc caattcacaa ttcactaagt
gactaaagta agttaaactt gtgtagacta agcatgtaat ttttaagttt tattttaatg
aattaaaata tttgttaacc aactttaaag tcagtcctgt gtatacctag atattagtca
gttggtgcca gatagaagac aggttgtgtt tttatcctgt ggcttgtgta gtgtcctggg
attetetgee ecctetgagt agagtgttgt gggataaagg aateteteag ggcaaggage
ttcttaagtt aaatcactag aaatttaggg gtgatctggg ccttcatatg tgtgagaagc
cgtttcattt tatttctcac tgtattttcc tcaacgtctg gttgatgaga aaaaattctt
gaagagtttt catatgtggg agctaaggta gtattgtaaa atttcaagtc atccttaaac
aaaatgatcc acctaagatc ttgcccctgt taagtggtga aatcaactag aggtggttcc
tacaagttgt tcattctagt tttgtttggt gtaagtaggt tgtgtgagtt aattcattta
tatttactat gtctgttaaa tcagaaattt tttattatct atgttcttct agattttacc
tgtagttcat acttcagtca cccagtgtct tattctggca ttgtctaaat ctgagcattg
```

ES 2 663 069 T3

```
tetagggga tettaaactt tagtaggaaa ceatgagetg ttaatacagt ttecatteaa atattaattt cagaatgaaa cataatttt ttttttttt ttgagatgga gtetegetet gttgeecagg etggagtgea gtggegegat tttggeteae tgtaacetee ateteetggg teaagetageta tetteetget cageeteeet agtagetggg actgeaggta tgtgetaeea cacetggeta atttttgtat ttttagtaga gatggagttt caceatattg gteaggetgg tettgaacte etgaceteag gtgateeaee caceteggee teecaaagtg etgggattge aggegtgata aacaaatatt ettaataggg etaetttgaa ttaatetgee tttatgttg ggagaagaaa getgagacat tgeatgaaag atgatgagag ataaatgttg atettttgge eeeatttgtt aattgtate agtattgaa egtegteetg tttattgtta gttteetea teatttattg tatagacaat ttttaaatet etgaatatg ataeattte etaetttta agtattgtt acetaaagtt aateeagatt atatggeete tatatgtga eaacattaaa atgaaagget ttgtettgea ttgtgaggta eaggeggaag ttggaateag gttttaggat tetgteete attagetgaa taatgtgag attaaettet geeageteag aceatteet aateagttga aagggaaaca agtatteag teteaaaat gaataatgaa caagtettaa gtgattaaaa taaaactgtt ettatgteag ttteaaaaaa aaaaaaaaa aa
```

MLSLRVPLAPITDPQQLQLSPLKGLSLVDKENTPPALSGTRVLASKTARRIFQEPTEPKTKAAAPGVED EPLLRENPRRFVIFPIEYHDIWQMYKKAEASFWTAEEVDLSKDIQHWESLKPEERYFISHVLAFFAASD GIVNENLVERFSQEVQITEARCFYGFQIAMENIHSEMYSLLIDTYIKDPKEREFLFNAIETMPCVKKKA DWALRWIGDKEATYGERVVAFAAVEGIFFSGSFASIFWLKKRGLMPGLTFSNELISRDEGLHCDFACLM FKHLVHKPSEERVREIIINAVRIEQEFLTEALPVKLIGMNCTLMKQYIEFVADRLMLELGFSKVFRVEN PFDFMENISLEGKTNFFEKRVGEYQRMGVMSSPTENSFTLDADF

Transglutaminasa 4 (TGM4) (próstata) de Homo sapiens

```
ggaccgactg tgtggaagca ccaggcatca gagatagagt cttccctggc attgcaggag
agaatctgaa gggatgatgg atgcatcaaa agagctgcaa gttctccaca ttgacttctt
gaatcaggac aacgccgttt ctcaccacac atgggagttc caaacgagca gtcctgtgtt
ccggcgagga caggtgtttc acctgcggct ggtgctgaac cagcccctac aatcctacca
ccaactgaaa ctggaattca gcacagggcc gaatcctagc atcgccaaac acaccctggt
ggtgctcgac ccgaggacgc cctcagacca ctacaactgg caggcaaccc ttcaaaatga
qtctqqcaaa qaqqtcacaq tqqctqtcac caqttccccc aatgccatcc tgggcaagta
ccaactaaac gtgaaaactg gaaaccacat ccttaagtct gaagaaaaca tcctatacct
tctcttcaac ccatggtgta aagaggacat ggttttcatg cctgatgagg acgagcgcaa
agaqtacatc ctcaatqaca cqqqctqcca ttacqtqqqq gctqccagaa gtatcaaatq
caaaccctgg aactttggtc agtttgagaa aaatgtcctg gactgctgca tttccctgct
gactgagage teceteaage ceacagatag gagggaeeee gtgetggtgt geagggeeat
gtgtgctatg atgagctttg agaaaggcca gggcgtgctc attgggaatt ggactgggga
ctacgaaggt ggcacagccc catacaagtg gacaggcagt gccccgatcc tgcagcagta
ctacaacacg aagcaggctg tgtgctttgg ccagtgctgg gtgtttgctg ggatcctgac
tacagtgctg agagcgttgg gcatcccagc acgcagtgtg acaggcttcg attcagctca
cgacacagaa aggaacctca cggtggacac ctatgtgaat gagaatggcg agaaaatcac
cagtatgacc cacgactctg tctggaattt ccatgtgtgg acggatgcct ggatgaagcg
accggatctg cccaagggct acgacggctg gcaggctgtg gacgcaacgc cgcaggagcg
aagccagggt gtcttctgct gtgggccatc accactgacc gccatccgca aaggtgacat
ctttattgtc tatgacacca gattcgtctt ctcagaagtg aatggtgaca ggctcatctg
gttggtgaag atggtgaatg ggcaggagga gttacacgta atttcaatgg agaccacaag
categggaaa aacateagea eeaaggeagt gggeeaagae aggeggagag atateaceta
tgagtacaag tatccagaag gctcctctga ggagaggcag gtcatggatc atgccttcct
ccttctcaqt tctqaqaqqq agcacagacq acctgtaaaa gagaactttc ttcacatgtc
ggtacaatca gatgatgtgc tgctgggaaa ctctgttaat ttcaccgtga ttcttaaaag
gaagaccgct gccctacaga atgtcaacat cttgggctcc tttgaactac agttgtacac
tggcaagaag atggcaaaac tgtgtgacct caataagacc tcgcagatcc aaggtcaagt
atcagaagtg actctgacct tggactccaa gacctacatc aacagcctgg ctatattaga
tgatgageca gttateagag gttteateat tgeggaaatt gtggagteta aggaaateat
qqcctctgaa gtattcacgt ctttccagta ccctgagttc tctatagagt tgcctaacac
aggcagaatt ggccagctac ttgtctgcaa ttgtatcttc aagaataccc tggccatccc
tttgactgac gtcaagttct ctttggaaag cctgggcatc tcctcactac agacctctga
ccatgggacg gtgcagcctg gtgagaccat ccaatcccaa ataaaatgca ccccaataaa
aactggaccc aagaaattta tcgtcaagtt aagttccaaa caagtgaaag agattaatgc
tcagaagatt gttctcatca ccaagtagcc ttgtctgatg ctgtggagcc ttagttgaga
tttcagcatt tcctaccttg tgcttagctt tcagattatg gatgattaaa tttgatgact
tatatgaggg cagattcaag agccagcagg tcaaaaaggc caacacaacc ataagcagcc
agacccacaa ggccaggtcc tgtgctatca cagggtcacc tcttttacag ttagaaacac
cagecgagge cacagaatee catecettte etgagteatg geetcaaaaa teagggeeae
cattgtctca attcaaatcc atagatttcg aagccacaga gtctctccct ggagcagcag
```

ES 2 663 069 T3

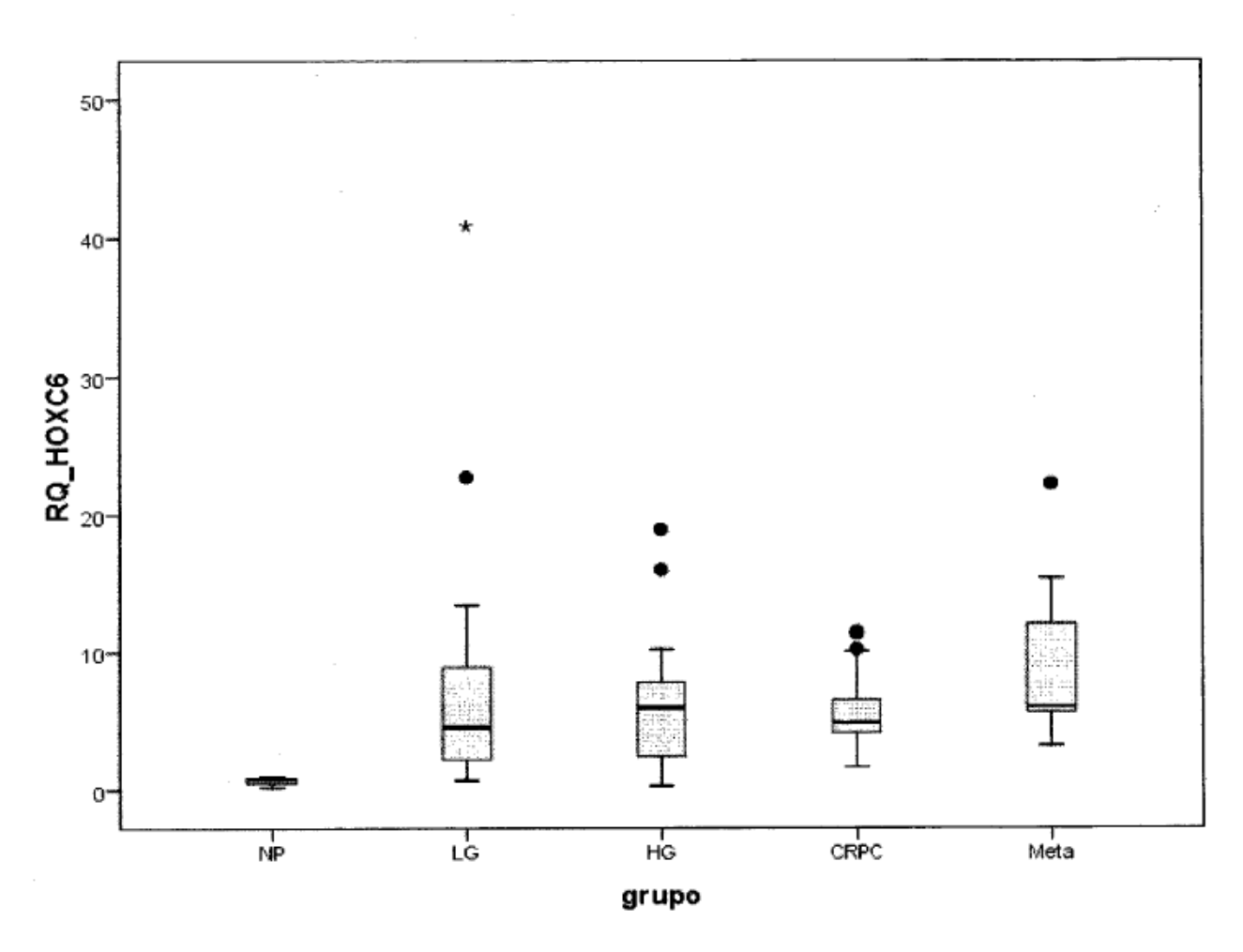
MMDASKELQVLHIDFLNQDNAVSHHTWEFQTSSPVFRRGQVFHLRLVLNQPLQSYHQLKLEFSTGPNP
SIAKHTLVVLDPRTPSDHYNWQATLQNESGKEVTVAVTSSPNAILGKYQLNVKTGNHILKSEENILYL
LFNPWCKEDMVFMPDEDERKEYILNDTGCHYVGAARSIKCKPWNFGQFEKNVLDCCISLLTESSLKPT
DRRDPVLVCRAMCAMMSFEKGQGVLIGNWTGDYEGGTAPYKWTGSAPILQQYYNTKQAVCFGQCWVFA
GILTTVLRALGIPARSVTGFDSAHDTERNLTVDTYVNENGEKITSMTHDSVWNFHVWTDAWMKRPDLP
KGYDGWQAVDATPQERSQGVFCCGPSPLTAIRKGDIFIVYDTRFVFSEVNGDRLIWLVKMVNGQEELH
VISMETTSIGKNISTKAVGQDRRRDITYEYKYPEGSSEERQVMDHAFLLLSSEREHRRPVKENFLHMS
VQSDDVLLGNSVNFTVILKRKTAALQNVNILGSFELQLYTGKKMAKLCDLNKTSQIQGQVSEVTLTLD
SKTYINSLAILDDEPVIRGFIIAEIVESKEIMASEVFTSFQYPEFSIELPNTGRIGQLLVCNCIFKNT
LAIPLTDVKFSLESLGISSLQTSDHGTVQPGETIQSQIKCTPIKTGPKKFIVKLSSKQVKEINAQKIV
LITK

Homólogo 2 de caracol de Homo sapiens (Drosophila) (SNAI2)

```
aqtteqtaaa qqaqeeqqqt qaetteaqaq qeqeeqqeee gteegtetge egeacetgag
cacqqcccct qcccqaqcct qqcccqccqc gatqctgtag ggaccgccgt gtcctcccgc
eggacegtta teegegeegg gegeeegeea gaceegetgg caagatgeeg egeteettee
tggtcaagaa gcatttcaac gcctccaaaa agccaaacta cagcgaactg gacacacata
cagtgattat ttccccgtat ctctatgaga gttactccat gcctgtcata ccacaaccag
agatecteag etcaggagea tacagececa teactgtgtg gactaceget getecattee
acqcccaget acccaatqqc ctctctcctc tttccqgata ctcctcatct ttggggcgag
tqaqtccccc tcctccatct qacacctcct ccaaggacca cagtggctca gaaagcccca
ttagtgatga agaggaaaga ctacagtcca agctttcaga cccccatgcc attgaagctg
aaaaqtttca qtqcaattta tqcaataaqa cctattcaac tttttctggg ctggccaaac
ataaqcaqct qcactqcqat qcccaqtcta gaaaatcttt cagctgtaaa tactgtgaca
aggaatatgt gageetggge geeetgaaga tgeatatteg gacecacaca ttacettgtg
tttgcaagat ctgcggcaag gcgttttcca gaccctggtt gcttcaagga cacattagaa
ctcacacggg ggagaageet ttttettgee etcactgeaa cagageattt geagacaggt
caaatctgag ggctcatctg cagacccatt ctgatgtaaa gaaataccag tgcaaaaact
gctccaaaac cttctccaga atqtctctcc tgcacaaaca tgaggaatct ggctgctgtg
tagcacactg agtgacgcaa tcaatgttta ctcgaacaga atgcatttct tcactccgaa
gccaaatgac aaataaagtc caaaggcatt ttctcctgtg ctgaccaacc aaataatatg
tatagacaca cacacatatg cacacacaca cacacacac cacagagaga gagctgcaag
agcatggaat tcatgtgttt aaagataatc ctttccatgt gaagtttaaa attactatat
atttqctqat qqctaqattq aqaqaataaa aqacaqtaac ctttctcttc aaagataaaa
tgaaaagcac attgcatctt ttcttcctaa aaaaatgcaa agatttacat tgctgccaaa
tcatttcaac tqaaaaqaac aqtattqctt tqtaataqaq tctqtaataq gatttcccat
aggaagagat ctgccagacg cgaactcagg tgccttaaaa agtattccaa gtttactcca
ttacatgtcg gttgtctggt tgccattgtt gaactaaagc ctttttttga ttacctgtag
tgctttaaag tatattttta aaagggagga aaaaaataac aagaacaaaa cacaggagaa
tqtattaaaa qtatttttqt tttqttttqt ttttqccaat taacagtatg tgccttgggg
qaqqaqqqaa aqattaqctt tqaacattcc tqqcqcatqc tccattqtct tactatttta
aaacatttta ataatttttq aaaattaatt aaagatggga ataagtgcaa aagaggattc
ttacaaattc attaatgtac ttaaactatt tcaaatgcat accacaaatg caataataca
ataccccttc caagtgcctt tttaaattgt atagttgatg agtcaatgta aatttgtgtt
tatttttata tgattgaatg agttctgtat gaaactgaga tgttgtctat agctatgtct
ataaacaacc tqaaqacttq tqaaatcaat qtttcttttt taaaaaacaa ttttcaagtt
ttttttacaa taaacagttt tgatttaaaa tctcgtttgt atactatttt cagagacttt
acttgcttca tgattagtac caaaccactg tacaaagaat tgtttgttaa caagaaaaaa
а
```

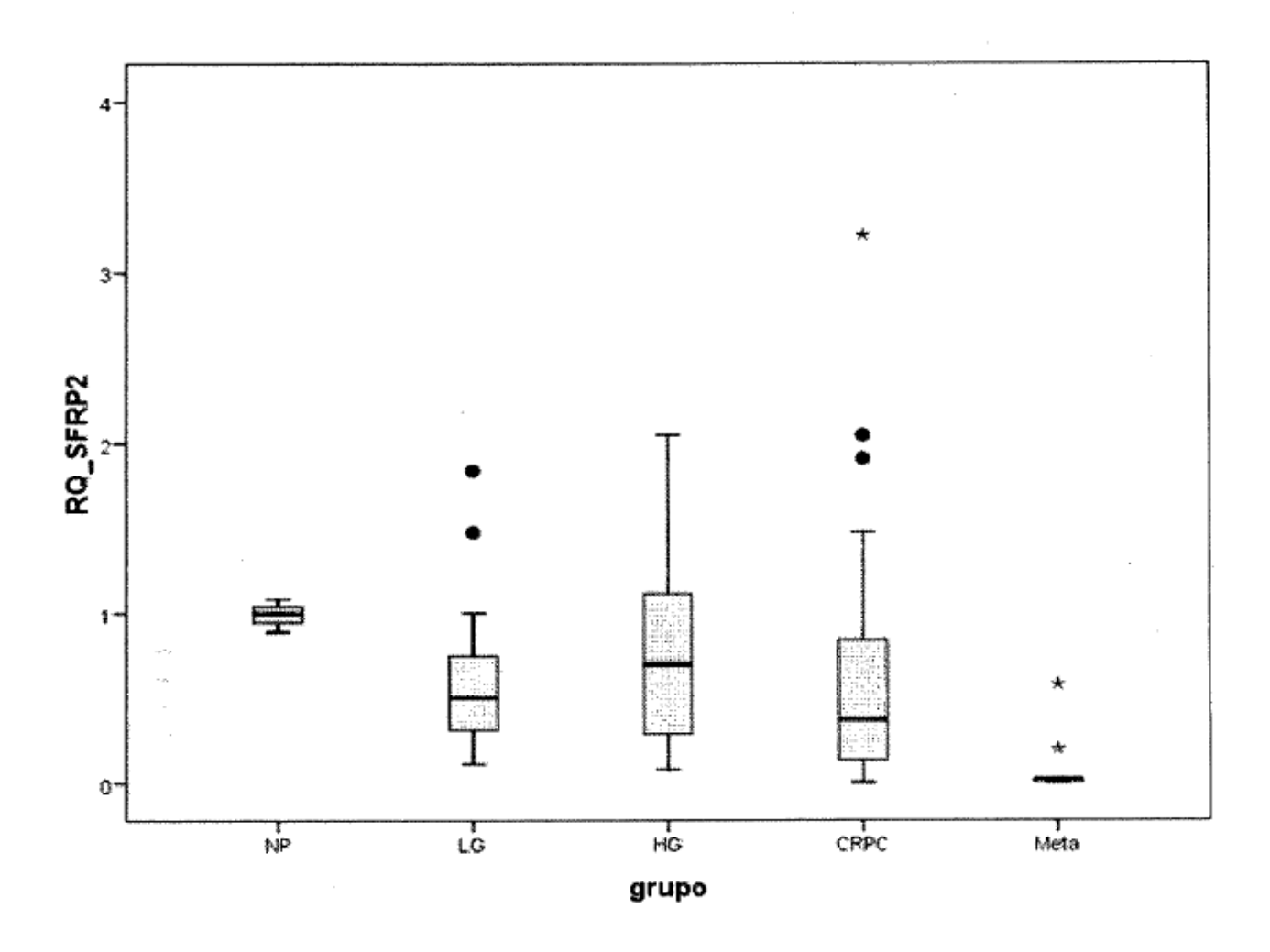
MPRSFLVKKHFNASKKPNYSELDTHTVIISPYLYESYSMPVIPQPEILSSGAYSPITVWTTAAPFHAQLP NGLSPLSGYSSSLGRVSPPPPSDTSSKDHSGSESPISDEEERLQSKLSDPHAIEAEKFQCNLCNKTYSTF SGLAKHKQLHCDAQSRKSFSCKYCDKEYVSLGALKMHIRTHTLPCVCKICGKAFSRPWLLQGHIRTHTGE KPFSCPHCNRAFADRSNLRAHLQTHSDVKKYQCKNCSKTFSRMSLLHKHEESGCCVAH

FIGURA 34



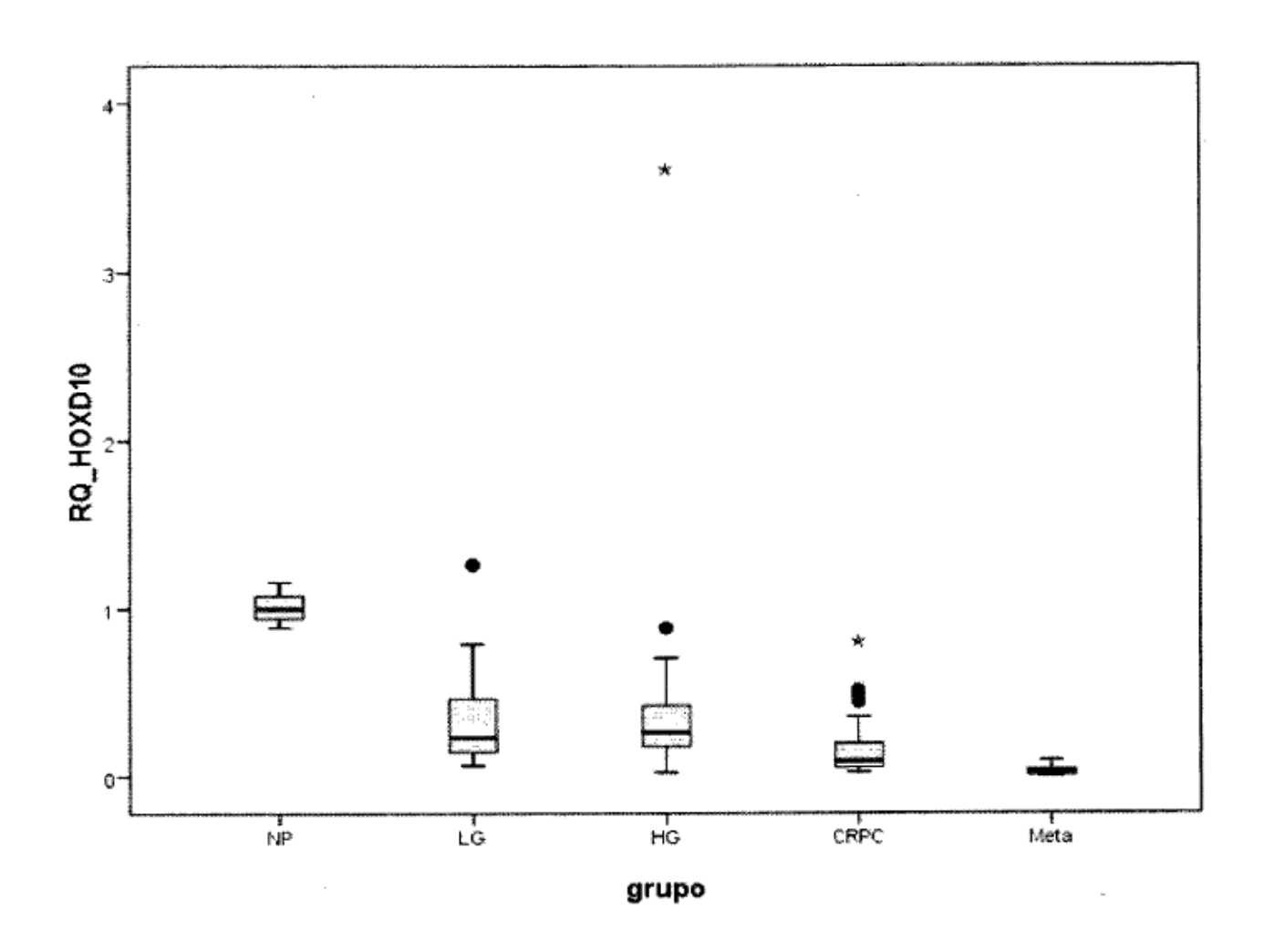
	Mediana (RQ)	Media(RQ)	Media ² log
	TLDA	TLDA	Genechip®
NP	0,79	0,66	
LG	4,56	7,60	5,21
HG	5,98	6,24	5,22
CRPC	4,87	5,71	5,50
Meta	6,05	9,13	6,03

FIGURA 35



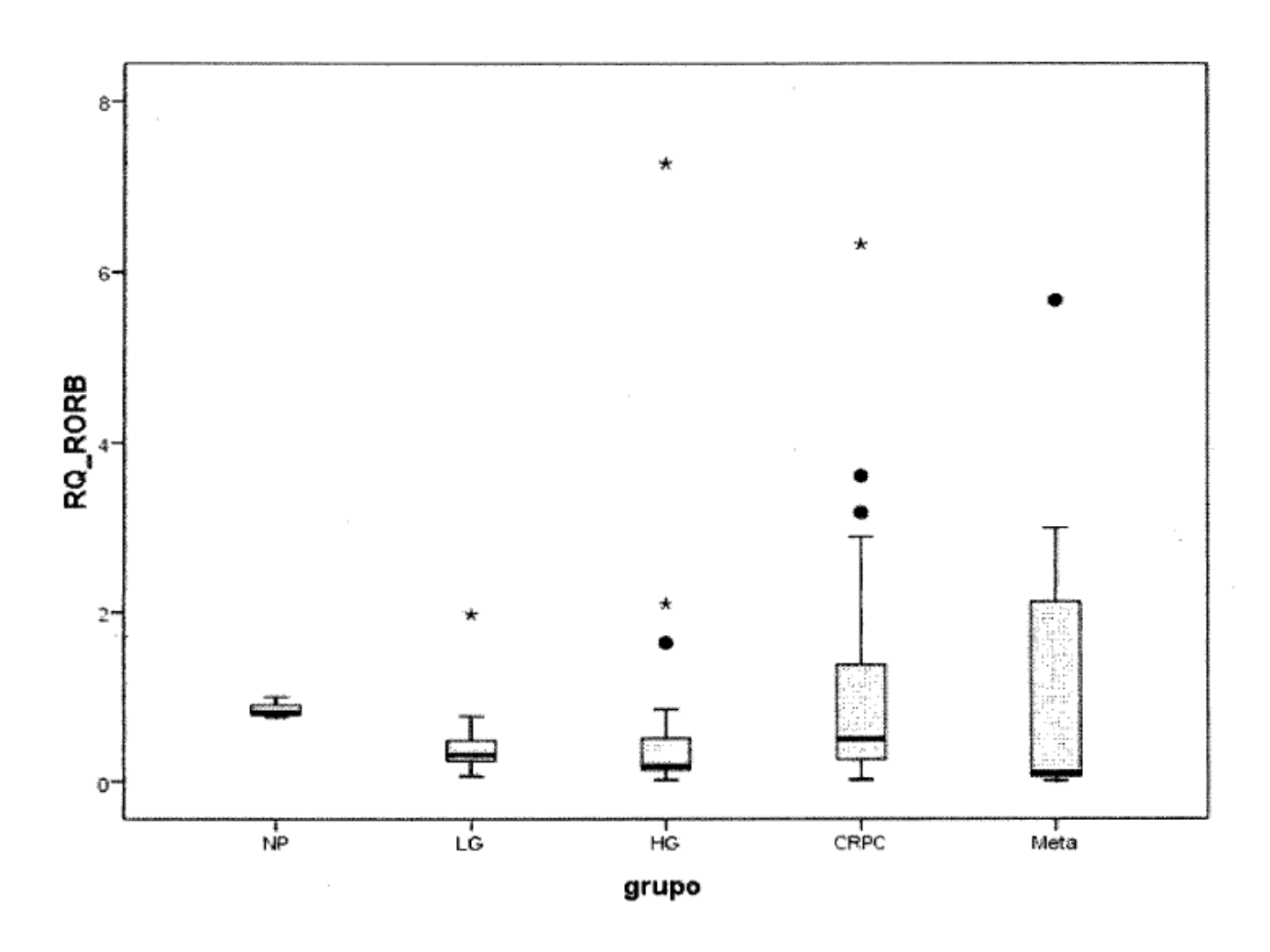
	Mediana (RQ)	Media(RQ)	Media ² log
	TLDA	TLDA	Genechip®
NP	1,00	0,99	
LG	0,50	0,61	7,01
HG	0,70	0,75	7,72
CRPC	0,37	0,68	6,92
Meta	0,02	0,09	4,36

FIGURA 36



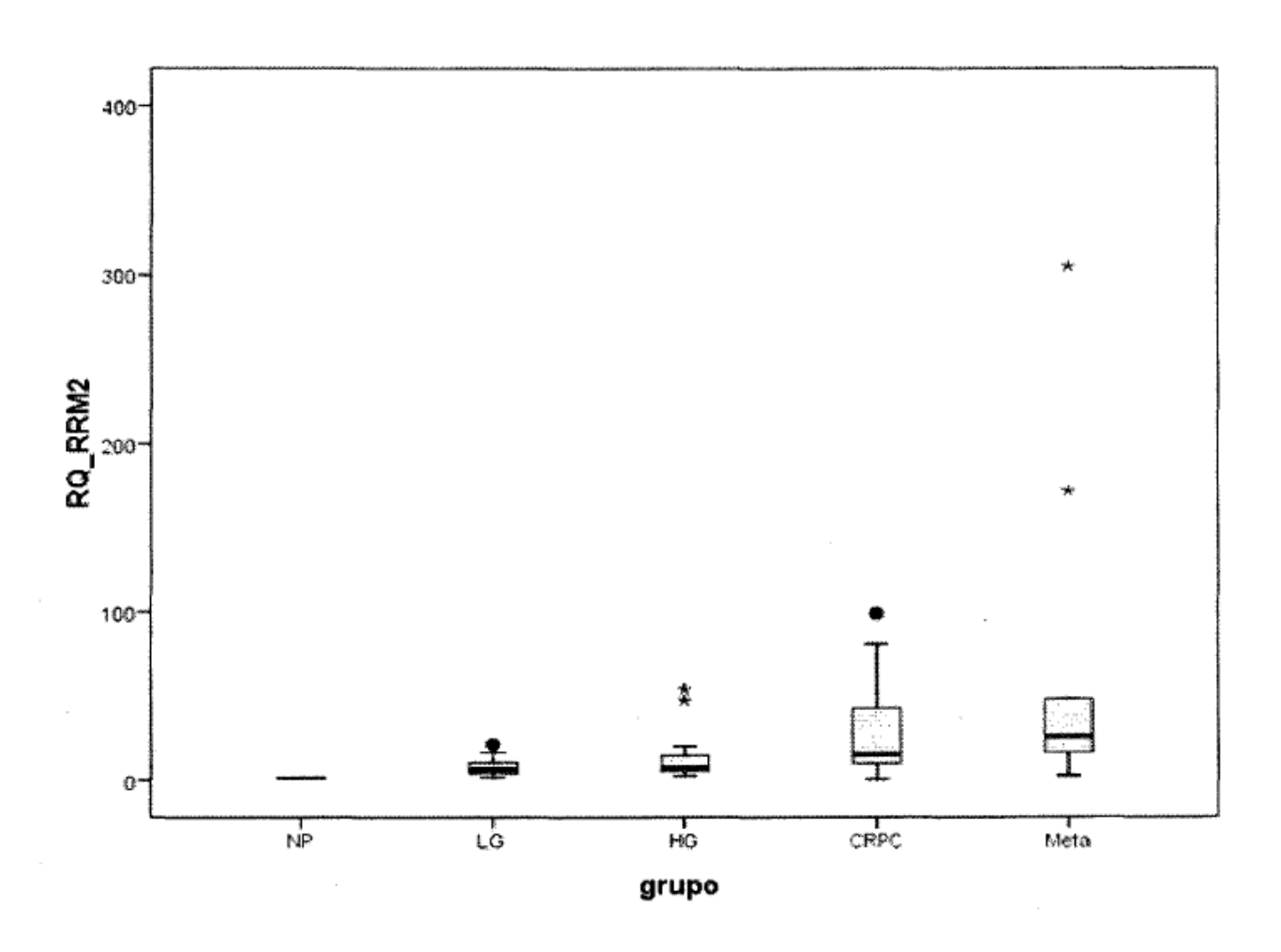
	Mediana (RQ) TLDA	Media (RQ) TLDA	Media ² log Genechip®
NP	1,00	1,02	
LG	0,23	0,35	4,93
HG	0,26	0,47	4,97
CRPC	0,09	0,20	4,92
Meta	0,02	0,03	3,62

FIGURA 37



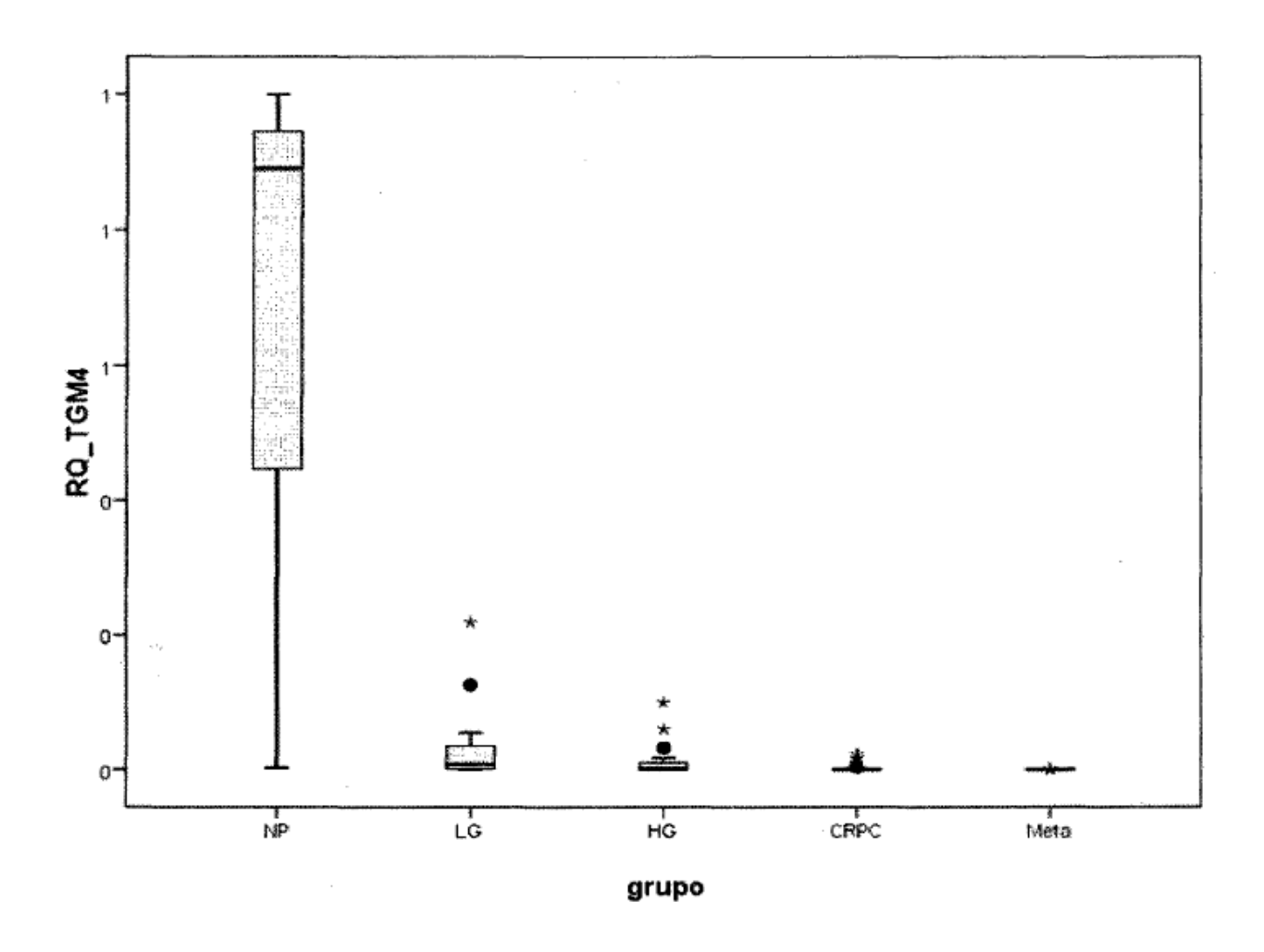
	Mediana (RQ)	Media (RQ)	Media ² log
	TLDA	TLDA	Genechip®
NP	0,81	0,86	
LG	0,31	0,43	5,60
HG	0,18	0,74	5,50
CRPC	0,50	1,24	6,56
Meta	0,10	1,27	6,13

FIGURA 38



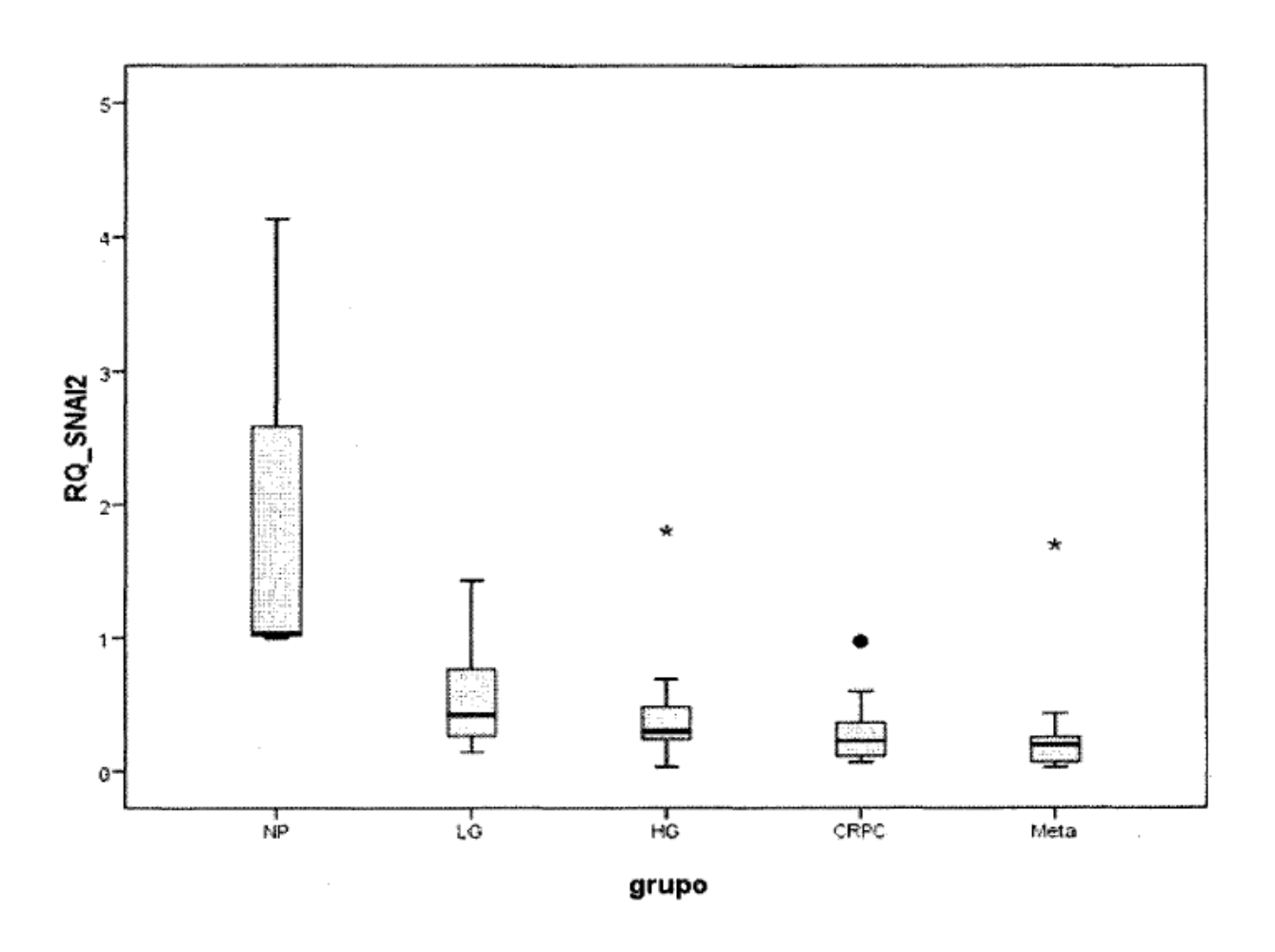
	Mediana (RQ)	Media(RQ)	Media ² log
	TLDA	TLDA	Genechip®
NP .	1,08	1,24	
LG	6,06	7,49	4,83
HG	7,16	12,38	5,23
CRPC	15,10	28,63	5,14
Meta	25,60	68,92	5,70

FIGURA 39



	Mediana (RQ)	Media(RQ)	Media ² log
	TLDA	TLDA	Genechip®
NP	0,89	0,63	
LG	0,01	0,03	7,53
HG	0,001	0,010	5,81
CRPC	0,0001600	0,002700	5,59
Meta	0,0000075	0,0000160	3,40

FIGURA 40



	Mediana (RQ)	Media(RQ)	Media ² log g
	TLDA	TLDA	Genechip®
NP	1,04	2,06	
LG	0,42	0,54	6,95
HG	0,30	0,42	7,33
CRPC	0,22	0,28	6,29
Meta	0,19	0,34	5,57